



MICROFICHE N°

00210

République Tunisienne

MINISTÈRE DE L'AGRICULTURE

CENTRE NATIONAL DE

DOCUMENTATION AGRICOLE

TUNIS

الجمهورية التونسية
وزارة الفلاحة

المركز القومي
للتوصيف الفلاحي
تونس

F

1

DIVISION
DES RESOURCES EN EAU

Hydroélectricité

CHD/003d



étude hydroélectrique
et production électrique
de la région de Thibar

REDACTION PUBLIQUE
MINISTERE DE L'AGRICULTURE
Direction des Ressources
AGRICULTURE
Direction des Ressources en Eau



TYPE /- YONDEALOGIQUE

ET

TRANSMISSION ELECTRIQUE DE LA REGION DE THIBAR

---1501---

M. ANIRARD
Géophysicien

A. TALBOT
Hydrogéologue

SOMMAIRE

AVANT-PROPOS

A - SITUATION GÉOGRAPHIQUE

A1 - Pluviométrie

A2 - Hydrographie

B - SITUATION GÉOLOGIQUE

B1 - Géologie

B2 - Tectonique

C - SITUATION HYDRAULIQUE

C1 - Historique des travaux entrepris

C2 - Inventaire des points d'eau

C2.1 - Cours d'eau

C2.2 - Sources

C2.2.1 - Sources des calcaires du GORAA et des éboulis

C2.2.2 - Sources du trias

C2.2.3 - Sources du néogène

C2.3 - Puits et forage

C3 - Les unités aquifères

C3.1 - Apports du trias

C3.2 - Aquifères karstiques

C3.2.1 - Gypso-marnien

C3.2.2 - Aturien

C3.2.3 - Eocene

C3.3 - Aquifère plio-quaternaire

C3.3.1 - Morphologie de la surface piézométrique

C3.3.2 - Salinité

C3.3.3 - Essais de débits

D - TRAVAUX GÉOPHYSIQUES

D1 - Résultats obtenus

D1.1 - Sondeage électrique étalon sur le forage 6090/1

D1.2 - Les sondages électriques en général

D1.3 - Carte de résistivité apparente

D1.4 - Coupes électriques

D1.5 - Crité des résultats

E - ÉLÉMENTS DE BILAN

E1 - Ressources dynamiques

E2 - Alimentation

E2.1 - Alimentation des calcaires

E2.2 - Alimentation de l'ensemble de la zone étudiée jusqu'à l'isopente de

E2.3 - Alimentation de la cuvette de THIBAR

F - EXPLOITATION

G - PROGRAMME COMPLÉMENTAIRE D'ETUDE

FIGURES

- 1 - Carte de situation
- 2 - Série stratigraphique
- 3 à 12 - Analyses chimiques
- 13 - Essai de réception du puits 1910/3
- 14 - Relation transmissivité - débit spécifique
- 15 - Essai sur le forage 6690/1 - Abaissement
- 16 - Observation de la remontée du forage 6690/1
- 17 - SE étalon sur le forage 6690/1
- 18 - SE 4
- 19 - SE 3, 7, 11, 19
- 20 - SE 12 et 13
- 21 - SE 20 à 25
- 22 - Pluviométrie

PIANCHES

- I - Carte géologique - Plan de situation
- II - Carte des profondeurs du plan d'eau
- III - Carte piézométrique
- IV - Carte des salinités
- V - Carte des iaschlores
- VI - Carte des isosulfates
- VII - Carte des résistivités apparentes (AB = 500 m)
- VIII - Coupes électriques
- IX - Carte des résultats

Les ressources aquifères de la haute vallée de la Medjerda, en aval de Jendouba sont fort limitées quantitativement et surtout qualitativement.

Aussi la Division des Assurances en Eau a-t-elle été amenée à l'introduire aux ressources du Djebel JORAI, symbolisé par ce dessin sur l'horizon à 900 m d'altitude en moyenne, soit à 600 m au dessus de la plaine de THIRAR qui elle est directement alimentée par les nombreuses sources du piémont de ce Djebel.

Le potentiel aquifère de la région étudiée couvre, d'une part, servir à l'alimentation en eau potable de THIRAR, d'autre part à contribuer au développement des périodes irriguées assistées (Déserte de THIRAR, Agro-écomant du KOURIAT).

Cette étude rassemble les données géologiques, hydrogéologiques et géophysiques de la zone étudiée.

A - SITUATION GÉOGRAPHIQUE -

Les routes n° 63 (TETOUROUH-HIMA) et 72 (NAXXAL-DOU SALIN) limitent la zone étudiée respectivement à l'Est et à l'Ouest. Les limites Nord et Sud sont constituées par la MEDJERDA et par la ligne de crête séparant les bassins versants des rivières TESSA et KHALED du bassin versant de l'Oued THIRAR (fig. 1).

La prospection géophysique se limitera à la plaine proprement dite de THIRAR.

Cette zone étudiée sera toutefois replacée dans son contexte géographique et les cartes présentées synthétiseront les travaux effectués entre les méridiens LAMBERT 999-437 et les parallèles LAMBERT 350-370 (cartes de SOUK EL ARBA, SOUK EL KHENIS, OUED ZARZA et TEBOURZOUN).

A1 - Pluviométrie -

Le pluviomètre de THIRAR avec 61 années d'observation permet le calcul d'une moyenne de 516 mm. La valeur minimum observée ne dépasse pas 305 mm alors que la valeur maximum atteint 916 mm.

Cette pluviométrie a été analysée par le Service Hydrologique et a permis l'ajustement d'une loi statistique (loi appliquée : GODRICH)

| | ANNÉES PLUVIEUSES | | | | | | ANNÉES SÈCHES | | | | | |
|-----------|-------------------|------|------|------|-----|-----|---------------|-----|-----|------|------|------|
| FREQUENCE | 0,001 | 0,01 | 0,02 | 0,05 | 0,1 | 0,2 | 0,5 | 0,6 | 0,9 | 0,95 | 0,98 | 0,99 |
| Méteur | 1125 | 910 | 870 | 809 | 775 | 690 | 572 | 467 | 421 | 368 | 358 | 342 |
| en mm | 1125 | 910 | 870 | 809 | 775 | 690 | 572 | 467 | 421 | 368 | 358 | 342 |

avec pour coefficient de variation 1,79.

Le nombre de jours de pluie est en moyenne de 94 par an se répartissant comme suit :

| Mois | J | O | N | D | J | F | M | A | H | J | J | A |
|-----------------|---|---|----|----|----|----|----|---|---|---|---|---|
| Nombre de jours | 6 | 8 | 10 | 13 | 14 | 11 | 11 | 9 | 6 | 4 | 1 | 2 |
| de pluie | 3 | 3 | 3 | 3 | 3 | 3 | 3 | 3 | 3 | 3 | 3 | 3 |

Les ressources aquifères de la haute vallée de la Medjerda, en aval de Jendouba sont fort limitées quantitativement et surtout qualitativement.

Aussi la Division des Assurances en Eau a-t-elle été amenée à l'introduire aux ressources du Djebel JORAI, symbolisé par ce dessin sur l'horizon à 900 m d'altitude en moyenne, soit à 600 m au dessus de la plaine de THIRAR qui elle est directement alimentée par les nombreuses sources du piémont de ce Djebel.

Le potentiel aquifère de la région étudiée couvre, d'une part, servir à l'alimentation en eau potable de THIRAR, d'autre part à contribuer au développement des périodes irriguées assistées (Déserte de THIRAR, Agro-écomât du KOURIAT).

Cette étude rassemble les données géologiques, hydrogéologiques et géophysiques de la zone étudiée.

A - SITUATION GÉOGRAPHIQUE -

Les routes n° 63 (TETOUROUH-HIMA) et 72 (NAXXAL-DOU SALIN) limitent la zone étudiée respectivement à l'Est et à l'Ouest. Les limites Nord et Sud sont constituées par la MEDJERDA et par la ligne de crête séparant les bassins versants des rivières TESSA et KHALED du bassin versant de l'Oued THIRAR (fig. 1).

La prospection géophysique se limitera à la plaine proprement dite de THIRAR.

Cette zone étudiée sera toutefois replacée dans son contexte géographique et les cartes présentées synthétiseront les travaux effectués entre les méridiens LAMBERT 999-437 et les parallèles LAMBERT 350-370 (cartes de SOUK EL ARBA, SOUK EL KHENIS, OUED ZARZA et TEBOURZOUN).

A1 - Pluviométrie -

Le pluviomètre de THIRAR avec 61 années d'observation permet le calcul d'une moyenne de 516 mm. La valeur minimum observée ne dépasse pas 305 mm alors que la valeur maximum atteint 916 mm.

Cette pluviométrie a été analysée par le Service Hydrologique et a permis l'ajustement d'une loi statistique (loi appliquée : GODRICH)

| | ANNÉES PLUVIEUSES | | | | | | ANNÉES SÈCHES | | | | | |
|-----------|-------------------|------|------|------|-----|-----|---------------|-----|-----|------|------|------|
| FREQUENCE | 0,001 | 0,01 | 0,02 | 0,05 | 0,1 | 0,2 | 0,5 | 0,6 | 0,9 | 0,95 | 0,98 | 0,99 |
| Méteur | 1125 | 910 | 870 | 809 | 775 | 690 | 572 | 467 | 421 | 368 | 358 | 342 |
| en mm | 393 | 391 | 387 | 380 | 375 | 360 | 347 | 341 | 338 | 328 | 320 | 313 |

avec pour coefficient de variation 1,79.

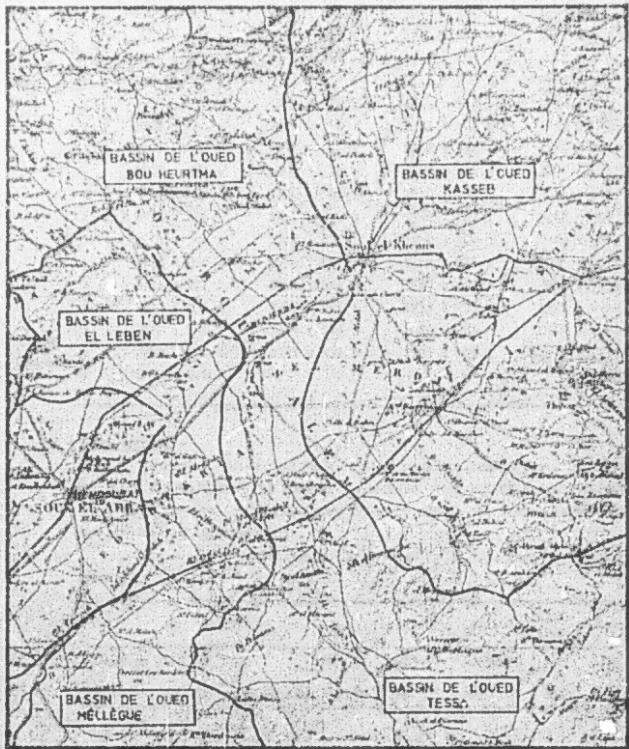
Le nombre de jours de pluie est en moyenne de 94 par an se répartissant comme suit :

| Mois | J | O | N | D | J | F | M | A | M | J | J | A |
|-----------------|---|---|----|----|----|----|----|---|---|---|---|---|
| Nombre de jours | 6 | 8 | 10 | 13 | 14 | 11 | 11 | 9 | 6 | 4 | 1 | 2 |
| de pluie | 3 | 3 | 3 | 3 | 3 | 3 | 3 | 3 | 3 | 3 | 3 | 3 |



CARTE DE SITUATION

EXTRAIT DE LA CARTE DE SOUK EL ARBA N°4 (JENNOUBA) AU 1/200 000



La station de THIBAR est située à une altitude de 360 m environ, et la Djebel GORAA a une altitude moyenne de 800 m. Or on estime que pour 100 m de dénivellé, la pluviométrie peut varier de 20 mm par an. Il pourrait donc tomber sur le Djebel GORAA une pluviométrie moyenne de 700 mm.

Pluviométrie annuelle : THIBAR

| ANNEE | P | ANNEE | P | ANNEE | P | ANNEE | P |
|-------------|-------|-------------|-------|-------------|-------|-------------|---------|
| 1900-1901 : | 438 : | 1919-1920 : | 707 : | 1927-1928 : | 395 : | 1955-1956 : | 670 : |
| 1902 : | 412 : | 1921 : | 905 : | 1937 : | 913 : | 1957 : | 542 : |
| 1903 : | 458 : | 1922 : | 678 : | 1940 : | 503 : | 1958 : | 506 : |
| 1904 : | 619 : | 1923 : | 822 : | 1941 : | 551 : | 1959 : | 442 : |
| 1905 : | 376 : | 1924 : | 649 : | 1942 : | 564 : | 1960 : | 463 : |
| 1906 : | 656 : | 1925 : | 582 : | 1943 : | 360 : | 1961 : | 390 : |
| 1907 : | 713 : | 1926 : | 510 : | 1944 : | 515 : | 1962 : | 536 : |
| 1908 : | 666 : | 1927 : | 304 : | 1945 : | 402 : | 1963 : | 627 : |
| 1909 : | 762 : | 1928 : | 638 : | 1946 : | 514 : | 1964 : | 846 : |
| 1910 : | 579 : | 1929 : | 772 : | 1947 : | 512 : | 1965 : | 561 : |
| 1911 : | 654 : | 1930 : | 505 : | 1948 : | 402 : | 1966 : | 515 : |
| 1912 : | 464 : | 1931 : | 544 : | 1949 : | 727 : | 1967 : | 340 : |
| 1913 : | 364 : | 1932 : | 557 : | 1950 : | 608 : | 1968 : | 396,0 : |
| 1914 : | 798 : | 1933 : | 485 : | 1951 : | 554 : | 1969 : | 423,1 : |
| 1915 : | 977 : | 1934 : | 582 : | 1952 : | 641 : | 1970 : | 775,9 : |
| 1916 : | 635 : | 1935 : | 696 : | 1953 : | 731 : | 1971 : | 606,4 : |
| 1917 : | 700 : | 1936 : | 529 : | 1954 : | 625 : | 1972 : | 542,2 : |
| 1918 : | 677 : | 1937 : | 539 : | 1955 : | 535 : | 1973 : | 715,5 : |
| 1919 : | 698 : | : | : | : | : | : | : |
| : | : | : | : | : | : | : | : |

A2. - Hydrographie -

Le réseau hydrographique constitué essentiellement par l'Oued DJERBA devenant l'Oued THIBAR est fortement encaissé. Ceci est dû au relèvement récent de la cuvette de THIBAR. De ce fait, le réseau est devenu destructif attaquant les reliefs existants.

Cet oued est surveillé par le Service Hydrologie par les stations suivantes :

| STATIONS | Longitude | Latitude | Altitude en m: |
|-------------------------------|-----------|----------|----------------|
| Barrage (Ste. Marie) | 5277/1 | 7-43-50 | 40-50-70 |
| Thibar (Pont route Ben Salem) | 4244/1 | 7-40-25 | 40-60-30 |

5 - SITUATION GÉOLOGIQUE -

5.1 - Géologie :

Nous avons rapporté sur la planche 1 les levés au 1/50.000 de J. BULLE (Cf. Recueil de l'IGE - Recherches géologiques) traduisant essentiellement le Djebel GORAA et la plaine de TIRGA. Les cartes hydrogéologiques provisoires au 1/200.000 de l'IGE et D.G.E.R. tracées par M. KELLOMACK ont permis de compléter la planche présentée.

En partant de la base, la série stratigraphique connaît la suivante (fig. 2) :

1^{er} Tréc : Celui-ci peut être observé sur la route SIDI BRAH - TIRGAOUEN.

Les différences géologiques qui ont étudié le tréc (ROLES, CHAMONIX) admettent la série suivante :

- couche argile-gypseuse inférieure, argile boracolée et argile grise à gypse.
- ensemble dolomitique médian.
- argiles boracolées avec cargocelles.
- série griseuse.

Bien que la datation de cette série soit contestée, elle constitue malgré tout le soutien constant du crétacé et fréquemment celui du tertiaire. Son épaisseur pour atteindre 500 à 800 m.

Du Crétacé au Nummulitique, la région est caractérisée par une sédimentation de mer profonde. L'accumulation de dépôts sur de grandes épaisseurs implique un phénomène très net de subsidence.

C-I-II Aptien :

Constitué de marnes schisteuses et de quartzites. A la fin de cet étage, il y a passage progressif à des marnes noduleuses alternant avec des marno-calcaires bleu noir disparaissant sous les éboulis du Djebel GORAA.

Viennent ensuite l'Albien formé par des marnes avec quelques intercalations marno-calcaires.

C³-4 Campano-Turonien :

Le vraccaïen affleure au sud de l'étude sous forme de marnes et de calcaires fossilières en plaquettes.

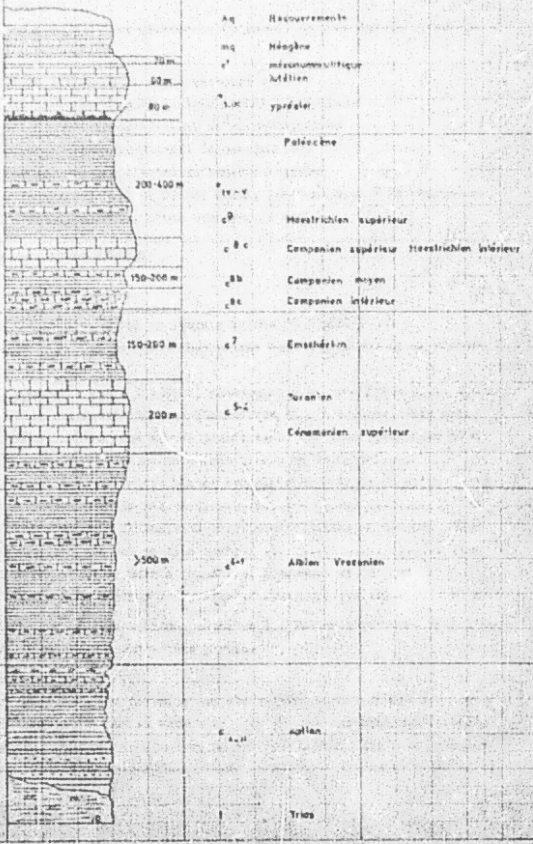
La continuité de sédimentation et le passage continu du faciès aux séries sur et sous-faciès est la preuve de l'existence de sédiments turbinieux.

La coupe présentée dans le numéro 5 des Monographies régionales s'établit comme suit :

De la base au sommet :

- plaquettes devenant plus marquées et passant finalement à des marnes schisteuses.
- marnes noduleuses bleu cenré, à la base desquelles s'intercalent deux à quatre bancs de calcaires gris.

SÉRIE STRATIGRAPHIQUE



- au sommet des marnes précédentes, les intercalations marno-calcaires se font de plus en plus denses.
- ensemble de calcaires blanchâtres, un peu gréseux avec intercalations marnouses très peu épaisses.

Aux environs de DJERBA, dans le SOU-TOUIL, l'épaisseur augmente (200 m) et la faciès devient franchement calcaire.

Géronien

⁰⁷ Emschérien :

Constitué de marnes gris-bleu, épaisses, coupées par une barre de marnes calcaires.

⁰⁷⁻⁰⁸ Aturien : formant la série suivante :

- calcaires et marno-calcaires blancs (campanien)
- marnes avec intercalations de marno-calcaires
- calcaires crayeux ~~et~~ saufs (Mastrichtien)
- marnes avec une dizaine de bancs calcaires

Sur le versant Nord du Djebel GORHA, les deux barres se confondent en un seul ensemble calcaire d'une centaine de mètres.

^{08-IV-V} Marnes successionnelles

^{01-III} Epresien-lutétien

M. SOLIGNAC a décrit la coupe suivante du Djebel GORHA :

Viennent au dessus des marnes noires dano-montiennes et en concordance :

- 1) Couche marnouse, jaunâtre, glanconieuse et phosphatée 1,4 m
- 2) Calcaires subcristallins blanchâtres et glanconieux, puis gris, alternant avec des marnes jaunâtres et des lits rognonnet 50 m
- 3) Alternances de marno-calcaires blancs et de calcaires.

Ensemble de calcaires blancs avec lits de nodules de silice et alternances de marnes 22 m

- 4) Calcaires gris cristallins avec intercalations marnouses.. 30 m
- 5) Calcaires gréseux et lits marnoux 15 m
- 6) Alternances de marnes jaunâtres, gypseuses et de grès glanconieux à dents de requins 20 m

Cette dernière formation appartient à l'Éocène supérieur, mais l'érosion anté-miocène en a enlevé une partie.

³ p néogène

L'ensemble de ces terrains ont été regroupés, rassemblant les terrains vivirobeniens (ARGOUR et MAMCOUCH), les argiles lutétiques et sables ruhigineux d'origine plurio-lacustre du pontien et enfin les grès, conglomérats et sables du plioċène provenant de la dégradation des grès éocène et pontien.

- au sommet des marnes précédentes, les intercalations marno-calcaires se font de plus en plus denses.
- ensemble de calcaires blanchâtres, un peu gréseux avec intercalations marnouses très peu épaisses.

Aux environs de DJERBA, dans le SOU-TOUIL, l'épaisseur augmente (200 m) et la faciès devient franchement calcaire.

Géronien

⁰⁷ Emschérien :

Constitué de marnes gris-bleu, épaisses, coupées par une barre de marnes calcaires.

⁰⁷⁻⁰⁸ Aturien : formant la série suivante :

- calcaires et marno-calcaires blancs (campanien)
- marnes avec intercalations de marno-calcaires
- calcaires crayeux ~~et~~ saufs (Mastrichtien)
- marnes avec une dizaine de bancs calcaires

Sur le versant Nord du Djebel GORHA, les deux barres se confondent en un seul ensemble calcaire d'une centaine de mètres.

^{08-IV-V} Marnes successionnelles

^{01-III} Epresien-lutétien

M. SOLIGNAC a décrit la coupe suivante du Djebel GORHA :

Viennent au dessus des marnes noires dano-montiennes et en concordance :

- 1) Couche marnouse, jaunâtre, glanconieuse et phosphatée 1,4 m
- 2) Calcaires subcristallins blanchâtres et glanconieux, puis gris, alternant avec des marnes jaunâtres et des lits rognonnet 50 m
- 3) Alternances de marno-calcaires blancs et de calcaires.

Ensemble de calcaires blancs avec lits de nodules de silice et alternances de marnes 22 m

- 4) Calcaires gris cristallins avec intercalations marnouses.. 30 m
- 5) Calcaires gréseux et lits marnoux 15 m
- 6) Alternances de marnes jaunâtres, gypseuses et de grès glanconieux à dents de requins 20 m

Cette dernière formation appartient à l'Éocène supérieur, mais l'érosion anté-miocène en a enlevé une partie.

³ p néogène

L'ensemble de ces terrains ont été regroupés, rassemblant les terrains vivirobeniens (ARGOUR et MAMCOUCH), les argiles lutétiques et sables ruhigineux d'origine plurio-lacustre du pontien et enfin les grès, conglomérats et sables du plioċène provenant de la dégradation des grès éocène et pontien.

C'est cette série qu'à recoupié le forage 609C/1. Lorsqu'on en prend appercerçoir des horizons de calcaire lacustre (sur la rive droite de l'Oued THIBAA) probablement d'âge piémont voire quaternaire ancien.

A) Les éboulis n'ont été pris principalement sur le versant Nord-Ouest du Djebel GORAA. Ce sont d'ailleurs les calcaires détritiques de ce Djebel emballés dans des normes associées qui constituent l'essentiel de ces éboulis.

On peut considérer à l'actif que ce matériel rocheux est un perpétuel renouvellement, chaque saison pluvieuse entraînant d'importants glissements de terrain.

Dans la région de la mine de Sebaa Aouinet, cette nappe de glissement est limitée par un tourbillon frontal très net, littéralement modelé sur la morphologie quaternaire.

q Alluvions du quaternaire constitué essentiellement d'argile de couleur brune.

B2 - Facteurs -

La structure du synclinal du GORAA est assez régulière dans sa partie septentrionale, mais elle est tronquée obliquement par un important accident, de direction générale NE-SO, marqué par une lame tranchante avec failles parallèles et décrochements E-O et N-NE - S-SO.

On remarquera en outre que le flanc NO du Djebel GORAA est fortement redressé. Ceci apparaît nettement aux sources Ain KORABAA et NESSA.

BOLZÉ a pu mettre en évidence la succession de quatre phases de glissement au cours de l'ère tertiaire dont la principale est post-mésoène entraînant le redressement des grès néogènes observables à DINKA et à l'ascension du Djebel GORAA.

Ce n'est que vers la fin des dépôts dans la cuvette de THIBAA qu'il serait produit le glissement de la nappe d'éboulis messinienne - intitulée. Il est intéressant de souligner que ces dépôts sont des argiles rouges dénotant ainsi un climat tropical et des îlocalisations embryonnaires.

C - SITUATION HYDROGEOLOGIQUE -

C1 - Histoire des travaux enterrain -

Cette région a été étudiée dans un premier temps pour la reconnaissance des gîtes de plomb et de zinc explicités depuis les Romains (gîte de galère du Djebel BOU-TOUIL).

L'exploitation de cette mine jusqu'à la cote 452 nécessitait en 1906 l'exhaure de 10 l/s. Ces travaux sont aujourd'hui ralentis vu les importantes venues d'eau.

Il en est de même de la petite exploitation de SEMA AOUINET qui a dû cesser en 1913, les venues d'eau étant toujours trop fortes relativement aux moyens d'exhaure.

En 1934, STEINFINSKY effectuait un levé géologique complémentaire de la région soulignant les indices de pétrole existant au contact cénozoïen-trias (5.033.034).

Enfin, en 1966, SOLZE proposait un programme de recherche hydrogéologique pour la mise en valeur du Domaine de THIBAR. Ainsi, douze sondages à main d'une profondeur de 3 à 26 m furent réalisés par le Service R.E.M. début 1968 et fin 1968 un forage profond (n° 4070/1).

Les levés géologiques ont été précisés ces dernières années par le SERVICE GÉOLOGIQUE (feuille de TIBOURSCOUK).

C2 - Inventaire des points d'eau -

Dès le début de cette étude, il s'est avéré nécessaire de réaliser un inventaire détaillé de tous les points d'eau de la région afin d'obtenir une idée des qualités aquifères des différents terrains et de la nature des différentes eaux rencontrées.

Il a ainsi été relevé 159 puits et 40 sources. La mesure de la conductivité a permis de déduire une valeur du résidu sec de chaque point d'eau. Le Laboratoire Central a par ailleurs effectué 36 analyses complètes d'eau de puits et 35 analyses complètes de sources en Juin 1969 auxquelles il faut ajouter 57 analyses complètes effectuées par le Laboratoire d'Analyse des Eaux de la D.R.E.N.

C2.1 - Cours d'eau -

Le seul cours d'eau important est l'Oued THIBAR directement alimenté par la nappe alluviale. Il joue donc, au point de vue hydraulique, un rôle de drainage. L'examen de la carte piézométrique confirmera d'ailleurs cette hypothèse.

| OUED THIBAR | MILLIGRAMMES PAR LITRE | | | | | | DH | R.S. |
|--|------------------------|----|-----|-----------------|-----|-----------------|----|------|
| | Ca | Mg | Na | SO ₄ | Cl | CO ₃ | | |
| S ₁ (Amont Domaine) | 120 | 6 | 32 | 130 | 53 | 114 | 31 | 459 |
| S ₂ (Aval Domaine) | 160 | 6 | 64 | 202 | 107 | 126 | 41 | 669 |
| S ₃ (2500 m après le Domaine) | 220 | 6 | 136 | 307 | 249 | 120 | 55 | 1038 |

Ces analyses datent du 9.12.1972. Ce jour l'Oued s'écoulait à 7 l/s en amont du Domaine (Oued DJERBA), à 48,6 l/s en aval du domaine et à 103 l/s 2500 mètres plus en aval montrant ainsi un apport important. Si en amont, l'eau de l'Oued THIBAR présente des points communs avec l'eau de la nappe alluviale (fig. 5), cette eau devient après Ste MARIE chlorurée calcaire (fig. 11).

C.2.2 - Sources

On peut les regrouper en plusieurs familles distinctes :

- Sources des calcaires du GORAA et des éboulis.
- Sources du Trias.
- Sources du nègma.

C.2.2.1 - Sources des calcaires du GORAA et des éboulis -

De nombreuses sources émergent des calcaires lutétiens (2309/3, 2310/3, 5215/3, 5216/3, 5219/3), sénoniens (5204/3, 5218/3) et peut être cretaciens. Les plus importantes proviennent des calcaires lutétiens.

C'est dans le cas des calcaires lutétiens du synclinial perché à sur imperméable comme celui du Djebel GORAA que la karstification sera la plus développée. On peut en effet observer sur le plateau presque 100% de ce Djebel des estavallels la plupart du temps absorbantes mais fonctionnant parfois comme exutoires en hiver en particulier dans la zone déprimée du Kalant el HOCHASSIA. Les galeries souvent étroites peuvent difficilement être reconnues.

Ce synclininal présentant un abaissement axial au niveau de DJEBBA, la majorité des eaux météoriques se retrouve à Ain ZE SDEHA et Ain NEHAB/2309/3 et 2310/3). Un premier captage de ces sources a été réalisé durant la dernière guerre. C'est d'ailleurs grâce à l'abaissement de l'émergence de la nappe karstique qu'en peut aujourd'hui observer l'arrivée de nombreux chemins 1 à 2 m au dessus du captage actuel. La SONDEK envisage d'abaisser de nouveau la plaine d'eau, ce qui est souhaitable car dans la région où apparaissent ces sources, on peut remarquer dans les normes successives des pentages de 70° indiquant une réserve possible (zone moyenne) du moins dans la zone déprimée de DJEBBA.

Les eaux de ces sources présentent un pH d'équilibre de 7,6 (valeur obtenue en joignant Ca^{++} à CO_3^-) (fig. 3). Le pH de l'eau étant inférieur au pH d'équilibre, l'eau est agressive. Dans tous les cas pour les sources du GORAA et des éboulis (excepté n° 4219/3 et 5209/3 - voir sources du Trias), le rapport $\frac{\text{Mg}^{++}}{\text{Ca}^{++}}$ est inférieur à 0,7 indiquant que ces eaux proviennent de terrains calcaires.

Les sources 5209/3 et 5218/3 sont à rapprocher d'Ain MILLITI (aujourd'hui captée et dont l'eau sera mise en bouteille) ou d'Ain el GUERDA (1910/3) captée pour l'alimentation en eau potable de TIBOURSOUK.

Ces eaux sont typiquement carbonatées calcaires, parfois magnésiennes (6934/1, 4219/3, 5209/3, 5210/3), eaux par excellence chimiquement puras. Mais il n'en est pas de même hydrobiologiquement. L'absence de filtration en terrains calcaires rend ces dernières très sensibles aux pollutions de toutes sortes.

Leurs caractéristiques chimiques sont rassemblées ci-dessous

| NOM | N° BIRH | MILLIGRAMMES PAR LITRE | | | | | | | | DH |
|----------------------|---------|------------------------|-----|----|-----------------|-----|-----------------|-----|------|----|
| | | Ca | Mg | Na | SO ₄ | Cl | CO ₃ | H.S | | |
| A. el Kasser | 2252/1 | 60 | 5 | 10 | 19 | 21 | 93 | 240 | 17 | |
| A. Si Hmara | 2253/1 | 92 | 10 | 27 | 58 | 57 | 111 | 400 | 27 | |
| A. Sabab Aouinet | 6933/1 | 138 | 15 | 51 | 53 | 128 | 171 | 600 | 10,5 | |
| A. Sidi Krah | 9234/1 | 32 | 51 | 60 | 36 | 99 | 162 | 440 | 29 | |
| A. Amara | 6236/1 | 124 | 19 | 59 | 42 | 170 | 120 | 550 | 39 | |
| A. Djennine el Galed | 6959/1 | 148 | 22 | 29 | 125 | 64 | 207 | 660 | 46 | |
| A. Hellitti | 403/3 | 94 | 10 | 21 | 19 | 57 | 132 | 333 | 26 | |
| A. El Kerman | 404/4 | 112 | 6 | 9 | 10 | 50 | 153 | 344 | 29 | |
| A. El Ouedra | 1910/3 | 106 | 9 | 34 | 23 | 53 | 147 | 440 | 50 | |
| A. Bou Garrouch | 2245/3 | 104 | 10 | 43 | 66 | 71 | 120 | 460 | 30 | |
| A. Sebâf | 2309/3 | 72 | 7 | 15 | 35 | 43 | 102 | 300 | 21 | |
| A. Nehas | 2310/3 | 72 | 7 | 15 | 38 | 57 | 102 | 300 | 21 | |
| A. El Gouadid | 2759/3 | 56 | 24 | 22 | 67 | 37 | 125 | 400 | 24 | |
| A. Midoun | 4819/3 | 56 | 41 | 35 | 58 | 71 | 132 | 400 | 31 | |
| A. El Dammous | 5220/3 | 86 | 13 | 22 | 40 | 57 | 135 | 360 | 29,5 | |
| A. Zouiga | 5206/3 | 32 | 7 | 14 | 34 | 43 | 27 | 200 | 11 | |
| A. Sejala | 5207/3 | 96 | 7 | 25 | 15 | 43 | 150 | 340 | 27 | |
| A. Dinar | 5208/3 | 164 | 15 | 63 | 144 | 106 | 195 | 700 | 47 | |
| A. Oum El Beenil | 5209/3 | 60 | 100 | 65 | 144 | 128 | 204 | 700 | 56 | |
| A. El Babbas | 5220/3 | 52 | 37 | 56 | 86 | 113 | 90 | 450 | 26 | |
| A. Zebda | 5215/3 | 80 | 7 | 13 | 29 | 28 | 117 | 300 | 23 | |
| A. El Hidjar | 5216/3 | 76 | 7 | 12 | 19 | 28 | 114 | 260 | 22 | |
| A. Mjoughjough | 5217/3 | 84 | 12 | 47 | 96 | 71 | 111 | 460 | 26 | |
| A. Sellam | 5218/3 | 70 | 10 | 25 | 19 | 35 | 135 | 350 | 24 | |
| A. Houhaas | 5219/3 | 60 | 5 | 11 | 19 | 28 | 87 | 240 | 17 | |
| A. El Kharrouba | 5220/3 | 68 | 2 | 13 | 19 | 28 | 96 | 250 | 18 | |
| A. Ethane | 5221/3 | 68 | 10 | 39 | 10 | 43 | 135 | 300 | 21 | |

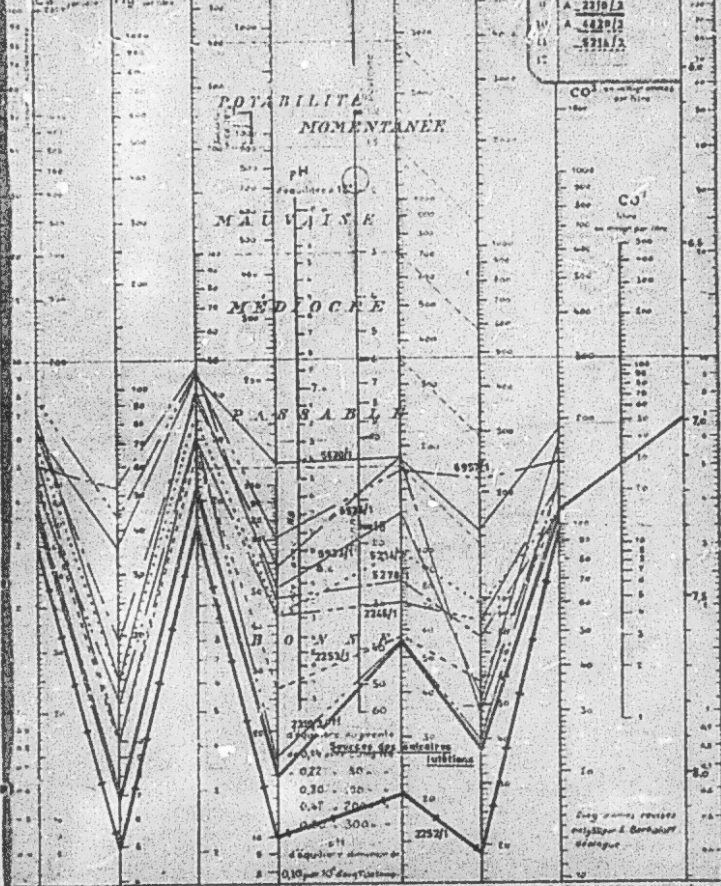
Ces analyses sont représentées sur les diagrammes semi-logarithmiques BERKALOFF-SCHOELLER permettant ainsi de comparer les différentes eaux entre elles (fig. 3, 4, 5 et 6). On peut ainsi mettre en évidence la similitude existant entre les sources des calcaires lutériens et les différentes sources des éocalcaires.

ATION DE THEBAI DIAGRAMMES LOGARITHMIQUES

3

| H ₂ A | H ₂ A' | pH | A ₁ | pH A ₁ |
|------------------|-------------------|-----|----------------|-------------------|
| 2.200 | 2.400 | 2.6 | 3.2 | 5.1±1.2 |
| 4.251 | 3.800 | 6 | 5.3 | 1.0±0.2 |
| 7.000 | 6.800 | 7 | 2.0 | 2.0±0.2 |
| 8.100 | 5.500 | 8 | 1.0 | 3.0±0.2 |
| 9.326 | 7.100 | 9.0 | 1.2 | 3.6±0.2 |

Geographia Mundi 2000



CLASSEMENT DE THIARDIEN
DIAGRAMMES LOGARITHMIQUES

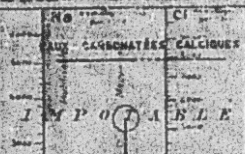
CR. 4

| pH | A | pH | A | pH | A | pH | A |
|------|------|--------|------|------|------|------|------|
| 6.0 | 11.0 | 7.0 | 10.0 | 7.5 | 9.0 | 8.5 | 1.0 |
| 6.2 | 11.1 | 7.2 | 9.0 | 7.8 | 8.5 | 9.0 | 0.8 |
| 6.7 | 10.0 | 7.7 | 8.0 | 8.2 | 7.0 | 8.0 | 0.0 |
| 7.0 | 10.0 | 8.0 | 7.0 | 8.5 | 6.0 | 8.5 | -0.5 |
| 7.5 | 10.5 | 8.5 | 7.5 | 9.0 | 7.0 | 9.0 | -0.0 |
| 8.0 | 11.0 | 9.0 | 8.0 | 9.5 | 6.5 | 9.5 | -0.5 |
| 8.5 | 11.5 | 9.5 | 8.5 | 10.0 | 7.0 | 10.0 | -0.0 |
| 9.0 | 12.0 | 10.0 | 9.0 | 10.5 | 7.5 | 10.5 | -0.5 |
| 9.5 | 12.5 | 10.5 | 9.5 | 11.0 | 8.0 | 11.0 | -0.0 |
| 10.0 | 13.0 | 11.0 | 10.0 | 11.5 | 8.5 | 11.5 | -0.5 |
| 10.5 | 13.5 | 11.5 | 10.5 | 12.0 | 9.0 | 12.0 | -0.0 |
| 11.0 | 14.0 | 12.0 | 11.0 | 12.5 | 9.5 | 12.5 | -0.5 |
| 11.5 | 14.5 | 12.5 | 11.5 | 13.0 | 10.0 | 13.0 | -0.0 |
| 12.0 | 15.0 | 13.0 | 12.0 | 13.5 | 10.5 | 13.5 | -0.5 |
| 12.5 | 15.5 | 13.5 | 12.5 | 14.0 | 11.0 | 14.0 | -0.0 |
| 13.0 | 16.0 | 14.0 | 13.0 | 14.5 | 11.5 | 14.5 | -0.5 |
| 13.5 | 16.5 | 14.5 | 13.5 | 15.0 | 12.0 | 15.0 | -0.0 |
| 14.0 | 17.0 | 15.0 | 14.0 | 15.5 | 12.5 | 15.5 | -0.5 |
| 14.5 | 17.5 | 15.5 | 14.5 | 16.0 | 13.0 | 16.0 | -0.0 |
| 15.0 | 18.0 | 16.0 | 15.0 | 16.5 | 13.5 | 16.5 | -0.5 |
| 15.5 | 18.5 | 16.5 | 15.5 | 17.0 | 14.0 | 17.0 | -0.0 |
| 16.0 | 19.0 | 17.0 | 16.0 | 17.5 | 14.5 | 17.5 | -0.5 |
| 16.5 | 19.5 | 17.5 | 16.5 | 18.0 | 15.0 | 18.0 | -0.0 |
| 17.0 | 20.0 | 18.0 | 17.0 | 18.5 | 15.5 | 18.5 | -0.5 |
| 17.5 | 20.5 | 18.5 | 17.5 | 19.0 | 16.0 | 19.0 | -0.0 |
| 18.0 | 21.0 | 19.0 | 18.0 | 19.5 | 16.5 | 19.5 | -0.5 |
| 18.5 | 21.5 | 19.5 | 18.5 | 20.0 | 17.0 | 20.0 | -0.0 |
| 19.0 | 22.0 | 20.0 | 19.0 | 20.5 | 17.5 | 20.5 | -0.5 |
| 19.5 | 22.5 | 20.5 | 19.5 | 21.0 | 18.0 | 21.0 | -0.0 |
| 20.0 | 23.0 | 21.0 | 20.0 | 21.5 | 18.5 | 21.5 | -0.5 |
| 20.5 | 23.5 | 21.5 | 20.5 | 22.0 | 19.0 | 22.0 | -0.0 |
| 21.0 | 24.0 | 22.0 | 21.0 | 22.5 | 19.5 | 22.5 | -0.5 |
| 21.5 | 24.5 | 22.5 | 21.5 | 23.0 | 20.0 | 23.0 | -0.0 |
| 22.0 | 25.0 | 23.0 | 22.0 | 23.5 | 20.5 | 23.5 | -0.5 |
| 22.5 | 25.5 | 23.5 | 22.5 | 24.0 | 21.0 | 24.0 | -0.0 |
| 23.0 | 26.0 | 24.0 | 23.0 | 24.5 | 21.5 | 24.5 | -0.5 |
| 23.5 | 26.5 | 24.5 | 23.5 | 25.0 | 22.0 | 25.0 | -0.0 |
| 24.0 | 27.0 | 25.0 | 24.0 | 25.5 | 22.5 | 25.5 | -0.5 |
| 24.5 | 27.5 | 25.5 | 24.5 | 26.0 | 23.0 | 26.0 | -0.0 |
| 25.0 | 28.0 | 26.0 | 25.0 | 26.5 | 23.5 | 26.5 | -0.5 |
| 25.5 | 28.5 | 26.5 | 25.5 | 27.0 | 24.0 | 27.0 | -0.0 |
| 26.0 | 29.0 | 27.0 | 26.0 | 27.5 | 24.5 | 27.5 | -0.5 |
| 26.5 | 29.5 | 27.5 | 26.5 | 28.0 | 25.0 | 28.0 | -0.0 |
| 27.0 | 30.0 | 28.0 | 27.0 | 28.5 | 25.5 | 28.5 | -0.5 |
| 27.5 | 30.5 | 28.5 | 27.5 | 29.0 | 26.0 | 29.0 | -0.0 |
| 28.0 | 31.0 | 29.0 | 28.0 | 29.5 | 26.5 | 29.5 | -0.5 |
| 28.5 | 31.5 | 29.5 | 28.5 | 30.0 | 27.0 | 30.0 | -0.0 |
| 29.0 | 32.0 | 30.0 | 29.0 | 30.5 | 27.5 | 30.5 | -0.5 |
| 29.5 | 32.5 | 30.5 | 29.5 | 31.0 | 28.0 | 31.0 | -0.0 |
| 30.0 | 33.0 | 31.0 | 30.0 | 31.5 | 28.5 | 31.5 | -0.5 |
| 30.5 | 33.5 | 31.5 | 30.5 | 32.0 | 29.0 | 32.0 | -0.0 |
| 31.0 | 34.0 | 32.0 | 31.0 | 32.5 | 29.5 | 32.5 | -0.5 |
| 31.5 | 34.5 | 32.5 | 31.5 | 33.0 | 30.0 | 33.0 | -0.0 |
| 32.0 | 35.0 | 33.0 | 32.0 | 33.5 | 30.5 | 33.5 | -0.5 |
| 32.5 | 35.5 | 33.5 | 32.5 | 34.0 | 31.0 | 34.0 | -0.0 |
| 33.0 | 36.0 | 34.0 | 33.0 | 34.5 | 31.5 | 34.5 | -0.5 |
| 33.5 | 36.5 | 34.5 | 33.5 | 35.0 | 32.0 | 35.0 | -0.0 |
| 34.0 | 37.0 | 35.0 | 34.0 | 35.5 | 32.5 | 35.5 | -0.5 |
| 34.5 | 37.5 | 35.5 | 34.5 | 36.0 | 33.0 | 36.0 | -0.0 |
| 35.0 | 38.0 | 36.0 | 35.0 | 36.5 | 33.5 | 36.5 | -0.5 |
| 35.5 | 38.5 | 36.5 | 35.5 | 37.0 | 34.0 | 37.0 | -0.0 |
| 36.0 | 39.0 | 37.0 | 36.0 | 37.5 | 34.5 | 37.5 | -0.5 |
| 36.5 | 39.5 | 37.5 | 36.5 | 38.0 | 35.0 | 38.0 | -0.0 |
| 37.0 | 40.0 | 38.0 | 37.0 | 38.5 | 35.5 | 38.5 | -0.5 |
| 37.5 | 40.5 | 38.5 | 37.5 | 39.0 | 36.0 | 39.0 | -0.0 |
| 38.0 | 41.0 | 39.0 | 38.0 | 39.5 | 36.5 | 39.5 | -0.5 |
| 38.5 | 41.5 | 39.5 | 38.5 | 40.0 | 37.0 | 40.0 | -0.0 |
| 39.0 | 42.0 | 40.0 | 39.0 | 40.5 | 37.5 | 40.5 | -0.5 |
| 39.5 | 42.5 | 40.5 | 39.5 | 41.0 | 38.0 | 41.0 | -0.0 |
| 40.0 | 43.0 | 41.0 | 40.0 | 41.5 | 38.5 | 41.5 | -0.5 |
| 40.5 | 43.5 | 41.5 | 40.5 | 42.0 | 39.0 | 42.0 | -0.0 |
| 41.0 | 44.0 | 42.0 | 41.0 | 42.5 | 39.5 | 42.5 | -0.5 |
| 41.5 | 44.5 | 42.5 | 41.5 | 43.0 | 40.0 | 43.0 | -0.0 |
| 42.0 | 45.0 | 43.0 | 42.0 | 43.5 | 40.5 | 43.5 | -0.5 |
| 42.5 | 45.5 | 43.5 | 42.5 | 44.0 | 41.0 | 44.0 | -0.0 |
| 43.0 | 46.0 | 44.0 | 43.0 | 44.5 | 41.5 | 44.5 | -0.5 |
| 43.5 | 46.5 | 44.5 | 43.5 | 45.0 | 42.0 | 45.0 | -0.0 |
| 44.0 | 47.0 | 45.0 | 44.0 | 45.5 | 42.5 | 45.5 | -0.5 |
| 44.5 | 47.5 | 45.5 | 44.5 | 46.0 | 43.0 | 46.0 | -0.0 |
| 45.0 | 48.0 | 46.0 | 45.0 | 46.5 | 43.5 | 46.5 | -0.5 |
| 45.5 | 48.5 | 46.5 | 45.5 | 47.0 | 44.0 | 47.0 | -0.0 |
| 46.0 | 49.0 | 47.0 | 46.0 | 47.5 | 44.5 | 47.5 | -0.5 |
| 46.5 | 49.5 | 47.5 | 46.5 | 48.0 | 45.0 | 48.0 | -0.0 |
| 47.0 | 50.0 | 48.0 | 47.0 | 48.5 | 45.5 | 48.5 | -0.5 |
| 47.5 | 50.5 | 48.5 | 47.5 | 49.0 | 46.0 | 49.0 | -0.0 |
| 48.0 | 51.0 | 49.0 | 48.0 | 49.5 | 46.5 | 49.5 | -0.5 |
| 48.5 | 51.5 | 49.5 | 48.5 | 50.0 | 47.0 | 50.0 | -0.0 |
| 49.0 | 52.0 | 50.0 | 49.0 | 50.5 | 47.5 | 50.5 | -0.5 |
| 49.5 | 52.5 | 50.5 | 49.5 | 51.0 | 48.0 | 51.0 | -0.0 |
| 50.0 | 53.0 | 51.0 | 50.0 | 51.5 | 48.5 | 51.5 | -0.5 |
| 50.5 | 53.5 | 51.5 | 50.5 | 52.0 | 49.0 | 52.0 | -0.0 |
| 51.0 | 54.0 | 52.0 | 51.0 | 52.5 | 49.5 | 52.5 | -0.5 |
| 51.5 | 54.5 | 52.5 | 51.5 | 53.0 | 50.0 | 53.0 | -0.0 |
| 52.0 | 55.0 | 53.0 | 52.0 | 53.5 | 50.5 | 53.5 | -0.5 |
| 52.5 | 55.5 | 53.5 | 52.5 | 54.0 | 51.0 | 54.0 | -0.0 |
| 53.0 | 56.0 | 54.0 | 53.0 | 54.5 | 51.5 | 54.5 | -0.5 |
| 53.5 | 56.5 | 54.5 | 53.5 | 55.0 | 52.0 | 55.0 | -0.0 |
| 54.0 | 57.0 | 55.0 | 54.0 | 55.5 | 52.5 | 55.5 | -0.5 |
| 54.5 | 57.5 | 55.5 | 54.5 | 56.0 | 53.0 | 56.0 | -0.0 |
| 55.0 | 58.0 | 56.0 | 55.0 | 56.5 | 53.5 | 56.5 | -0.5 |
| 55.5 | 58.5 | 56.5 | 55.5 | 57.0 | 54.0 | 57.0 | -0.0 |
| 56.0 | 59.0 | 57.0 | 56.0 | 57.5 | 54.5 | 57.5 | -0.5 |
| 56.5 | 59.5 | 57.5 | 56.5 | 58.0 | 55.0 | 58.0 | -0.0 |
| 57.0 | 60.0 | 58.0 | 57.0 | 58.5 | 55.5 | 58.5 | -0.5 |
| 57.5 | 60.5 | 58.5 | 57.5 | 59.0 | 56.0 | 59.0 | -0.0 |
| 58.0 | 61.0 | 59.0 | 58.0 | 59.5 | 56.5 | 59.5 | -0.5 |
| 58.5 | 61.5 | 59.5 | 58.5 | 60.0 | 57.0 | 60.0 | -0.0 |
| 59.0 | 62.0 | 60.0 | 59.0 | 60.5 | 57.5 | 60.5 | -0.5 |
| 59.5 | 62.5 | 60.5 | 59.5 | 61.0 | 58.0 | 61.0 | -0.0 |
| 60.0 | 63.0 | 61.0 | 60.0 | 61.5 | 58.5 | 61.5 | -0.5 |
| 60.5 | 63.5 | 61.5 | 60.5 | 62.0 | 59.0 | 62.0 | -0.0 |
| 61.0 | 64.0 | 62.0 | 61.0 | 62.5 | 59.5 | 62.5 | -0.5 |
| 61.5 | 64.5 | 62.5 | 61.5 | 63.0 | 60.0 | 63.0 | -0.0 |
| 62.0 | 65.0 | 63.0 | 62.0 | 63.5 | 60.5 | 63.5 | -0.5 |
| 62.5 | 65.5 | 63.5 | 62.5 | 64.0 | 61.0 | 64.0 | -0.0 |
| 63.0 | 66.0 | 64.0 | 63.0 | 64.5 | 61.5 | 64.5 | -0.5 |
| 63.5 | 66.5 | 64.5 | 63.5 | 65.0 | 62.0 | 65.0 | -0.0 |
| 64.0 | 67.0 | 65.0 | 64.0 | 65.5 | 62.5 | 65.5 | -0.5 |
| 64.5 | 67.5 | 65.5 | 64.5 | 66.0 | 63.0 | 66.0 | -0.0 |
| 65.0 | 68.0 | 66.0 | 65.0 | 66.5 | 63.5 | 66.5 | -0.5 |
| 65.5 | 68.5 | 66.5 | 65.5 | 67.0 | 64.0 | 67.0 | -0.0 |
| 66.0 | 69.0 | 67.0 | 66.0 | 67.5 | 64.5 | 67.5 | -0.5 |
| 66.5 | 69.5 | 67.5 | 66.5 | 68.0 | 65.0 | 68.0 | -0.0 |
| 67.0 | 70.0 | 68.0 | 67.0 | 68.5 | 65.5 | 68.5 | -0.5 |
| 67.5 | 70.5 | 68.5 | 67.5 | 69.0 | 66.0 | 69.0 | -0.0 |
| 68.0 | 71.0 | 69.0 | 68.0 | 69.5 | 66.5 | 69.5 | -0.5 |
| 68.5 | 71.5 | 69.5 | 68.5 | 70.0 | 67.0 | 70.0 | -0.0 |
| 69.0 | 72.0 | 70.0 | 69.0 | 70.5 | 67.5 | 70.5 | -0.5 |
| 69.5 | 72.5 | 70.5 | 69.5 | 71.0 | 68.0 | 71.0 | -0.0 |
| 70.0 | 73.0 | 71.0 | 70.0 | 71.5 | 68.5 | 71.5 | -0.5 |
| 70.5 | 73.5 | 71.5 | 70.5 | 72.0 | 69.0 | 72.0 | -0.0 |
| 71.0 | 74.0 | 72.0 | 71.0 | 72.5 | 69.5 | 72.5 | -0.5 |
| 71.5 | 74.5 | 72.5 | 71.5 | 73.0 | 70.0 | 73.0 | -0.0 |
| 72.0 | 75.0 | 73.0 | 72.0 | 73.5 | 70.5 | 73.5 | -0.5 |
| 72.5 | 75.5 | 73.5 | 72.5 | 74.0 | 71.0 | 74.0 | -0.0 |
| 73.0 | 76.0 | 74.0 | 73.0 | 74.5 | 71.5 | 74.5 | -0.5 |
| 73.5 | 76.5 | 74.5 | 73.5 | 75.0 | 72.0 | 75.0 | -0.0 |
| 74.0 | 77.0 | 75.0 | 74.0 | 75.5 | 72.5 | 75.5 | -0.5 |
| 74.5 | 77.5 | 75.5 | 74.5 | 76.0 | 73.0 | 76.0 | -0.0 |
| 75.0 | 78.0 | 76.0 | 75.0 | 76.5 | 73.5 | 76.5 | -0.5 |
| 75.5 | 78.5 | 76.5 | 75.5 | 77.0 | 74.0 | 77.0 | -0.0 |
| 76.0 | 79.0 | 77.0 | 76.0 | 77.5 | 74.5 | 77.5 | -0.5 |
| 76.5 | 79.5 | 77.5 | 76.5 | 78.0 | 75.0 | 78.0 | -0.0 |
| 77.0 | 80.0 | 78.0 | 77.0 | 78.5 | 75.5 | 78.5 | -0.5 |
| 77.5 | 80.5 | 78.5 | 77.5 | 79.0 | 76.0 | 79.0 | -0.0 |
| 78.0 | 81.0 | 79.0 | 78.0 | 79.5 | 76.5 | 79.5 | -0.5 |
| 78.5 | 81.5 | 79.5 | 78.5 | 80.0 | 77.0 | 80.0 | -0.0 |
| 79.0 | 82.0 | 80.0 | 79.0 | 80.5 | 77.5 | 80.5 | -0.5 |
| 79.5 | 82.5 | 80.5 | 79.5 | 81.0 | 78.0 | 81.0 | -0.0 |
| 80.0 | 83.0 | 81.0 | 80.0 | 81.5 | 78.5 | 81.5 | -0.5 |
| 80.5 | 83.5 | 81.5 | 80.5 | 82.0 | 79.0 | 82.0 | -0.0 |
| 81.0 | 84.0 | 82.0 | 81.0 | 82.5 | 79.5 | 82.5 | -0.5 |
| 81.5 | 84.5 | 82.5 | 81.5 | 83.0 | 80.0 | 83.0 | -0.0 |
| 82.0 | 85.0 | 83.0 | 82.0 | 83.5 | 80.5 | 83.5 | -0.5 |
| 82.5 | 85.5 | 83.5 | 82.5 | 84.0 | 81.0 | 84.0 | -0.0 |
| 83.0 | 86.0 | 84.0 | 83.0 | 84.5 | 81.5 | 84.5 | -0.5 |
| 83.5 | 86.5 | 84.5 | 83.5 | 85.0 | 82.0 | 85.0 | -0.0 |
| 84.0 | 87.0 | 85.0 | 84.0 | 85.5 | 82.5 | 85.5 | -0.5 |
| 84.5 | 87.5 | 85.5 | 84.5 | 86.0 | 83.0 | 86.0 | -0.0 |
| 85.0 | 88.0 | 86.0 | 85.0 | 86.5 | 83.5 | 86.5 | -0.5 |
| 85.5 | 88.5 | 86.5</ | | | | | |

ÉTUDE RÉGION DE TIRHAR DIAGRAMMES LOGARITHMIQUES

FEV. 1958

| | pH A. | pH A. | pH A. | pH A. | pH A. |
|-----|------------|-------------------|-------|-------|-------|
| 6,5 | 21,1 | 18,0 | 2,8 | 3,2 | 6,0 |
| 6,6 | 21,2 | 18,1 | 2,9 | 3,3 | 6,1 |
| 7,2 | 20,0 | 2,0 | 0,5 | 2,0 | 6,5 |
| 8,1 | 16,9 | 2,5 | 0,6 | 3,0 | 6,8 |
| 8,9 | 12,0 | 7,8 | 0,9 | 3,3 | 7,0 |
| 9,9 | 7,8 | 8,0 | 1,9 | 3,6 | 7,1 |
| | | | | | |
| | Alkalinité | MgSO ₄ | | | |



| Cl ⁻ | SO ₄ ²⁻ | CaCO ₃ |
|-----------------|-------------------------------|-------------------|
| 1 | 1 | 1 |
| 2 | 2 | 2 |
| 3 | 3 | 3 |
| 4 | 4 | 4 |
| 5 | 5 | 5 |
| 6 | 6 | 6 |
| 7 | 7 | 7 |
| 8 | 8 | 8 |
| 9 | 9 | 9 |
| 10 | 10 | 10 |
| 11 | 11 | 11 |
| 12 | 12 | 12 |

Legend: 1 = 2234/2
2 = 2217/2
3 = 2273/1
4 = 2255/1
5 = 2253/1
6 = 2258/1

Legend: Good Water analysis

IMPORTE

POTABILITÉ
MOMENTANÉE

pH

MAUVAISÉ

MÉDIOCRE

PAS GABAT

GOOD

CO₂

CO₂

Source

2217/2

2255/1

2253/1

2258/1

2273/1

2234/2

2217/2

2255/1

2253/1

2258/1

2273/1

2234/2

2217/2

2255/1

2253/1

2258/1

2273/1

2234/2

2217/2

2255/1

2253/1

2258/1

2273/1

2234/2

2217/2

2255/1

2253/1

2258/1

2273/1

2234/2

2217/2

2255/1

2253/1

2258/1

2273/1

2234/2

2217/2

2255/1

2253/1

2258/1

2273/1

2234/2

2217/2

2255/1

2253/1

2258/1

2273/1

2234/2

2217/2

2255/1

2253/1

2258/1

2273/1

2234/2

2217/2

2255/1

2253/1

2258/1

2273/1

2234/2

2217/2

2255/1

2253/1

2258/1

2273/1

2234/2

2217/2

2255/1

2253/1

2258/1

2273/1

2234/2

2217/2

2255/1

2253/1

2258/1

2273/1

2234/2

2217/2

2255/1

2253/1

2258/1

2273/1

2234/2

2217/2

2255/1

2253/1

2258/1

2273/1

2234/2

2217/2

2255/1

2253/1

2258/1

2273/1

2234/2

2217/2

2255/1

2253/1

2258/1

2273/1

2234/2

2217/2

2255/1

2253/1

2258/1

2273/1

2234/2

2217/2

2255/1

2253/1

2258/1

2273/1

2234/2

2217/2

2255/1

2253/1

2258/1

2273/1

2234/2

2217/2

2255/1

2253/1

2258/1

2273/1

2234/2

2217/2

2255/1

2253/1

2258/1

2273/1

2234/2

2217/2

2255/1

2253/1

2258/1

2273/1

2234/2

2217/2

2255/1

2253/1

2258/1

2273/1

2234/2

2217/2

2255/1

2253/1

2258/1

2273/1

2234/2

2217/2

2255/1

2253/1

2258/1

2273/1

2234/2

2217/2

2255/1

2253/1

2258/1

2273/1

2234/2

2217/2

2255/1

2253/1

2258/1

2273/1

2234/2

2217/2

2255/1

2253/1

2258/1

2273/1

2234/2

2217/2

2255/1

2253/1

2258/1

2273/1

2234/2

2217/2

2255/1

2253/1

2258/1

2273/1

2234/2

2217/2

2255/1

2253/1

2258/1

2273/1

2234/2

2217/2

2255/1

2253/1

2258/1

2273/1

2234/2

2217/2

2255/1

2253/1

2258/1

2273/1

2234/2

2217/2

2255/1

2253/1

2258/1

2273/1

2234/2

2217/2

2255/1

2253/1

2258/1

2273/1

2234/2

2217/2

2255/1

2253/1

2258/1

2273/1

2234/2

2217/2

2255/1

2253/1

2258/1

2273/1

2234/2

2217/2

2255/1

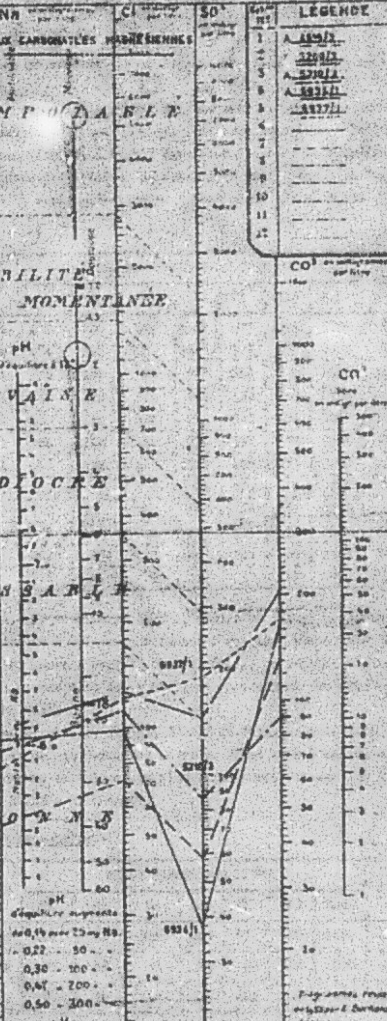
2253/1

2258

TABLEAUX DE LOGARITHMES LOGARITHMIQUES

10

| H | A | pH | R | μH | A | N | A |
|-----|------|-----|------|---------------|-----|-----|-----|
| 6.5 | 3.1 | 2.2 | 10.0 | 2.4 | 3.2 | 8.2 | 1.0 |
| 6.5 | 3.1 | 2.3 | 10.0 | 2.5 | 3.3 | 8.3 | 1.3 |
| 7 | 2.7 | 2 | 10.0 | 2.6 | 3.4 | 8.4 | 1.4 |
| 8 | 16.0 | 2.1 | 10.0 | 2.8 | 3.6 | 8.6 | 1.6 |
| 9.0 | 12.6 | 2.4 | 9.0 | 2.9 | 3.7 | 9.8 | 1.8 |



C2.2.2 - Sources du Trias -

Un certain nombre de sources ont pu être inventorierées au sein même du trias ou à sa limite.

Nous avons alors affaire à des eaux relativement peu chargées pour des eaux d'origine triasique (entre 1 et 3 g/l), de type sulfatées calciques ou sulfatées magnésiennes (fig. 7, 8 et 9). Cependant l'eau de la dernière source inventorierée et issue des dolomies du trias à un résidu avec très faible et présente un profil carbonaté-calcique tout comme Aïn el HAMRA (R.S = 395 mg/l).

| NOM | N° BIRH | MILLIGRAMMES PAR LITRE | | | | | | | dH |
|---------------------|---------|------------------------|-----|-----|-----------------|-----|-----------------|------|-----|
| | | Ca | Mg | Na | SO ₄ | Cl | CO ₃ | R.S | |
| A. El Mourra | 2328/1 | 456 | 224 | 140 | 1402 | 497 | 174 | 3000 | 206 |
| A. Difaya | 5207/1 | 484 | 155 | 143 | 1340 | 305 | 163 | 2600 | 180 |
| Source Romaine | 5272/1 | 376 | 146 | 76 | 998 | 246 | 207 | 2310 | 154 |
| A. Mââin El Dhorban | 6947/1 | 256 | 178 | 315 | 941 | 532 | 150 | 2700 | 130 |
| A. Pathiza | 6948/1 | 168 | 190 | 238 | 864 | 390 | 149 | 2020 | 120 |
| A. El Keron | 6949/1 | 184 | 122 | 212 | 730 | 337 | 150 | 1660 | 96 |
| A. Seboun | 6953/1 | 456 | 238 | 125 | 1536 | 426 | 135 | 3200 | 210 |
| A. Afacit | 2292/3 | 133 | 99 | 57 | 24 | 106 | 312 | 940 | 70 |
| A. Douous el Ma | 2759/3 | 320 | 12 | 26 | 500 | 64 | 180 | 1100 | 82 |
| A. Ech Chfa | 5211/3 | 366 | 214 | 260 | 140 | 515 | 354 | 2800 | 160 |
| A. Safsafa | | 352 | 63 | 26 | 869 | 153 | 150 | 1663 | 125 |
| A. sans nom | | 96 | 25 | 9 | 19 | 53 | 147 | 339 | 31 |

Parmi ces eaux, les sources n° 2328/1, 6953/1 et 5211/3 présentent un rapport $\frac{Mg}{Ca}$ supérieur à 0,7 pouvant indiquer qu'elles proviennent de dolomies. Pour les sources 6947/1, 6945/1, 6949/1 ce rapport dépassant l'unité indique que les roches d'où elles émergent contiennent des sels de Magnésiennes (Mg SO₄, Mg CO₃).

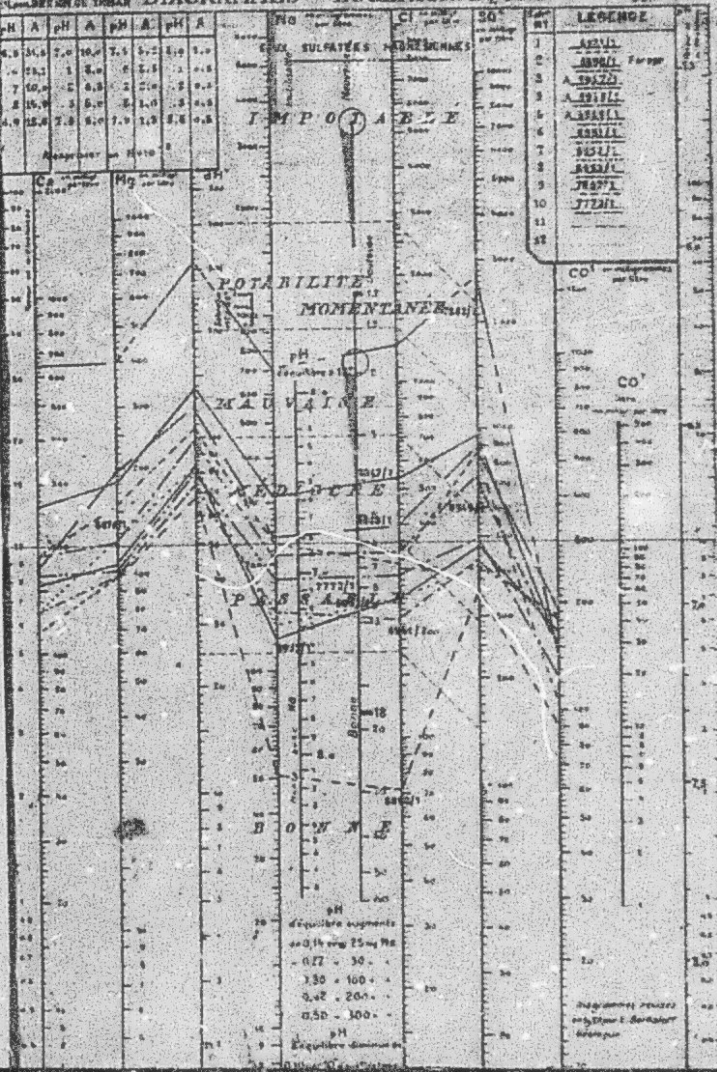
Les points d'eau n° 4819/3, 5209/3, 5276/1 et 6934/1 situés dans les éboulis sont à rapprocher de ces dernières sources. Elles sont d'ailleurs en contact avec des poisiements triasiques ou bien directement situées sur la dorsale triasique Ste. MARIE - Sidi MAHDY.

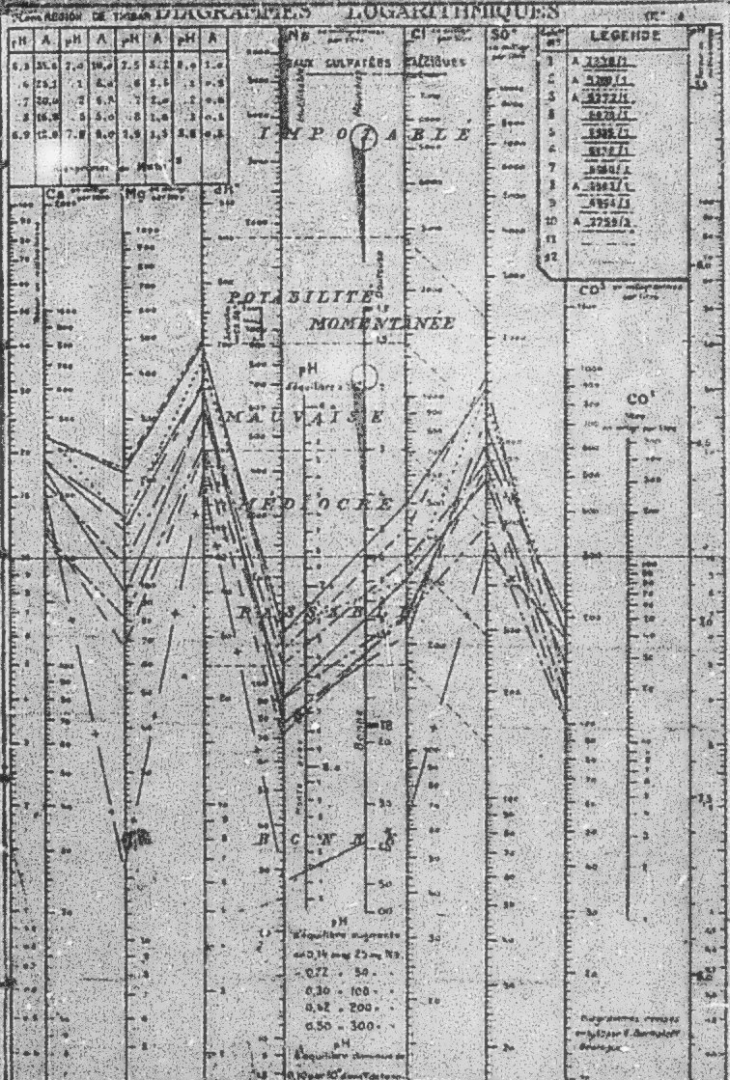
C2.2.3 - Sources du Méphène -

| NOM | N° BIRH | MILLIGRAMMES PAR LITRE | | | | | | | dH |
|--------------|---------|------------------------|----|-----|-----------------|-----|-----------------|------|----|
| | | Ca | Mg | Na | SO ₄ | Cl | CO ₃ | R.S | |
| A. Metta | 4965/1 | 136 | 73 | 325 | 163 | 674 | 159 | 1820 | 64 |
| A. El Hammam | 5270/1 | 100 | 53 | 48 | 78 | 85 | 106 | 700 | 47 |
| A. Motouia | 3391/3 | 120 | 34 | 132 | 115 | 213 | 162 | 800 | 44 |

DIAGRAMES LOGARITHMIQUES

四

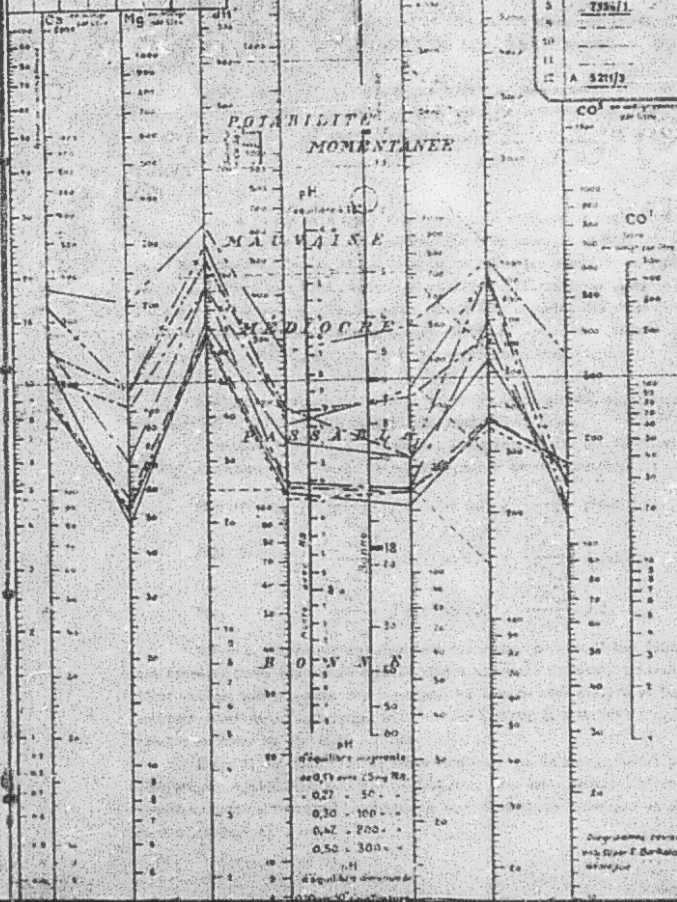




| pH | A | pH | A | pH | A | pH | A |
|-------|------|-----|------|-----|------|-----|------|
| 6.5 | 25.6 | 7.0 | 10.0 | 2.5 | 3.0 | 8.0 | 1.0 |
| -6.25 | | 5.5 | -4 | 2.5 | -1 | 1.5 | 0.5 |
| - | - | 6.5 | -3 | 2 | -2 | - | - |
| - | - | - | - | - | - | - | - |
| 8.0 | -0.8 | 5.5 | -0.5 | 3.0 | -0.5 | 2.5 | -0.5 |
| 0.9 | -0.9 | 7.0 | -0.5 | 2.5 | -0.5 | 5.5 | -0.5 |

| | |
|-------------------|-----------|
| No | C1 |
| EAU SULFATEE | SACCHARÉE |
| — | — |
| — | — |
| M P O (T) A B L E | |

LEGENDE



Aïn NETHA est de type chloruré sodique alors qu'Aïn METOULLA est chlorurée calcique (fig. 10 et 11).

Aïn el HABIBA n'est autre que la nappe phréatique affleurante près de l'Oued THIBAR au contact de la dorsale triasique.

C2.3 - Puits et forage -

Les analyses chimiques (annex 1) sont représentées sur les diagrammes semi-logarithmiques REKALOFF-SCHONELLER (fig. 3 à 12) permettant la comparaison des eaux entre elles.

L'inclinaison des droites rejoignant deux éléments donnés est fonction du rapport quantitatif existant entre ces deux éléments. Les rapports les plus caractéristiques sont essentiellement $\frac{[Na]}{[Ca]}$, $\frac{[Na]}{[Cl]}$ et aussi $\frac{[Na]}{[SO_4]}$, $\frac{[Cl]}{[Ca]}$.

L'ensemble des eaux des sources, qu'elles proviennent des calcaires Cénomanien, Campanien ou Lutétien se retrouve dans la nappe d'éboulis présente au Nord-Ouest du Djebel CORAA. Cette nappe d'éboulis constitue en fait le relais permettant aux divers aquifères calcaires d'alimenter la plaine alluviale de THIBAR. On comprendra de ce fait que la majorité des points d'eau de cette plaine présente des eaux de type carbonaté calcique (puits 5214/3, 5273/1, 6944/1, 6945/1, 6957/1, 6959/1) exceptionnellement magnésien (6937/1).

Toutefois, dès qu'on s'éloigne du centre de la plaine, apparaissent des eaux sulfatées calciques montrant la proximité du trias.

Le rapport $\frac{[Na]}{[Ca]}$ aura tendance à augmenter alors que le rapport $\frac{[Na]}{[Cl]}$ diminuera $\frac{[Cl]}{[Ca]}$ en se rapprochant des terrains triasiques :

$$\text{Fig. 8 : } 1,7 \frac{[Na]}{[Ca]} < 6 \text{ et } 0,2 \frac{[Na]}{[Cl]} < 0,8$$

$$\text{Fig. 9 : } 1,4 \frac{[Na]}{[Ca]} < 3,3 \text{ et } 0,5 \frac{[Na]}{[Cl]} < 0,9$$

$$\text{Fig. 12 : } 2 \frac{[Na]}{[Ca]} < 1,5 \text{ et } 0,5 \frac{[Na]}{[Cl]} / 1$$

Les eaux chlorurées sodiques très nombreuses près de l'Oued TESS qui traverse avant son entrée dans la plaine alluviale un massif triasique, n'ont été que partiellement représentées. Des eaux de même qualité se rencontrent aussi dans les terrains vindoboniens (AMOUR et MAMBOUCH) (fig. 10) accolés au trias du Djebel E. AROUSSA.

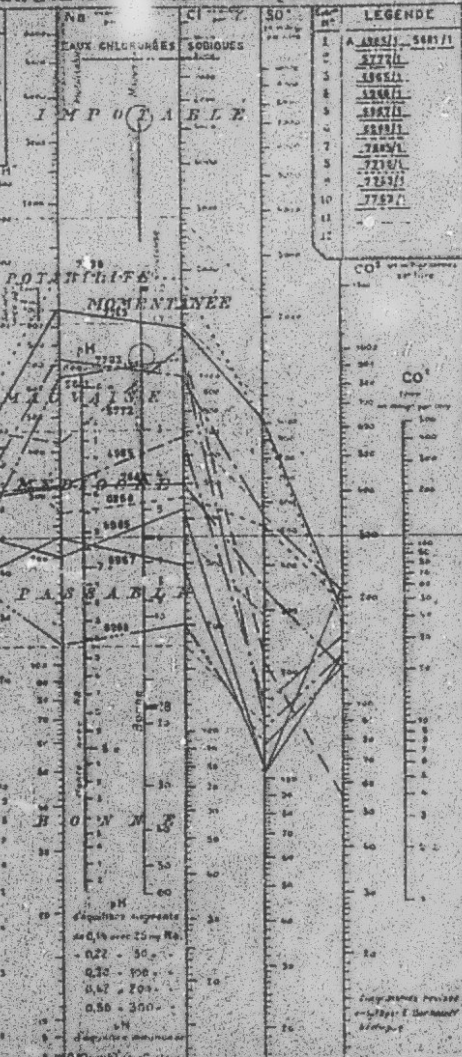
Enfin il est important de faire remarquer que le forage 6150/1 possède une eau typiquement sulfatée magnésienne. Dans cette famille, c'est toutefois cette eau qui a les meilleures caractéristiques chimiques au point de vue potabilité.

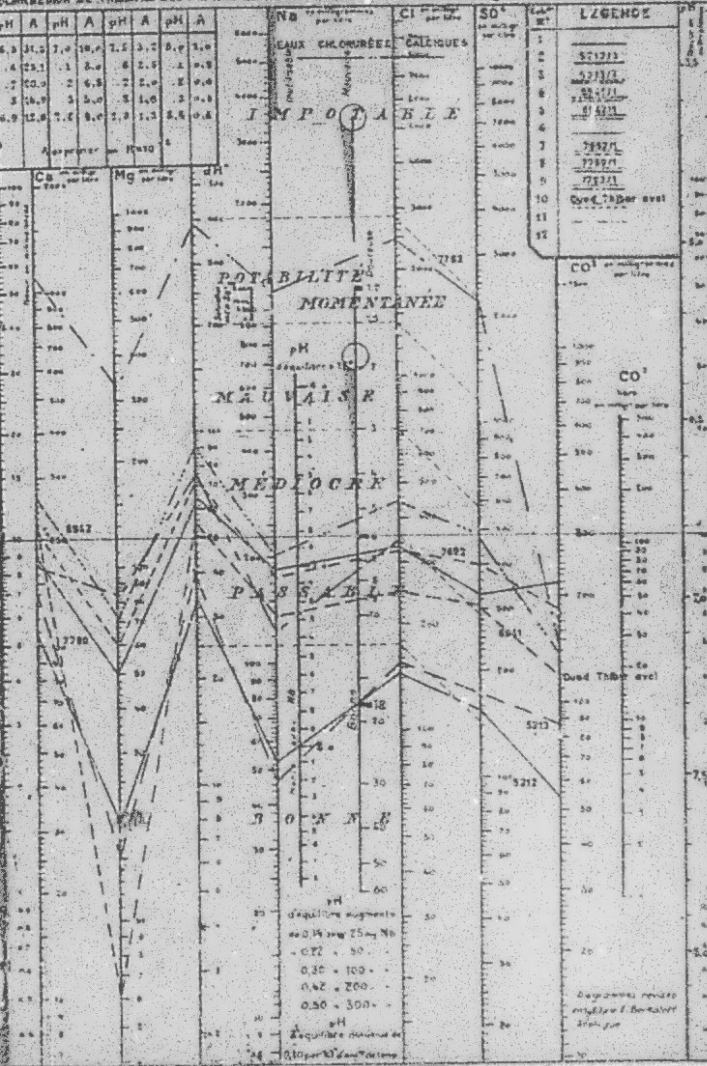
TABLEAUX DE TOUTES LES DIAGRAMMES

GARITHMIQUES

三

| C | A | B | A | pH | R | pH | A |
|-----|------|-----|------|-----|-----|-----|-----|
| 0.3 | 12.0 | 2.0 | 10.0 | 7.8 | 3.0 | 8.0 | 3.0 |
| - | - | - | - | - | - | - | - |
| 2.0 | 2.0 | - | 6.5 | 7.0 | 2.0 | 7.0 | 2.0 |
| 8.0 | 8.0 | - | 5.0 | 5.5 | 8.0 | 5.5 | 8.0 |
| 6.0 | 12.0 | 7.0 | 6.0 | 7.0 | 6.0 | 7.0 | 6.0 |
| | | | | | | | |
| | | | | | | | |





| | A | pH A | pH A |
|----|------|------|------|
| 1 | 2.5 | 4.2 | 6.1 |
| 2 | 3.0 | 4.6 | 6.5 |
| 3 | 3.5 | 5.0 | 7.0 |
| 4 | 4.0 | 5.4 | 7.4 |
| 5 | 4.5 | 5.8 | 7.8 |
| 6 | 5.0 | 6.2 | 8.2 |
| 7 | 5.5 | 6.6 | 8.6 |
| 8 | 6.0 | 7.0 | 9.0 |
| 9 | 6.5 | 7.4 | 9.4 |
| 10 | 7.0 | 7.8 | 9.8 |
| 11 | 7.5 | 8.2 | 10.2 |
| 12 | 8.0 | 8.6 | 10.6 |
| 13 | 8.5 | 9.0 | 11.0 |
| 14 | 9.0 | 9.4 | 11.4 |
| 15 | 9.5 | 9.8 | 11.8 |
| 16 | 10.0 | 10.2 | 12.0 |

EAUX SULFATEES CALCIQUEES
SOLUBILITE

IMPORTE

POTABILITE
MOMENTANEE

MAISSE

EDIFICATION

PLAISIR

CO2

C3 - Les unités aquifères -

Les observations faites sur le terrain permettent de considérer trois types d'aquifères :

- apports du trias
- aquifères karstiques
- aquifère plio-quaternaire

C.3.1 - Apports du trias -

Remarquons tout d'abord que les puits du village de THIHLIR sont en réalité des sources captées (5272/1, 5274/1, 6961/1). Certaines s'écoulent d'ailleurs régulièrement. L'eau de ces sources captées provient du trias dolomitique. Parmi les sources que nous considérons comme ayant la même origine, le débit observé est le suivant :

| |
|------------------------|
| 2326/1 : 2 à 72 l/s |
| 5200/1 : 1,4 à 2,3 l/s |
| 6947/1 : 1,2 à 4,7 l/s |
| 5963/1 : 1,6 à 11 l/s |
| 2759/3 : 0,2 à 1,2 l/s |

La source 2326/1, la plus importante s'écoule vers la vallée de la MEDUERDA.

On ne peut donc pas apporter beaucoup d'éléments concernant les possibilités aquifères des dolomies du trias. Toutefois les considérer comme dépourvues d'eau serait une erreur. Elles peuvent à l'extrême former un réservoir qu'il serait utile de reconnaître tant quantitativement que qualitativement.

C3.2 - Aquifères karstiques -

Par aquifère karistique, nous entendons les calcaires cénozoïen, éocène et océan. Leur caractéristiques sont très différentes.

C3.2.1 - Cénozoïen -

Dans la région du BOU TOUIL, cet étage devient entièrement calcaire. Plusieurs forages miniers ont rencontré une centaine de mètres de calcaire. Il a été impossible malheureusement de situer exactement ces sondages :

- S1 : 107 m. de calcaire
- S2 : 52,1 m de calcaire (traces de galène entre 18 et 30 m)
- S4 : 105 m. de calcaire (traces de galène entre 45 et 80 m)
- S6 : 66 m. de marne avec pyrite.
- S7 : 55 m. de marne-calcaire.

Dans le but de poursuivre l'exploitation de la mine du BOU TOUIL la SOTEMI envisageait de rebattre la nappe de ces calcaires.

C3.2.2 - Aturien -

Ces calcaires donnent naissance à Ain DEHAR (5209/1 (altitude : 650m) et Ain SELLAM (5218/3) à 570 m d'altitude. Notons qu'Ain MELLITI est captée dans la même formation (côte : 570 m environ) ainsi qu'Ain OUERDA (côte 530m). Cette dernière a été aussi captée pour les bassins en eau potable de TEBOURSOUK. L'essai effectué afin de recectionner l'ouvrage est résumé dans le tableau ci-dessous :

| | $Q \text{ en l/s}$ | $s \text{ en m}$ |
|---|--------------------|------------------|
| 1 ^{er} palier : le 10/7/71 de 17H à 21H | 16,55 | 0,54 |
| 2 ^e palier : du 10/7/71 à 21H au 11/7/71 à 18H | 33,60 | 2,95 |
| 3 ^e palier : du 11/7/71 à 18H au 12/7/71 à 12H | 37,36 | 4,75 |

Le découpllement de cet essai donne comme caractéristique hydraulique (fig. 13) : $5,0 \cdot 10^{-3} \text{ / } T \text{ / } 6,7 \cdot 10^{-3} \text{ m}^2/\text{s}$

Il est probable que la nappe captive de ces calcaires alimente directement les éboulis qui les recouvrent au Nord-Ouest du Djebel GORAA.

C3.2.3 - Eocene -

Nous avons vu que cet étage est représenté par des calcaires bruns ou rosés, cristallins, renfermant ou non des nummulites. Sa duréte lui a permis de fort bien résister à l'érosion et il forme ici un relief dénudé dont le sommet culmine à 963 mètres, sous forme d'une cuesta fortement lapiazée.

Ces calcaires présentent de nombreuses fractures subverticales bien ouvertes avec parfois remplissage ferro-calcitique. Près d'Ain ESSERAII, une fracture orientée N.WO-S.SE est même minéralisée.

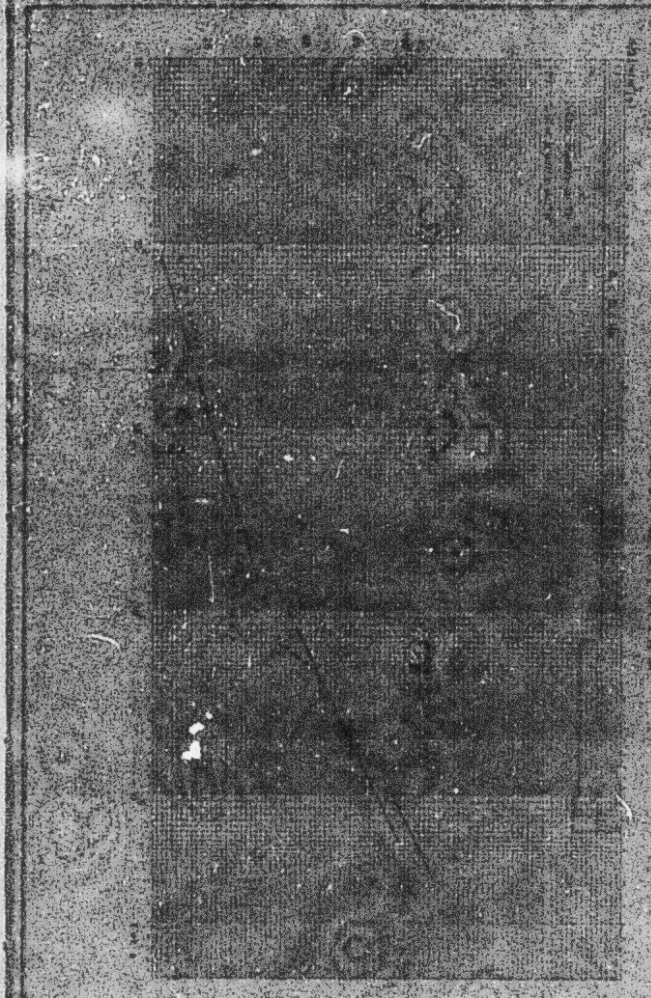
Ils ont pu être testés près de TEBOURSOUK où ces calcaires constituent un karst enfoui sous les alluvions de l'Oued ENNALED. (Gf. Compte-rendu de fin de travaux et d'essais de pompage du forage 5349/3, 1972 - H. ZEHLI et A. KHTATA). La transmissivité calculée lors des essais effectués sur ce forage est de l'ordre de $1,4 \cdot 10^{-2} \text{ m}^2/\text{s}$.

Pour le Djebel GORAA, bien que celui-ci soit largement fracturé et moyennement karstifié, il ne faut prendre cette valeur qu'à titre indicatif.

Sur le pourtour de ces calcaires affleurant sur environ 12 km², apparaissent de nombreuses émergences de débit minime. Toutefois, à DJERBA, la position déprimée du synclinal, en forme de gouttière franchement accusée permet un drainage plus important, d'où les sources d'Ain ESSERAII et NEHAS.

Le tableau suivant récapitule la première campagne de mesures de débit de ces sources :

.../...



| DATE | 2309/3 | 2310/3 |
|------------|------------|------------|
| : | : | : |
| : 16. 1.69 | : 10,2 l/s | : - |
| : 10. 5.69 | : 16,0 | : 10,3 l/s |
| : 23. 6.69 | : 15,2 | : 7,62 |
| : 17. 7.69 | : 15,0 | : 9,00 |
| : 31. 8.69 | : 14,9 | : 7,80 |
| : 29. 9.69 | : 11,0 | : 6,50 |
| : 18.11.69 | : 17,5 | : 15,5 |
| : 25.12.69 | : 33,0 | : - |
| : 17. 1.70 | : 35,6 | : 20,65 |
| Sum | 160,6 | 100,45 |

Ces mesures permettent de calculer leur indice de variabilité qui sont respectivement 3,49 et 3,17, lesquels sont vraisemblablement nettement plus élevés. Il y aura lieu de les vérifier après plusieurs années de surveillance.

On peut donc cette première approximation grossière calculer un coefficient de tarissement caractérisant ces deux sources. La relation $Q_t = Q_0 e^{-k t}$ donne sous forme logarithmique $\log Q_t = \log Q_0 - (0,434/k)t$

Soit $\log Q_0 - \log Q_t = -t \cdot 0,434$

Ce qui donne $k = 0,0026$ pour la source 2309/3 et $k = 0,0032$ pour la source 2310/3. Ceci n'est qu'une approche qu'il conviendra de confirmer la campagne de jaugeages de cette année ayant été perturbée par le captage de ces sources.

Il est vraisemblable que le débit de ces sources est fourni pour au moins 75 % par des ouvertures étroites, les ouvertures larges fournissant le complément.

Ces coefficients de tarissement permettent de calculer la capacité d'emmagasinement des calcaires.

Source 2309/3 - $V = 531.620 \text{ m}^3$

Source 2310/3 - $V = 277.950 \text{ m}^3$

Soit pour ces deux sources 849.570 m^3 de réserves. Toutefois, notons que celles-ci sont sous-estimées le débit à l'instant $t = 0$ ayant été pris par défaut et pouvant être nettement plus important.

Remarquons enfin que durant la période d'étiage (de Mai à Septembre 69) il ne s'est écoulé que 354.700 m^3 .

Dès lors, on comprend qu'il y a intérêt d'abaisser au maximum le plan d'eau d'une des deux sources.

C3.3 - Aquifère plio-quaternaire -

C3.3.1 - Morphologie de la surface piézométrique -

Nous avons tracé les lignes de courant et dégagé les axes principaux d'écoulement (Pl. III).

La profondeur du plan d'eau (Planche II), est importante près des affleurements exception faite des marécages de HILLA-MEDLA et de la cuvette de THIRAR. Dans toutes les autres zones, elle dépasse 10 mètres. Au contraire dans la cuvette de THIRAR et entre la CP N° 6 et la voie ferrée TUNIS-GHARBIAOUI elle est inférieure à 5 mètres parfois même à 2,5 mètres (zones hachurées).

Dans la plaine de THIRAR proprement dite, les courbes isopédoles dessinent des arcs de cercle à concavité orientée vers l'aval, plus serrés toutefois sur la rive gauche de l'Oued THIRAR. Le gradient hydraulique, alors très élevé de 1°/ordre de 5 pour 100, indique un débit important, ce qui se conçoit pour une zone de pléïmont.

A la sortie de la cuvette de THIRAR, une partie du potentiel aquifère souterrain drainé par des calcaires lacustres situés en aval de Henchir THIRAR se retrouve dans les eaux superficielles. De ce fait la pente va diminuant jusqu'à 6 pour 1000.

Outre la MEDJEDDA, les principaux axes de drainage sont l'Oued MEDLEGUE, l'Oued KELAH et l'Oued THIRAR dans sa partie amont.

C'est dans la zone comprise entre l'Oued TESSA et la CP N° 72 que le gradient hydraulique est le plus faible (1,1 pour 100). L'écoulement en effet y est très lent, les pertes par évapotranspiration sont considérables.

Dans la zone plus particulièrement surveillée, au Sud de la voie ferrée TUNIS-GHARBIAOUI, il a été possible de déterminer l'amplitude des variations des niveaux. Ces amplitudes sont toujours faibles près de la MEDJEDDA (0,2 à 0,9 m), par contre nettement plus élevées près de l'Oued MASSILA (1,7 à 7,5 m en amont). En ce qui concerne la cuvette de THIRAR proprement dite, les niveaux oscillent de 0,3 à 1,9 m.

C3.3.2 - Salinité -

Avec la proximité du diapir du Djebel el AROUSSA, on pourraut à juste titre être inquiet quant à la qualité des eaux souterraines. Or, les salinités des eaux rencontrées sont dans leur grande majorité acceptables. Ceci est du principalement au fait que la limite du bassin versant de la cuvette de THIRAR passe au Nord par le village de THIRAR n'englobant ainsi que peu de terrains triasiques. Les eaux de ruissellement du Djebel el AROUSSA ne se déversent donc pas dans la cuvette de THIRAR mais dans la vallée de la MEDJEDDA par l'intermédiaire de l'Oued el OUMAR.

Au contraire, au Sud-Est, la ligne de crête passe par le Djebel SOUHA et nous avons vu que la structure synclinale de ces calcaires formant gouttière près de INDEHM favorise l'écoulement de la nappe karstique qu'ils contiennent vers le versant Nord-Ouest.

Sur la planche IV, sont reportés les points d'eau inventoriés (puits et sources) avec les valeurs de leur résidu sec.

La zone étudiée a été placée dans son contexte géographique afin de souligner l'importance des sources du synclinal du Djebel GORAA. Ces dernières, par l'intermédiaire des éboulis, donnent naissance à une nappe phréatique dont le résidu sec ne dépasse pas 1,5 g/l et qui est drainée par l'Oued THIBAR.

Ce n'est que vers sa confluence avec la MEDJERDA que la salinité de cette nappe phréatique augmente.

En effet, à l'Ouest de la zone étudiée vers JENDOUBA, la nappe alluviale de la plaine de la MEDJERDA a un résidu sec dépassant souvent 5 g/l dû, essentiellement à la concentration par évaporation des eaux de celle-ci.

La zone où les eaux présentent une salinité moindre sera donc située entre les eaux saumâtres de la nappe phréatique de la MEDJERDA et celles contaminées par le trias du Djebel EL AHOUSA.

Les isochlôres présentés sur la planche V confirment ces observations.

En effet, on voit que les eaux contenant moins de 200 mg par litre d'ion Cl⁻ sont limitées, au Djebel GORAA, à son piémont et à la plaine de THIBAR et que la majeure partie du débit s'écoule entre Ste MARIE et le Dj. Sidi MAHDI.

Ce fait est particulièrement net sur la planche VI présentant les teneurs en sulfates des pointes d'eau. On voit nettement apparaître la pollution des eaux souterraines par le trias du Djebel Sidi MAHDI, par la dorsale transique Ste. MARIE - Ste MARGUERITE et enfin par le Djebel EL AHOUSA.

Outre l'extrême Nord de l'étude, le Djebel GORAA, son piémont et la cuvette de THIBAR présentent des eaux de bonne potabilité (SO₄ < 250 mg/l)

Les renseignements apportés par ces trois cartes - salinité, isochlôres en chlore et en sulfate marquent par leur bonne concordance l'existence d'un passage préférentiel des eaux de bonne qualité issues de la cuvette de THIBAR.

C3.3.3 - Essais de débits -

15 essais PORCHET ont été effectués sur le terrain par H. HENCHI.

Chaque essai est représenté en annexe sous forme de courbe arithmétique donnant le rabattement en fonction du temps. La partie à forte pente correspond à la vidange du puits et de ses abords ; la pente plus faible à la baisse de la nappe elle-même. En dehors du cas de stabilisation, la baisse du puits et celle de la nappe sont simultanées ; la différence de pente accuse seulement la prédominance d'un effet sur l'autre.

Dans la mesure du possible, une détermination de la transmissivité, généralement selon HOUPERT et FOUCHE, a été toujours recherchée.

Le tableau suivant résume le déroulement des essais :

| N° BIRH | ABAISSEMENT | | REMONTÉE | | DÉBIT en l/s |
|---------|-------------|--------|----------|--------|-----------------|
| | DURÉE | s en m | DURÉE | s en m | |
| 5992 | 5H00 | 1,20 | 1H05 | 1,20 | 9,4 |
| 6878 | 3H50 | 1,18 | 4H00 | 0,88 | 4,7 |
| 6937 | 2H20 | 1,3 | 7H00 | 1,38 | 10,3 |
| 6944 | 4H00 | 0,95 | 12H00 | 0,51 | 10,7 |
| 6945 | 4H20 | 1,08 | 7H00 | 1,65 | 10,7 |
| 6951 | 4H00 | 1,77 | 2H20 | 1,77 | 6,8 |
| 6959 | 5H35 | 9,01 | 4H00 | 2,29 | 9,5 |
| 6961 | 1H30 | 0,59 | 1H30 | 0,55 | 7,5 |
| 6964 | 5H00 | 1,14 | 2H20 | 1,14 | 4,7 |
| 6966 | 3H40 | 3,62 | 4H00 | 0,92 | 8,3 |
| 7128 | 2H33 | 1,21 | 5H00 | 1,21 | 4,1 |
| 7129 | 6H00 | 1,08 | 2H20 | 1,08 | 5,0 |
| 7130 | 5H00 | 2,72 | 4H00 | 1,61 | 5,3 |
| 7131 | 3H00 | 2,70 | 4H00 | 2,27 | 9,4 |
| 7141 | 3H20 | 3,55 | 7H00 | 3,18 | 7,5 |

RESULTATS DES ESSAIS

| N° BIRH | Q | Q/S | TRANSMISSIVITÉ | | |
|---------|------|-------|---------------------|---------------------|--|
| | | | Abaissement | Remontée | |
| 5992 | 9,21 | 7,67 | $1,8 \cdot 10^{-3}$ | $1,3 \cdot 10^{-4}$ | |
| 6878 | 2,60 | 1,75 | | $6,6 \cdot 10^{-4}$ | |
| 6937 | 2,32 | 0,97 | | | |
| 6944 | 9,51 | 11,63 | | $8,4 \cdot 10^{-3}$ | |
| 6945 | 6,63 | 3,22 | | $1,5 \cdot 10^{-3}$ | |
| 6951 | 5,57 | 3,14 | | $6,5 \cdot 10^{-4}$ | |
| 6959 | 5,86 | 0,65 | | $4,5 \cdot 10^{-4}$ | |
| 6961 | 7,24 | 12,27 | $4,8 \cdot 10^{-3}$ | $5,4 \cdot 10^{-4}$ | |
| 6964 | 3,86 | 3,36 | $7,4 \cdot 10^{-4}$ | $6,0 \cdot 10^{-4}$ | |
| 6966 | 2,05 | 0,78 | | | |
| 7128 | 3,98 | 3,28 | | $9,0 \cdot 10^{-3}$ | |
| 7129 | 4,78 | 4,42 | $1,3 \cdot 10^{-3}$ | $1,0 \cdot 10^{-4}$ | |
| 7130 | 3,25 | 1,19 | | $4,5 \cdot 10^{-4}$ | |
| 7131 | 7,35 | 2,72 | | $7,9 \cdot 10^{-4}$ | |
| 7141 | 5,61 | 1,57 | | $6,6 \cdot 10^{-4}$ | |

D'après la formule de DURUIT :

$$Q = \frac{\pi}{L} K \frac{H^2 - h^2}{L} \left(\frac{R/r}{r} \right)$$

Q étant le débit du puits en m³/s

K le coefficient de perméabilité de Darcy en m/s

H la hauteur d'eau dans l'aquifère en m.

h la hauteur d'eau dans le puits par rapport au substratum imperméable.

R le rayon d'action en m

r le rayon du puits en m.

Mission,
Date.

552 ATM

2025 RELEASE UNDER E.O. 14176

卷之三

Interpretation

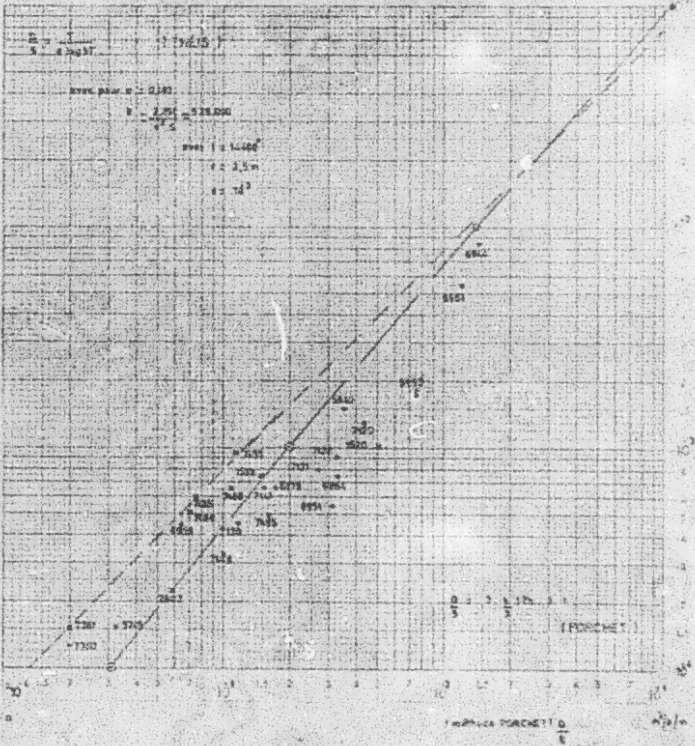
Annex A5

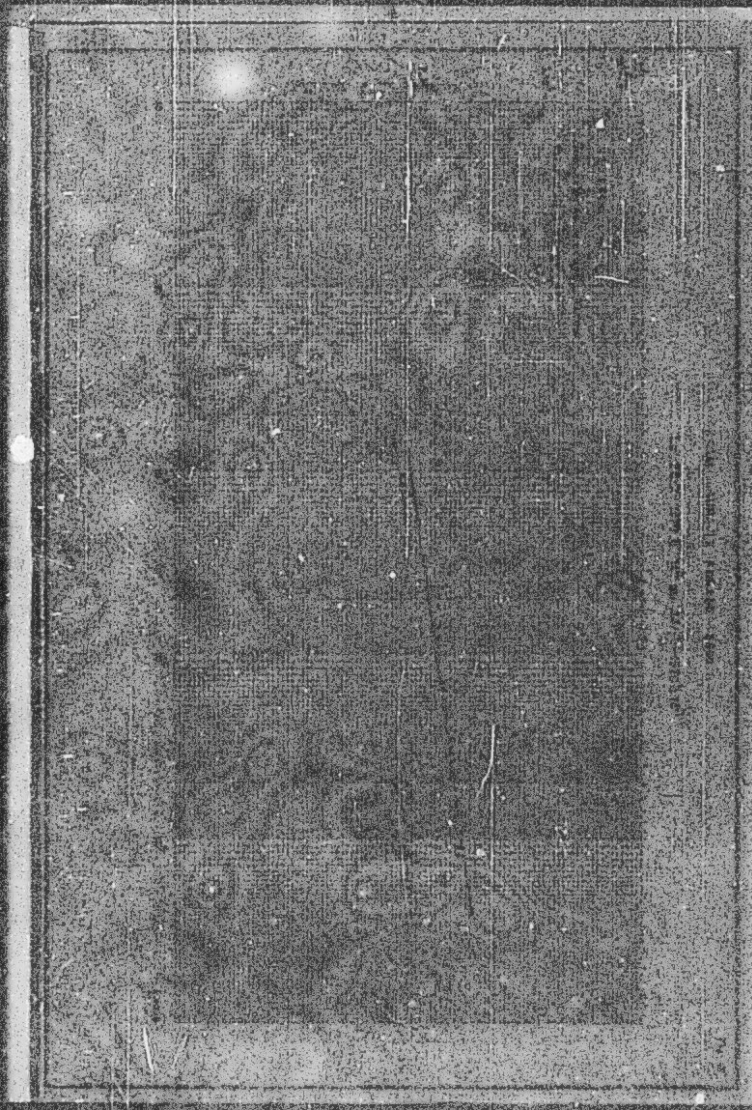
- Essais effectués en 1974
 - Autres essais effectués dans la plaine quaternaire de la haute vallée de la MEDJERDA

Some new authors

Côte d'ivoire

Conseil des fédérés





DISTRIBUTION DE LA LITTERATURE SUR LA GUERRE D'INDOCHINE

INSTITUT NATIONAL D'ETUDES ASIAATIQUES

Empiriquement, PORCHET a admis que :

$$L \frac{R}{r} = Cte = 4,651$$

$$\text{d'où } Q = \frac{2K}{3} (H^2 - h^2)$$

$$\text{Or } H^2 - h^2 = (2H - s)s, s \text{ étant le rabattement}$$

$$\text{d'où } Q = \frac{2K}{3} s (2H - s)$$

$$Q = \frac{2K}{3} (2H - s)$$

On voit que d'après PORCHET, dans l'hypothèse de puits captant tout l'aquifère jusqu'au substratum imperméable, ce qui est rarement le cas, le débit spécifique calculé selon cette méthode devrait être inférieur à $\frac{47}{3}$ représenté sur la figure 14 par la droite en pointillé.

On s'aperçoit ici que la méthode PORCHET a tendance à surestimer les débits spécifiques d'un aquifère.

Ceci est à rapprocher de la formule de THEIS où le débit spécifique est dans le cas de points d'eau similaires, (essai de même durée sur des puits de même rayon, même coefficient d'enchaînement) proportionnelle à la transmissivité.

Sur la figure 14, on a représenté la courbe théorique en tireté en prenant une durée moyenne des essais effectués de 4 heures, un rayon de 2,5 m et un coefficient d'enchaînement de l'ordre de 10^{-3} .

L'ensemble des essais effectués tant dans la plaine de THIBAR que dans la haute vallée de la MEDJERDA (Etude hydrogéologique et prospection électrique de la haute vallée de la MEDJERDA de la région du KGF el AGUED 1972-1974 - ANDRIEU ET TALBOT) montre bien la relation existante entre le débit spécifique calculé selon la méthode PORCHET et la transmissivité obtenue sur papier semi-logarithmique.

Sur le forage 6970/1 (voir coupe en annexe) un essai de longue durée a été effectué (Cf. essais de débits sur le forage THIBAR I - 1970 - THIBIER). Les données numériques de ce rapport ont permis le dépouillement de cet essai (fig. 15 et 16). La transmissivité est de l'ordre de $6,5 \text{ à } 9,1 \cdot 10^{-5} \text{ m}^2/\text{s}$.

D - TRAVAUX GÉOPHYSIQUES -

Ils ont consisté en la réalisation de 32 sondages électriques (SE dans le texte) suivant la méthode SCHUMBERGER, en longueur de ligne AB = 1000 m.

Leurs emplacements figurent sur la planche I. Ils ont été réalisés du 14 au 19 AVRIL 1974 par MM. OMAMUCHI et DALDOUL, Adjoints Techniques.

Le but de la prospection était l'étude des alluvions et éboulis contenant la nappe phréatique et éventuelle-^{ment} du substratum crétacé dont les calcaires Aturiens et turc-éomaniens peuvent constituer des objectifs aquifères.

Bien que le remplissage mio-plio-quaternaire se soit révélé stérile au forage 6970/1 dans la cuvette de la cuvette, il pourrait, par ailleurs, présenter des changements de faciès le rendant plus permeable, aussi la prospection a été étendue à l'Est, notamment dans la plage près de l'Oued THIBAR où le résidu sec est voisin de 1 g/l.

D1 - Résultats obtenus -D1.1 - Sondage électrique étalon sur le forage 6690/1 (fig. 17) -

On voit que le forage est resté à 172 m dans les formations argilo-sableuses du miocène dont le sondage électrique permet d'évaluer la résistivité à 13 ohm-m environ. Cette valeur est confirmée par le carottage électrique qui indique que la majorité des terrains traversés a une résistivité voisine de 10 ohm-m (argiles) et comporte des passes généralement minces dont la résistivité varie de 25 à 50 ohm-m (sables, galets).

La valeur déduite du SE est donc une valeur "moyenne" d'anisotropie.

Les résultats de l'essai de pompage sont en concordance avec la lithologie : 1,8 l/s pour 38,4 m de rabattement.

On voit également que le forage a été arrêté à proximité immédiate du substratum résistant provoquant la branche ascendante finale du diagramme.

Ce substratum dont on peut seulement dire que sa résistivité est supérieure à 40 ohm-m, peut débiter dans l'échancrure, le crétacé ou dans le trias qui, comme nous l'avons vu, comporte des fractions dolomitiques ou gréseuses.

Etant donnée son épaisseur et sa résistivité il constitue en principe un aquifère potentiel.

D1.2 - Les sondages électriques en périphérie -

Nous examinons d'abord le SE 4 (fig. 18) qui a été effectué sur les affleurements du Trias. Ce dernier apparaît en totalité résistant : sous une cinquantaine de mètres à 40 ohm-m se développe un épais marqueur dont la résistivité est de l'ordre de 100 ohm-m.

Le trias résistant peut donc au forage 6690 constituer le substratum du remplissage miocène. Du fait de sa résistivité on peut l'attribuer à des grès, des dolomies, mais aussi à des dépôts calcaires massifs. Ces derniers n'ont cependant pas été repérés aux affleurements et les résultats de l'essai PORCHER effectué sur le puits N° 6661/1 voisin du SE et creusé dans le trias : Q/S = 14,2 l/s/m et HS = 1,14 g/l, montrent que l'on a affaire à une formation perméable renfermant de l'eau douce. Il s'agit probablement de grès ou dolomies et le trias peut donc, localement au moins constituer un aquifère intéressant.

Dans la cuvette, la plupart des SE montrent la présence du substratum résistant (voir SE 3,9, 11 et 19 - fig. 19) dont la résistivité est souvent voisine de 60 - 100 ohm-m, comme au SE 4.

Bien qu'on ne puisse l'affirmer il semble d'après les résultats du SE étalon, et du SE 4, et du fait que la cuvette est pratiquement ceinturée par le trias que ce dernier constitue l'essentiel du substratum résistant. On remarquera qu'au SE 19 près du trias du Djebel SIDI MANDI le substratum résistant est situé à une dizaine de mètres à peine de la surface.

Mission THIBAR
Date APRIL 1979

S.E.

Forge

Fig. 17

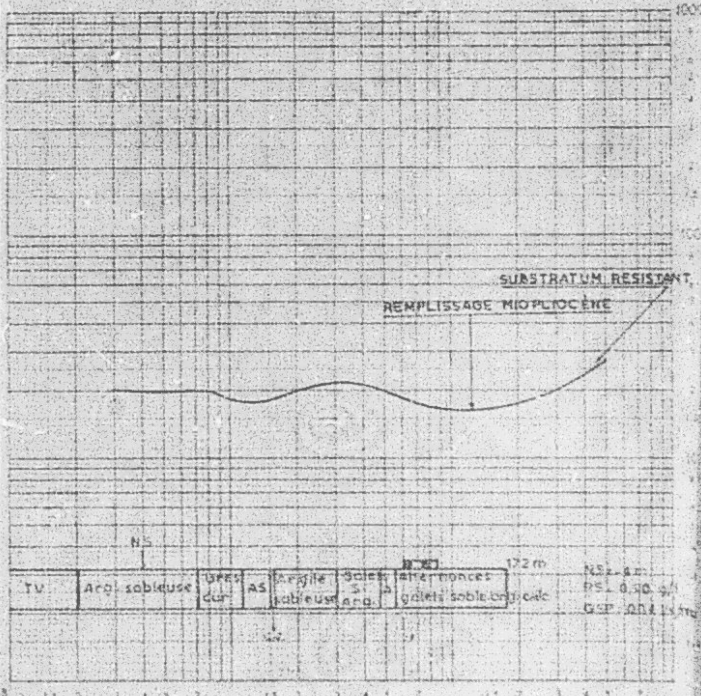
Interpretation

5-18 - Etalon sur le forage 3400/3

卷之三

Ente in tutela

Cause des tremblements



1000

Mission. THIBAR
Date AVRIL 1978

S.E.

Fig. 18

Forage

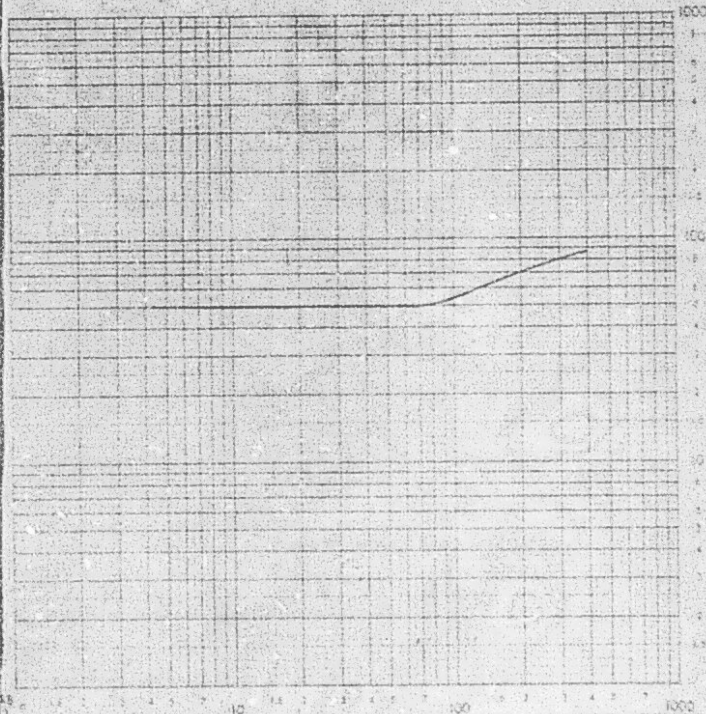
Interprétation

Aziéut de AB

Cote de surface

S.E. 4 sur Trias

Coupe des terrains



Mission THIBAR
Date AVRIL 1974

S.E.

Fig. 19

Forage

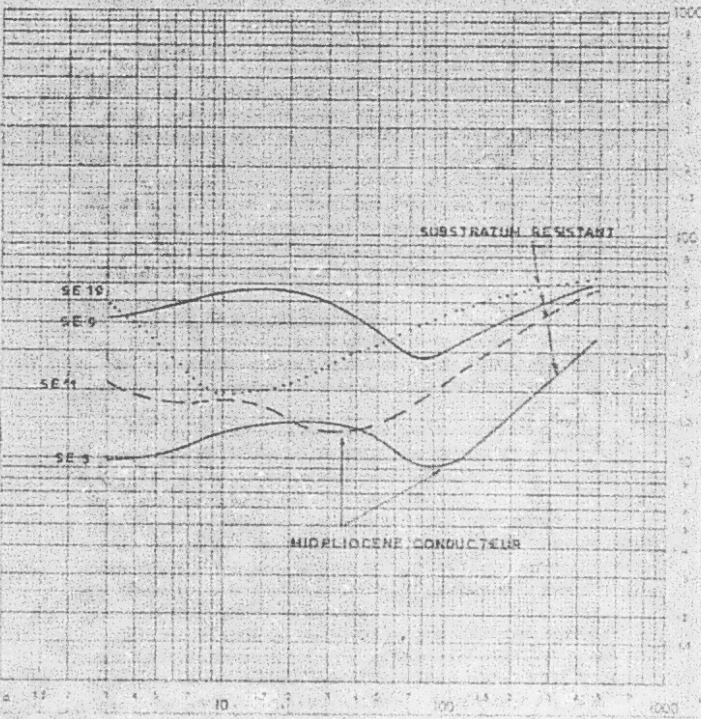
Interprétation

SE 3, 9, 11 et 19

Azimut de AS

Côte de surface

Coupe des terrains



Le remplissage mio-pliocène apparaît toujours comme essentiellement conducteur et sa résistivité peut être inférieure à 10 ohm·m (SE 3 - fig. 19). Si on admet que la salinité de la nappe est uniforme et voisine de celle mesurée au forage 6090/1 (0,8 g/l), il est donc en majorité argileux les valeurs les plus faibles correspondant à une proportion maximale d'argile.

L'imperméabilité du mio-pliocène (T voisin de 10^{-4} au forage 6090/1) paraît confirmée par la présence de très nombreuses sources, la nappe phréatique circulant préférentiellement dans la partie supérieure du remplissage probablement quaternaire (éboulis et alluvions) dont l'épaisseur très variable peut atteindre une cinquantaine de mètres (SE 12 et 13 - fig. 20). Sa résistivité comprise entre 30 et 50 ohm·m en moyenne indique qu'il s'agit d'une formation moins argileuse que le mio-pliocène sous-jacent.

En dehors de la cuvette : Les SE 20 à 25 inclus (fig. 21) sont caractérisés par l'absence du substratum résistant qui est ici trop profond pour influencer les diagrammes en longueur de ligne AB = 1000 m.

En conséquence le remplissage mio-pliocène devient ici très épais (puissance largement supérieure à 500 m) et, comme dans la cuvette, sa basse résistivité : 8 - 15 ohm·m traduit sa nature essentiellement argileuse.

On remarque également, comme par ailleurs, la présence du recouvrement résistant (alluvions probables) dont l'épaisseur atteint au maximum 40 m et la résistivité ne dépasse pas 50 ohm·m.

Compte tenu de la faible salinité de l'eau dans cette zone (1,5 g/l) ces alluvions ont probablement une nature sable-argileuse.

D1.3 - Carte des résistivités apparentes -

De ce qui précède il semble que dans toute la zone étudiée le mio-pliocène constitue un aquifère très médiocre et que seuls le recouvrement quaternaire (alluvions-éboulis) et le substratum résistant permet sa remontée intéressante.

En ce qui concerne le recouvrement les valeurs en courte longueur de ligne sont trop influencées par la partie superficielle sèche dont l'épaisseur est mal connue pour qu'une carte des résistivités apparentes soit représentative de son épaisseur ou de sa lithologie.

Par contre nous avons établi une carte des résistivités apparentes pour une longueur de ligne AB = 500 m destinée à étudier le substratum résistant (Pl. VII) Pour cette longueur de ligne les valeurs seront d'autant plus élevées que le substratum est proche de la surface et on aura ainsi une image de la topographie de ce dernier.

On voit en effet que les valeurs les plus élevées sont situées sur ou proche des affleurements du trias ; elles décroissent régulièrement vers le centre de la cuvette où semble exister une dépression d'axe NED-SUD passant par le forage 6090/1. (substratum atteint à 172 m de profondeur). L'aire résistant marque nettement que le trias du relief de SAINTE MARIE-MITTE se prolonge à faible profondeur vers le sud où il vient se rlier à celui du Djebel SIDI MAMDI. On pourrait donc avoir affaire à une émergence précocon-

Mission THIBAR
Date AVRIL 1974

S.E.

Fig. 20

Forage

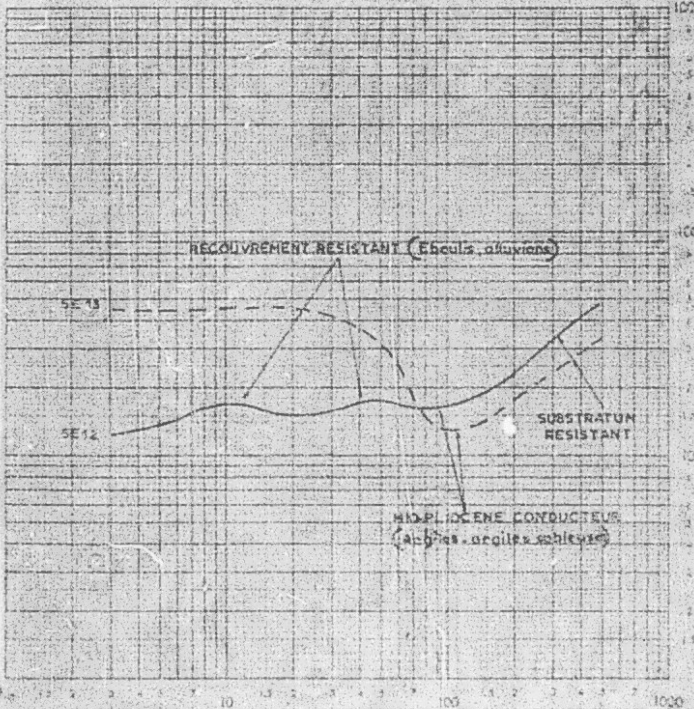
Interprétation

Azimut de AB

S-E 12 et 13

Côte de surface

Coupe des forages



Mission THIBAR
Date AVRIL 1972

S.E.
Forage

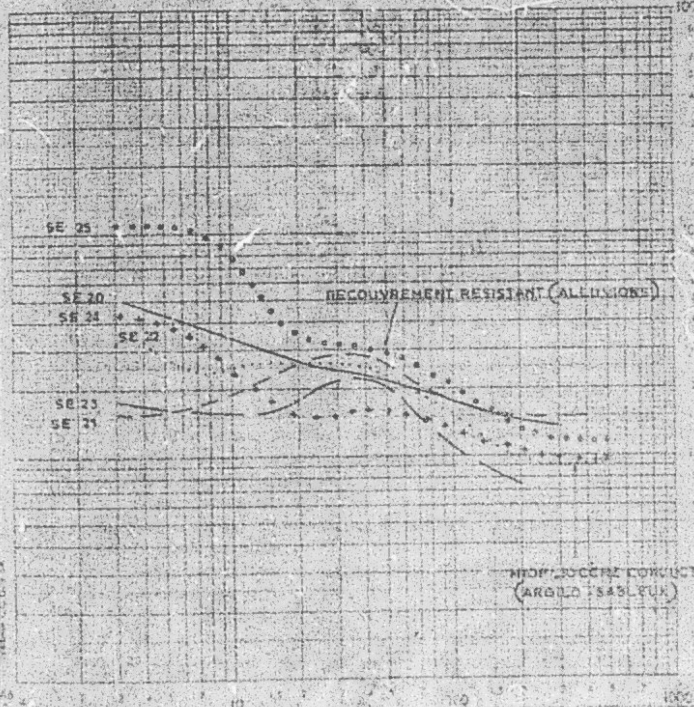
Interprétation

SE 20 21 22 23 24 et 25

Aziwet de Ab

Côte de marée

Coupe des terrains



tielle de trias dolomitique ou gréseux, venant plus ou moins parfaitement barrer à l'Ouest la cuvette de THIAR.

A l'Ouest de cet axe, entre les vallées des Oueds THIAR et MASGIL, où nous avons vu que le substratum résistant était rejeté à une profondeur dépassant 500 m, les valeurs de la résistivité apparente sont en conséquence très faibles et voisines de la résistivité vraie du mio-pliocène.

Cet axe est donc nettement en évidence dans la zone étudiée les deux unités séparées par une remontée du trias résistant.

1 - La cuvette de THIAR avec deux aquifères : le recouvrement quaternaire et le substratum résistant correspondant probablement au trias.

2 - A l'Ouest la plaine alluviale où le mio-pliocène argileux devient très épais et où le seul aquifère est représenté par les alluvions.

NOTA - Bien que d'après les résultats du forage 6090/1 et les basses résistivités de mio-pliocène nous ayons considéré ce dernier comme un aquifère intéressant, il peut cependant comporter des passages grossiers relativement productifs mais non décelables par la prospection.

D1.4 - Coupes électriques -

En nous aidant des résultats des SE échelons et paramétriques, mais le plus souvent en faisant des hypothèses sur les résistivités vraies des différentes marques nous avons dessiné les coupes représentées sur la planche VIII.

Les coupes 1, 2 et 6 montrent que le substratum résistant vient se recouvrir normalement aux affleurements du trias, notamment celui de l'ancienne SAINTE MARIE-AITA - Djebel SIDI MANDI. On remarque que le substratum présente généralement des résistivités élevées pouvant atteindre 100 ohm.m, sauf aux SE 14, 15, 16, 27 et 32 où sa résistivité varie entre 10 et 30 ohm.m.

Ces SE se groupent en 2 zones que nous avons reportées sur la carte des résistivités apparentes où on observe très bien le surcroît d'influence de la basse résistivité du substratum.

La première zone (SE 14, 15, 32) se situe au sud de l'axe de la cuvette, la deuxième (SE 16, 27) au voisinage de la dépression du lit du trias au Nord de Djebel SIDI MANDI.

On peut, étant donné la position de ces sondes expliquer l'existence de telles valeurs par :

- 1^e) - un changement de faciès du trias.
- 2^e) - la présence en lit de ce dernier d'un nouveau marqueur dont il est difficile de préciser l'âge : étant donné sa résistivité on peut seulement l'attribuer soit à des sables d'érosion ou crétacés soit au remplissage mio-pliocène.

On remarquera que ce dernier qui présente sur toutes les coupes une résistivité ne dépassant pas 13 ohm-m, apparaît aux SE 25 et 18 avec une résistivité de 20 - 25 ohm-m, donc voisine de celle du substratum moins résistant. Ces deux SE sont situées entre les deux zones définies plus haut et si l'on s'agit du mio-pliocène on voit, qu'il existerait une deuxième dépression perpendiculaire à la première, l'épaisseur du mio-pliocène étant très importante aux SE 14, 15 et 32. Cette dépression recouvrant l'assurance SAINTE-MARGUERITE - Djebel SIDI HAMDI pourrait se poursuivre à l'Ouest (SE 22, 23, 24).

Les coupes 2, 3 et 4 montrent dans leur terminaison Ouest l'existence d'une discontinuité électrique D qui est très nette et marque probablement la présence d'un accident à relief très important qui affecte le substratum et à l'Ouest de laquelle l'épaisseur du mio-pliocène est considérable.

Les coupes 1 et 6 mettent nettement en évidence la forme de la cuvette mio-plio-quaternaire de THIMIR, bordée à l'Ouest par le trame résistant de SAINTE-MARGUERITE.

Le mio-pliocène : comme nous l'avons vu est essentiellement conducteur (5-13 ohm-m), ce qui traduit sa nature à majorité argileuse. S'il s'agit bien de cette formation il pourrait cependant se révéler plus intéressant qu'au forage 6990/1 aux SE 18 et 25 et plus généralement dans la dépression transversale (substratum peu résistant).

Le recouvrement : généralement peu épais, excepté en partie (SE 32 et 15) ne semble pas présenter un intérêt aquifère considérable.

De toute façon la trop grande mille des SE n'en permet pas une étude efficace.

D1.5 - Carte des résultats -

Nous avons reporté les principaux renseignements de la carte de résistivité et des coupes électriques: axes résistant et conducteur, dépression EST-OUEST, accident D auxquels nous avons ajouté les courbes de niveau du toit du substratum résistant déduites des coupes électriques (carte IX).

La carte du toit du substratum résistant montre que la cuvette principale est limitée à la partie NORD-EST de l'étude et semble centrée sur le forage 6990/1. L'axe conducteur de la carte de résistivité apparente est donc d'essentiellement dans sa partie sud à la présence du substratum moins résistant des SE 14, 15 et 32.

Par contre la dépression EST-OUEST est bien marquée ici par les courtes de niveau et pourrait donc être plus accusée si même une partie seulement du substratum moins résistant appartient au mio-pliocène.

L'axe résistant correspond bien à une structure d'allure anticlinale du trame résistant; le raccordement des affleurements de SAINTE-MARGUERITE et de celui du Djebel SIDI HAMDI est ici mal visible car il est découpé par la dépression est-ouest. On remarquera que cette dernière est installée sur un faisceau de cassures parallèles dont la résultante a vraisemblablement un rôle d'affaiblissement.

L'accident B, dont le rejet vertical est supérieur à 500 m affecte une allure sub-rectiligne. On remarquera qu'il correspond à la prolongation de la faille mentionnée plus au sud sur la carte géologique de la TUNISIE au 1/500.000 (CASTANY). Sur le terrain, c'est justement dans cette zone que le débit de l'Oued THIBAR augmente créant des marécages.

E - ELEMENTS DE BILAN -

E1 - Ressources dynamiques -

La formule de BARTY permet de calculer sur une section choisie les ressources dynamiques. Le calcul a été fait en aval de l'Herchir THIBAR sauf que la nappe alimente franchement l'Oued THIBAR (isopilote 300). Le même calcul a été refait bien en aval sur l'isopilote 150 en étiage.

Les éléments et les résultats de calcul sont résumés dans le tableau suivant :

| | T en m ² /s | 1 | 1 en % | Ressources dynamiques en 1/s : 10 ⁶ m ³ /an |
|---------------|------------------------|--------|---------------------|--|
| Isopilote 300 | | | | |
| rive gauche | $1,0 \cdot 10^{-3}$ | 0,06 | $2 \cdot 10^{-3}$ | 120 |
| rive droite | $0,4 \cdot 10^{-3}$ | 0,02 | $1,7 \cdot 10^{-3}$ | 13,4 |
| | | | | 133,4 |
| | | 1 | | 4,24 |
| Isopilote 150 | | | | |
| El Menzha | $1,8 \cdot 10^{-3}$ | 0,0095 | $4 \cdot 10^{-3}$ | 61,2 |
| Djebel | $0,8 \cdot 10^{-3}$ | 0,02 | $3,3 \cdot 10^{-3}$ | 52,8 |
| Oued Thibar | $0,7 \cdot 10^{-3}$ | 0,007 | $2,7 \cdot 10^{-3}$ | 11,2 |
| | | | | 125,2 |
| | | 1 | | 3,94 |

E2 - Alimentation -

On doit considérer à part l'alimentation des calcaires karstiques laquelle est constituée par l'infiltration de l'eau de pluie.

E2.1 - Alimentation des calcaires -

Dans le cas nous intéressent, auront pratiquement débordé presque sans sol, toute l'eau s'infiltra, la seule reprise étant l'évaporation de l'eau humectant la partie tout à fait supérieure des fissures.

Il va de soi que plus les pluies sont intenses, moins la reprise par évapotranspiration sera grande (pluviométrie = 616 mm en 95 jours de pluie par an à THIBAR). Par ailleurs une longue saison sèche comme c'est le cas ne peut que diminuer l'évapotranspiration journalière moyenne.

Pour le Djebel BOUDA, on ne peut calculer l'infiltration, de nombreux sources apparaissent autour de ce Djebel. On tentera une estimation par la méthode des chlorures.

En effet $\frac{\text{Capacité d'eau infiltrée}}{\text{Pluvialité}} = \frac{\text{Concentration en chlore de l'eau de nappe}}{\text{Concentration en chlore de l'eau de nappe}}$

$$\text{Coefficient d'alimentation} = \frac{(a) pluie}{(a) nappe}$$

les teneurs en chlore étant exprimées en mg/l : $i = \frac{0,62}{0,5} = 25\%$

Ce coefficient peut être pris comme un coefficient moyen. Il peut en effet varier de manière au contraire selon les années et même selon les mois.

Nous avons pu préliminairement chiffrer les réserves des calcaires karstiques à environ 810.000 mètres cubes. (calculées grâce aux données de l'hydrographie 1969 du Mai à Septembre 1969).

Or durant cette année (de Septembre 1968 à Août 1969) la pluviométrie a été déficiente : 423 mm à THILLY. On peut estimer la pluviométrie tombée sur le Djebel GOUAI (superficie = 12 km²) à environ 500 mm.

L'alimentation de la nappe karstique est alors de l'ordre de :

$$12.10^6 \times 0,5 \times 0,25 = 1,5.10^6 \text{ m}^3$$

En année moyenne, il tombe sur le Djebel GOUAI plus de 700 mm de pluie fourvoyant à la nappe 2,1.10⁶ mètres par an. Du fait même de la structure du calcaire, du fait surtout de la concentration dans le temps des pluies, un tel volume ne pourra que difficilement être retenu et on pourra observer en toutes cases l'apparition de nouvelles sources à la côte 670 environ au bout de la faille calcaire.

2.2 - Alimentation de l'ensemble de la zone étudiée jusqu'à l'implante 150-

Le débordement moyen annuel est donné par la formule approche :

$$R = \frac{P}{\sqrt{P + E}} - Z$$

On s'est tenu au 1er terme du développement pour n = 3 et E = 1.

$$R = \frac{P}{3} = \frac{1.041}{3} = 0,347 \text{ m}$$

ce qui représente un débordement moyen annuel de 2,1.10⁶ mètres cubes.

Ceci peut être plus exactement vérifié par les jaugeages effectués durant l'année de référence (1968/69). Il s'est en effet écouté tout le long de la rivière BOUILLIE (station 1224/1 sur l'Orne THILLY) 638/23 m entre le 1er Septembre 1968 et le 1er Juillet 1969. Tous les autres cours d'eau étudiés ont depuis débordé dans la plaine de la BOUILLIE et se perdent au fond des grottes sous la partie tempérée 150.

Si on prend pour ce seul de l'Orne THILLY, il faut rajouter les deux premières périodes d'overflowées en juillet. La partie du courant et de la rivière BOUILLIE qui a en effet subi l'isterisation de juillet 1968/69 est tout court, soit 1,4.10⁶ m³, on peut accepter les prises d'eau de l'Orne THILLY. Il ne suffit pas, à notre avis, que ce n'est pas nécessairement précis.

Les prélèvements par pompage d'eau : les taux sont modifiés et peuvent être chiffrés à environ $0,6 \cdot 10^6 \text{ m}^3/\text{an}$.

| APPRI | PENTIS |
|---|--|
| Infiltration dans les calcaires ($\lambda=25\%$) | Ecoulement superficiel $1,5 \cdot 10^6 \text{ m}^3/\text{an}$ |
| Infiltration dans les alluvions et les éboulis ($\lambda=10\%$) | Ecoulement souterrain $5,0 \cdot 10^6 \text{ m}^3/\text{an}$ |
| | Prélèvement sur les eaux superficielles $1,4 \cdot 10^6 \text{ m}^3/\text{an}$ |
| | Prélèvement sur les eaux souterraines $0,6 \cdot 10^6 \text{ m}^3/\text{an}$ |
| | $6,5 \cdot 10^6 \text{ m}^3/\text{an}$ |
| | |
| | |
| | |

Le bilan est ici équilibré.

2.3 - Alimentation de la cuvette de THIAR -

En considérant que la majeure partie des eaux alimentant le Djebel GOUA ainsi que celles s'infiltrant sur son piémont et dans la cuvette de THIAR, se retrouvent dans la nappe alluviale (superficie des éboulis et des alluvions : 35 km²) on peut estimer les ressources provenant de l'alimentation par la pluviométrie à environ 3 millions de mètres cubes. Or l'écoulement, pour l'année de référence choisie, semble être nettement supérieur.

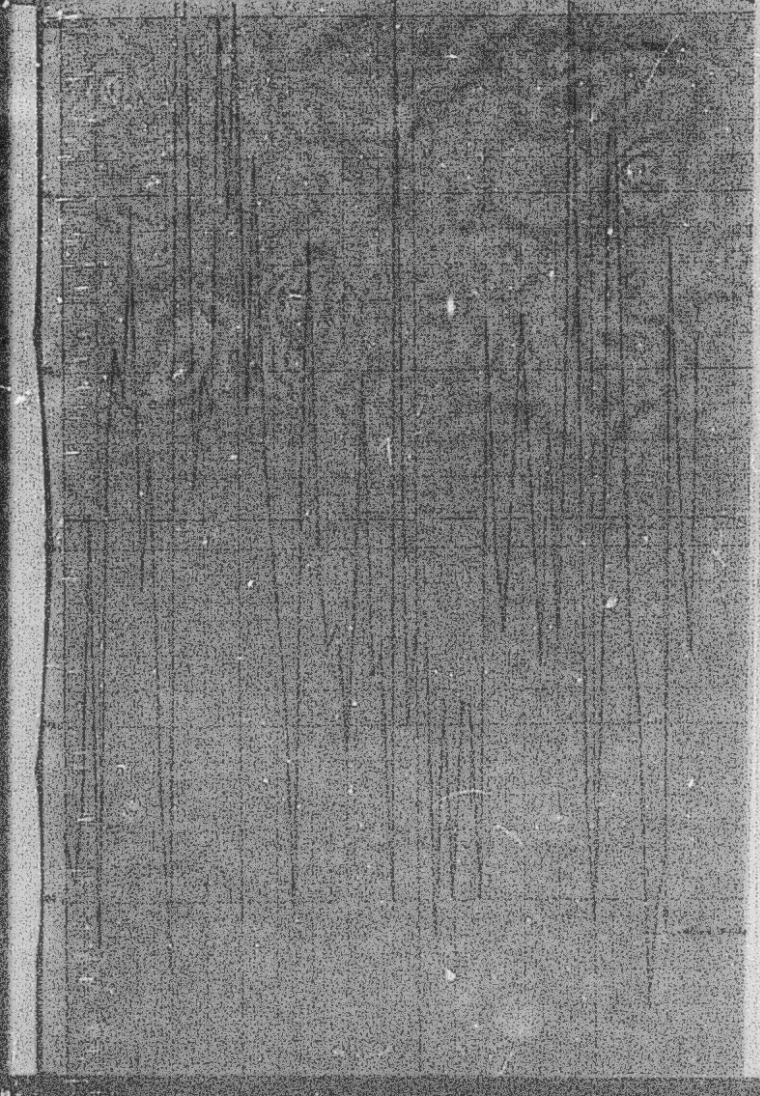
Deux hypothèses sont à émettre :

- infiltration plus importante dans la zone étudiée : Djebel GOUA, son piémont et cuvette de THIAR.
- possibilité d'apport des nappes karstiques (cénomanien et sénonian) ou bien du substratum triasique, (tous les puits de THIAR près des affleurements du trias sont en réalité des sources captées et ce à une côte de 360 m.).

Nous avons représenté ci-contre la pluviométrie observée depuis le début de siècle jusqu'à aujourd'hui que l'année d'étude se situe après quatre années fréquemment déficitaires. (Fig. 22).

Dans de telles conditions, on pourrait douter d'un apport des nappes karstiques et du substratum triasique. Remarquons toutefois que la moyenne 1910/1 sur le flanc Est du Djebel GOUA provenant des calcaires nomanie n'a jamais tari (apport de 530 m³).

| | J | F | M | A | M | J | J | S | A | S | O | N | D |
|------|-----|---|------|------|------|-----|------|-----|-----|-----|------|-----|-----|
| 1968 | - | - | 15,7 | 4,2 | - | 3,0 | 2,4 | - | 0,9 | 0,6 | 0,6 | 2,6 | - |
| 1969 | - | - | 16,1 | 13,4 | - | 6,5 | 4,6 | - | 2,5 | - | 35,5 | - | - |
| 1970 | - | - | 30 | 10,6 | 12 | 6,3 | 9 | 3,6 | - | - | - | - | - |
| 1971 | - | - | 22,1 | 14,7 | - | 6,7 | 7,8 | 5,1 | 6,0 | 4,2 | - | - | - |
| 1972 | 4,2 | 4 | 3,7 | 4,3 | 26 | 17 | 8 | 6 | - | 7,5 | 7,0 | 9,3 | - |
| 1973 | - | - | 7,0 | 5,2 | 30,5 | - | 12,3 | - | 8,9 | - | - | - | 9,6 |



Sur la flanc Nord-Ouest du Djebel CORAA, ces calcaires peuvent donc alimenter les grottes. On ne connaît malheureusement pas les caractéristiques des calcaires étudiés qui sont en contact avec le trach et peuvent de ce fait l'alimenter directement.

On voit dès lors l'importance de reconnaître le substratum afin d'estimer son potentiel aquifère.

7 - RECHERCHEES -

Sur les prises d'eau directes dans l'Oued THIBAR, les prélevements par pompage sont évalués dans la région étudiée à $0,6 \cdot 10^6$ m³/an.

Les prélevements par pompage pourraient être sensiblement augmenté dans la mesure où de nombreux puits seraient crevés.

Dans la cuvette de THIBAR proprement dite, avec la remontée du substratum calcaire près de Sta. MARIE et du Djebel SIDI MANSI, le nombre des puits pourrait être doublé (création de huit puits espacés l'un de l'autre d'environ 500 mètres).

Les cartes de salinité et de profondeurs du plan d'eau permettent de déterminer les sites où devraient être entrepris de nouveaux puits, en particulier autour du lac THIBAR, près de la crête ferrée et entre la GP N° 66 et l'Oued THIBAR avant l'Hocchir et BOUHKS.

8 - PROSPECTION ELECTRIQUE D'ENDEK -

La prospection électrique réalisée nous a indiqué que du point de vue hydrologique, nous avons en présence :

- un substratum récent dont on peut au moins affirmer qu'il appartient au trach sur les bordures de la cuvette.
- un remplissage cal-plastique généralement argileux surtout dans la partie supérieure.
- un recouvrement piézométrique (fauilles, alluvions) peu épais mais probablement plus perméable que le cal-plastique.

Dans la cuvette de THIBAR, la carte géoelectrique montre que l'écoulement principal de la nappe journalière est dirigé d'Est en Ouest, et il en est probablement de même pour le niveau cal-plastique. Si l'écoulement peut se faire librement dans la dépression du lac du Djebel SIDI MANSI, il n'en est pas de même au Nord-Est où les aquifères sont barrés par le trach du djebel SAINTE MAGDEURITE.

Si le trach, comme on peut le penser, est dolomitique ou gréseux et non couvert par la formation alluviale, il peut constituer une réserve et même une source de trach des eaux cal-plastiques et assurer de l'eau relativement douce comme au puits BOUFI (1,14 mg/l), puisque riche sur le trach avec le dolomite dolomique (2,4 mg/l).

Il y a donc lieu soit à tester par forage le trach du flanc Est de l'oued THIBAR ou à l'exploiter.

Dans l'hypothèse où ce trias aurait seulement un effet de barrage, il conviendrait, si possible après reconnaissance du substratum peu résistant, de se placer dans l'axe de la dépression est-ouest, à l'Est de l'accident 3, le mio-pliocène argileux de la partie effectrice provoquant également un effet de barrage pour la nappe du substratum.

Le captage des sources 2309/3 et 2310/3 est en cours. La prise des eaux à un niveau nettement inférieur permettrait de creuser une tranchée de calcaire supplémentaire et d'augmenter par là même le rayon d'influence de ces sources. Si cette option, le Service Hydrologie devrait installer un moyen commun de mesures (déversoir PASCALL par exemple) afin de permettre aux équipes D.R.E de les contrôler.

Si dans le cas des sources précitées, on ne peut agir sur l'épaisseur n'ayant pas les moyens de régulariser les débits, il n'en est pas de même des sources émergées des calcaires sturiens captifs. Il y aura donc lieu de surveiller et de tester le forage programmé dans le massif du BOU-TOUIL par la SOTENI.

CONCLUSION -

La prospection électrique a permis d'avoir une image de la forme de la cuvette de TRIBAH où le mio-pliocène de nature très argileuse repose sur un substratum résistant, présent dans toute la cuvette à des profondeurs n'excédant que rarement 150 m et, que l'on peut attribuer au trias. Ce dernier sous forme d'une émergence d'allure anticlinale venant se raccorder au Sud au Djebel Sidi-WANDI assure la fermeture Ouest de la cuvette. Étant donné sa résistivité élevée, atteignant 100 ohm-m, le trias (si l'on écarte la présence de gypse ou d'anhydrite) peut donc être constitué par des grès et des dolomies calcaires dans les affleurements à l'est de l'étude et se révéler permeable.

Alimenté par les nappes douces du mio-pliocénien il pourrait jouer un rôle de drain efficace notamment dans le relief de SAINTE-MARGUERITE et y être testé par forage.

Au Nord du Djebel Sidi-WANDI, un réseau de cassures semble avoir provoqué un effondrement du trias sur lequel est installé une dépression d'axe est-ouest et où le substratum, moins résistant que par ailleurs, pourrait correspondre soit à des sables calcaires ou crétacés, soit à un mio-pliocène plus gréseux que dans le reste du plateau.

La présence d'un accident Norti-Fidj dont le rejet est supérieur à 500 m offrirait le compartiment ouest provoquant un effet de barrage pour la nappe du substratum qui pourrait être testée juste en amont de la faille dans l'axe de la dépression.

A partir des caractéristiques hydrauliques des aquifères, nous avons pu établir que plus de 4 millions de litres cubes transitent par la nappe alluvionnaire. Seule l'alimentation de cette nappe intervient un million et demi de mètres cubes provenant des calcaires lutitiques du Djebel CORAH. La position perçue de ces calcaires nous interdit d'agir efficacement sur l'épaisseur de la nappe qu'ils contiennent.

Le débit d'exploitation des sources 2309/3 et 2310/3 en cours de captage est fixé par l'étiage et est de l'ordre de 500.000 mètres cubes/an, soit environ 16 l/s, débit nettement supérieur au débit de pointe nécessaire pour l'alimentation en eau potable du Village de THIBAR pendant les dix prochaines années. Le fait que les données de base n'aient été rassemblées qu'autant l'année 1968-69 année fortement déficitaire, nous permet d'avancer ces chiffres avec un large coefficient de sécurité.

La grande incertitude reste le substratum probablement triasique dont les caractéristiques hydrauliques ne pourront être définies qu'après les forages de reconnaissance programmés. Dans l'état actuel de l'étude, en résistivité élevée, une alimentation importante en font un objectif aquifère.

L'Ingénieur Géophysicien

L'Ingénieur Hydrogéologue

M. ANDRIEU

A. TALBOT

BIBLIOGRAPHIE

- Domaine de THIAR — Recherche Hydrogéologique — 1966 — AGMI
- Etude hydrogéologique et prospection électrique de la huile valide de la MEDJOURA — 1972 — ANDRIEU et TALBOT
- Etude hydrogéologique préliminaire et prospection électrique de la région du KEF el AGHAD — 1974 — ANDRIEU et TALBOT
- Dispersions tritiques et phasages organogéniques dans les nautis de TESSOURON — 1980
BOLZE.
- Rapport de nivellement des points d'eau de la région de THIAR — 1969 — BOU KADAIK.
- Note préliminaire sur l'alimentation en eau des Unités Compétitives de production de Ouled el Atid — Ridi Issaï — Zemzama — 1967 — GANET —
- Note : essais de débits sur le forage THIAR I — 6290/1 — 1970 — TRASSIER —
- Plaine du Krib, de Kled El Gherfa et de Teboursek — Etude hydrogéologique préliminaire — 1967 — ZERBOU —

| HORS DES PROPRIÉTAIRES | N° B.I.R.H | H | h | 4 | 5 | 8.8 g/l |
|---|------------|-------|-------|---------|------|------------|
| Ferme Drou (Medjerda 3) | 415/1 | 2,71 | 0,70 | 1,60 | 0,90 | - |
| Allala Bel Hadj Touhami | 544/1 | 5,96 | 3,05 | 3,00 | 1,10 | 1,8 |
| Hadji Arbi Touhami | 545/1 | 6,36 | 2,35 | 3,40 | 0,40 | 1,6 |
| Bir Bellcum | 546/1 | 6,89 | 2,05 | 3,00 | 0,40 | 1,3 |
| Puits de l'Etat (O.T.D) | 2341/1 | 6,09 | 4,02 | 2,75 | 0,75 | 3,1 |
| Aïnis Ben Maktar Tounsi | 2329/1 | 3,41 | 2,75 | 4,00 | 0,50 | 1,6 |
| École Primaire d'El Mardja | 3614/1 | 5,14 | 1,73 | 1,20 | 0,80 | 2,77 |
| Puits de l'Etat (Merdja 4) | 4770/1 | 3,74 | 7,05 | 2,20 | 0,80 | 2,6 |
| Puits du domaine de Thibar | 5273/1 | 7,32 | 1,17 | 2,00 | 0,80 | 0,70 |
| Puits du domaine de Thiber | 5274/1 | 4,68 | 1,56 | 1,70 | T.N. | 3,80 |
| Mustapha Ayadi | 5630/1 | 3,67 | 6,54 | 5,00 | 0,64 | 0,90 |
| Belgacem Ben Taïeb Ben Amor | 5677/1 | 4,41 | 2,30 | 3,00 | T.N. | - |
| Ali Ben Hajida Labidi | 5681/1 | 4,31 | 3,35 | 5,30 | 0,80 | 2,25 |
| Zine Bent Youssef | 5682/1 | 2,91 | 2,60 | 4,20 | T.N. | 3,62 |
| Amara Ben Belgacem | 5683/1 | 3,40 | 2,00 | 3,20 | 0,40 | 2,99 |
| Séritiers Ben Djemâd Ben Ali | 5684/1 | 4,31 | 0,80 | 3,50 | T.N. | 7,97 |
| Puits de l'Etat | 5685/1 | 1,20 | 1,20 | 0,3x0,7 | 0,20 | 4,15 |
| Bir Fadhloun | 5772/1 | 10,29 | 0,05 | 3,00 | 0,95 | 3,00 |
| Bir Laroussi | 5775/1 | 10,14 | 5,60 | 2,30 | 0,90 | 1,84 |
| Puits de l'école d'Agriculture d'El Mardja | 5992/1 | 4,53 | 2,24 | 4,50 | 1,10 | 1,70 |
| " " " | 5993/1 | 5,92 | 2,16 | 3,50 | 0,60 | 2,77 |
| C.F.P (Merdja 1) | 6075/1 | 4,61 | 4,00 | 4,00 | 1,99 | 1,21 |
| " " | 6076/1 | 4,76 | 5,65 | 4,00 | 0,65 | 7,25 |
| Puits de l'Etat (O.T.D) | 6078/1 | 5,51 | 4, | 4,00 | 0,30 | 1,94 |
| Ferme Saint-Pierre | 6079/1 | 3,60 | 2,70 | 2,40 | 0,60 | 1,56 |
| Bir Tounkria | 6080/1 | 5,41 | 0,70 | 2,50 | 0,50 | 1,31 |
| Youssef B.Mostab Ben Hafsi | 6083/1 | 1,24 | 0,70 | 2,40 | 0,50 | 1,25 |
| Jebbar Ben Hafsi | 6084/1 | 1,14 | 0,60 | 2,00 | T.N. | 1,31 |
| Kaddour Ben Ali | 6086/1 | 11,24 | 2,60 | 2,20 | 0,35 | 1,07 |
| Bir Cheik Ahmed | 6091/1 | 7,14 | 3,00 | 2,60 | 0,60 | 1,05 |
| Hammouda Ben Othman | 6090/1 | 25,71 | 0,10 | 2,70 | T.N. | 0,82 |
| Mustafa Aissa Ben Youssef | 6093/1 | 15,24 | 12,40 | 1,70 | 0,75 | 1,98 |
| Moulli Ben Belgacem | 6095/1 | 2,23 | 1,52 | 4,00 | 2,5 | 1,80 |
| Khaled Khoumachi | 6097/1 | 2,60 | 5,60 | 5,00 | T.N. | 0,70 |

R.S
c/1

OBSERVATIONS

- Puits abandonné depuis longtemps dégagant une mauvaise odeur.
- 1,34 Puits en bon état équipé d'un moteur diesel de 9CV, utilisé pour l'irrigation.
- 1,52 " " " " " " " "
- 1,34 Puits en bon état équipé d'un moteur gaz-oil de 3CV, utilisé pour l'alimentation humaine et pour l'irrigation.
- 3,15 Puits très ancien abandonné.
- 1,65 Puits en bon état, équipé d'un moteur gaz-oil de 9CV, et destiné à l'irrigation de Sha
- 2,72 Puits maçonné en bon état, alimente l'Ecole
- 2,63 Puits maçonné, équipé d'un groupe moto-pompe de 5CV utilisé pour l'alimentation animale
- 0,75 Puits très ancien équipé de deux moteurs électriques alimentant le village (302,12 m)
- 3,80 Puits maçonné, couvert d'une dalle, débitant continuellement 0,5 l/s et s'écoulant du puits par un fossé creusé à hauteur du niveau d'eau et descendant par gravité dans un bassin, l'eau est destinée, uniquement pour l'irrigation.
- 0,96 Puits partiellement maçonné, équipé d'un moteur diesel de 6 CV et destiné à l'irrigation de 3 Ha. (166,76 m).
- Puits abandonné.
- 2,25 Puits abandonné.
- 3,62 Puits maçonné, équipé d'un moteur gaz-oil de 6CV, utilisé pour l'irrigation.
- 2,99 " " " " " " " "
- 7,21 Puits abandonné
- 4,15 Puits maçonné, utilisé uniquement pour l'alimentation animale.
- 3,06 Puits en bon état, destiné à alimenter les douars environnants.
- 1,34 Puits en bon état, utilisé pour l'alimentation des douars environnants.
- 1,70 Puits en bon état équipé de 2 moteurs électriques dont l'un est utilisé pour le remplissage d'un réservoir de 20m³, alimentant l'école et l'autre pour l'irrigation de Ha
- 2,37 Puits en excellent état, équipé d'un moteur diesel de 6CV utilisé pour l'irrig. de 4Ha
- 1,21 Puits maçonné et abandonné.
- 7,25 " " " "
- 1,94 Puits en bon état, équipé d'un moteur elect. utilisé pour l'alimentation H et A.
- 1,36 Puits en bon état, équipé d'un moteur 6CV gaz-oil utilisé pour l'Alic. et l'irrigation.
- 1,31 Puits maçonné, utilisé pour l'alimentation des douars environnants.
- 1,23 Puits maçonné utilisé pour l'alimentation des douars environnants.
- 1,31 Trou d'eau utilisé pour l'alimentation animale.
- 1,07 Puits maçonné, utilisé pour l'alimentation humaine et animale.
- 1,05 Puits en bon état, utilisé pour l'alimentation humaine et animale.
- 0,82 " " " " " " " "
- 1,58 " " " " " " " "
- 1,80 Puits non maçonné en mauvais état (équipé d'un moteur diesel) utilisé pour l'alimentation humaine et animale (262,18 m)
- 0,70 Puits en excellent état, équipé d'un moteur diesel de 6CV, destiné pour l'irrig. (240,71)

| NOIR DES PROPRIÉTAIRES | N° B.I.E.H | | | | | | | E.S m ³ /h |
|------------------------------------|------------|-------|-------|------|------|------|--|--------------------------|
| Rachid Ben Mahmoud | 6938/1 | 10,05 | 0,53 | 1,50 | 0,20 | 1,60 | | |
| Sadek Ben Aleya | 6939/1 | 26,83 | 2,36 | 2,00 | 0,50 | 2,00 | | |
| Puits Public (Bilik) | 6940/1 | 16,18 | 0,36 | 2,00 | 0,23 | - | | |
| Puits de l'Etat | 6941/1 | 37,04 | 0,15 | 3,00 | 0,79 | 1,39 | | |
| Puits de la Coopérative (Merdja 5) | 6942/1 | 27,15 | 2,96 | 1,40 | 0,77 | 1,25 | | |
| Salah Ben Toumes | 6943/1 | 9,53 | 0,15 | 3,00 | 0,32 | - | | |
| Puits du domaine de Thibar | 6944/1 | 5,78 | 4,52 | 7,00 | 0,75 | 0,54 | | |
| " " " | 6945/1 | 4,25 | 6,51 | 6,75 | 0,95 | 0,59 | | |
| Coopérative de l'Oued Thibar | 6946/1 | 10,57 | 0,45 | 1,50 | 0,15 | 1,00 | | |
| Rabah El Khiari | 6950/1 | 2,42 | 1,15 | 2,50 | 0,40 | 1,90 | | |
| Hassouna Ben Mohamed | 6951/1 | 6,82 | 2,79 | 5,00 | 0,40 | 1,32 | | |
| Hassouna Bel Hajj Younes | 6952/1 | 6,50 | 5,95 | 2,50 | T.N. | 1,45 | | |
| Ali Ben Ahmed Bou Malha | 6953/1 | 5,30 | 1,20 | 3,00 | T.N. | 2,51 | | |
| Puits du dispensaire d'El Merdja | 6954/1 | 5,54 | 2,51 | 3,00 | 0,67 | 1,54 | | |
| Deubaker Ben Saadi | 6955/1 | 11,15 | 2,30 | 3,00 | 0,40 | 1,20 | | |
| Salah Ben Roubaker | 6956/1 | 13,10 | 3,05 | 2,50 | T.N. | 1,14 | | |
| Tahar Ben Mohamed Bel Ouarghima | 6957/1 | 23,50 | 3,30 | 2,00 | 0,85 | 0,91 | | |
| Khidiri Ben Mefza | 6958/1 | 15,05 | 0,49 | 3,00 | 0,32 | 1,07 | | |
| Puits du domaine de Thibar | 6959/1 | 2,75 | 10,75 | 4,00 | T.N. | 1,57 | | |
| " " " | 6960/1 | 5,80 | 4,53 | 5,00 | 0,55 | 2,36 | | |
| Puits de l'Etat | 6961/1 | 6,27 | 0,64 | 2,00 | 1,05 | 1,14 | | |
| Puits de la Ferme Guitar | 6962/1 | 11,95 | 3,45 | 1,50 | 0,63 | 1,65 | | |
| Ali Ben Othmane Mnakbi | 6964/1 | 12,55 | 2,20 | 5,20 | 0,40 | 2,00 | | |
| Bir Sidi Haouel El Oued | 6965/1 | 4,03 | 0,18 | 1,00 | 0,20 | 1,34 | | |
| Moustapha Ayndi | 6966/1 | 12,57 | 5,60 | 5,00 | 0,30 | 0,77 | | |
| Puits de l'Etat | 6967/1 | 16,09 | 0,70 | 2,00 | 1,00 | 1,11 | | |
| Bir Djemaine Eltouma | 6968/1 | 10,13 | 1,60 | 1,00 | 0,60 | 2,00 | | |
| Ahmed Erradine | 7127/1 | 10,41 | 1,60 | 2,00 | 0,15 | 1,00 | | |
| Ali Ben Amara Djouini | 7128/1 | 5,35 | 3,55 | 3,50 | 0,20 | 1,25 | | |
| Salah Ben Amer Djouini | 7129/1 | 7,16 | 2,95 | 3,00 | 1,00 | 1,25 | | |
| Amor Latidi | 7130/1 | 6,40 | 5,50 | 3,70 | 0,70 | 1,31 | | |
| Abdelkarim Zerouani | 7131/1 | 7,35 | 3,75 | 4,00 | 0,60 | 1,25 | | |
| Yakoub Ben Ahmed Iridi | 7141/1 | 4,71 | 3,70 | 4,00 | 0,62 | 1,37 | | |
| Mohamed El Arfaoui | 7345/1 | 5,91 | 3,20 | 3,50 | 1,05 | 1,52 | | |

N.S
c/1

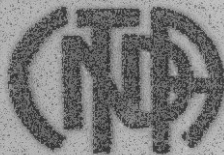
OBSERVATIONS

- 1,60 Puits maçonné en bon état utilisé pour l'alimentation humaine et animale (320,11 m)
- 2,00 Puits en bon état équipé d'une pompe ALZA cassée actuellement utilisée pour l'alimentation humaine et animale (183,60 m)
- Puits maçonné, abandonné actuellement (170,60 m)
- 1,35 Puits maçonné en bon état, utilisé pour l'alimentation des douars environnants (230,80 m).
- 1,25 Puits équipé d'un groupe électrique, utilisé pour le remplissage d'un réservoir de 20 m³ par jour, utilisé pour l'alimentation humaine et animale (180,83 m).
- Puits partiellement maçonné, abandonné actuellement (155,72 m).
- 0,54 Puits en excellent état, équipé d'un groupe diesel de 6 CV utilisé pour l'irrig. (279,43 m)
- 0,59 Puits filtrant, en bon état, équipé d'un groupe diesel de 6CV et destiné à l'irrigation (203,82 m);
- 1,00 Puits maçonné, inutilisé actuellement (257,11 m).
- 1,90 Puits maçonné, en bon état utilisé pour l'alimentation humaine et animale (219,90 m).
- 1,32 Puits en bon état équipé d'un moteur diesel de 6CV utilisé pour l'irrigation de 4 Ha (165,47 m).
- 1,45 Puits maçonné, utilisé pour l'alimentation H et A et pour l'irrigation 0,5 Ha (169 m).
- 2,51 " " " " " " " " " " (171,66 m).
- 1,64 Puits maçonné, abandonné actuellement, dégagant une mauvaise odeur (165,58 m).
- 1,20 Puits en bon état utilisé pour l'alimentation H et A. et pour l'irrig. 1 Ha (176,34 m).
- 1,14 " " " " " " " " " " 3 Ha (160,54 m).
- 0,91 Puits très ancien, utilisé pour l'alimentation humaine et animale (212,87 m).
- 1,07 Puits maçonné, en bon état, utilisé pour l'alimentation H et A et pour l'irrig. (189,73 m).
- 0,57 Puits maçonné, en bon état, équipé de 2 moteurs, un de 12CV diesel, et l'autre électrique destiné à l'irrigation (292,96 m).
- 2,36 Puits en bon état, équipé d'un groupe diesel de 6 CV destiné à l'irrigation (311,61 m)
- 1,14 Puits en bon état, équipé d'un moteur électrique pour l'alimentation H et A (260,77 m)
- 1,65 Puits en bon état, équipé et destiné pour l'alimentation H et A et pour l'irrig. (280,45 m)
- 2,00 Puits maçonné, équipé d'un groupe de 6CV diesel, utilisé pour l'alimentation humaine et animale et pour l'irrigation de 7 Ha (251,42 m).
- 1,61 Puits romain, utilisé pour l'alimentation humaine et animale (227,26 m).
- 0,77 Puits maçonné, en bon état équipé d'un groupe de 6CV diesel, irriguant 3 Ha (159,42 m)
- 1,11 Puits couvert d'une dalle de 0,7x0,7 d'ouverture, utilisé pour l'alim. S. (158,99 m)
- 2,00 Puits romain en bon état, utilisé pour l'alimentation des douars environnants (170,75 m)
- 0,61 Puits maçonné, abandonné.
- 1,26 Puits en bon état, équipé d'un groupe de 6CV Gas-oil, destiné à l'irrigation de 6 Ha.
- 1,25 Puits en bon état, équipé d'un gas-oil de 6 CV, irrigue 5 Ha.
- 1,37 Puits romain " " " " de 9 CV, irrigue 7 Ha.
- 1,52 Puits en bon état, " " " " de 9 CV, irrigue 2 Ha.

SUITE EN

F

2



MICROFICHE N°

00210

Ministère Tunisien
ASSISTENCE A L'AGRICULTURE
CENTRE NATIONAL DE
DOCUMENTATION AGRICOLE
TUNIS

الجمهورية التونسية
وزارة الفلاحة

المركز العربي
للسويق الفلاحي
تونس

F 2

| N° 3 DES PROPRIÉTAIRES | N° B.I.R.H | H | I | R | A | T | R.S. €/l |
|--------------------------------------|------------|-------------|-------|---------|------|-------|-------------|
| Office de l'Elevage Lazar | 7681/1 | 5,46 | 2,00 | 3,50 | 0,10 | 7,14 | Puits |
| Bir Bordj Hamdouna | 7682/1 | 3,13 | 6,11 | 2,40 | 0,75 | 5,80 | Puits |
| Chadkhard Ben Hissoune | 7683/1 | 13,74 | 3,50 | 2,20 | 0,75 | 1,61 | Puits |
| Arbi Elhassan Dhib | 7684/1 | 9,34 | 1,80 | 2,40 | 0,50 | 1,34 | Puits |
| Arbi Zouabi | 7685/1 | 0,54 | 2,30 | 2,70 | 0,40 | 1,77 | Acide |
| Ahmed Ben Belgacem | 7686/1 | 7,84 | 22,50 | 3,50 | 0,25 | 1,18 | Puits |
| Moh. Ben Salch Bel Hajj Lakhdar | 7687/1 | 8,04 | 2,40 | 2,40 | 0,50 | 1,51 | Puits |
| Puits de l'Estat (O.T.D) | 7688/1 | 9,00 | 2,15 | 3,10 | 0,30 | 1,65 | Puits |
| " " | 7689/1 | 1,49 | 4,15 | 4,00 | 0,60 | 1,25 | Puits |
| " " | 7690/1 | 4,54 | 5,05 | 3,00 | 0,45 | 1,31 | Puits |
| Houcine Ben Youssef Ben Ksbeh | 7691/1 | 3,39 | 1,80 | 4,00 | T.N. | 1,18 | Puits |
| Puits de l'Estat (O.T.D) | 7692/1 | 3,34 | 0,20 | 1,70 | 0,90 | 1,35 | Puits |
| " " | 7693/1 | en puitsage | 3,70 | 0,30 | 1,25 | Puits | |
| " " | 7694/1 | 2,54 | 1,35 | 1,75 | 0,50 | 1,61 | Puits |
| Salah Ben Khalifa | 7695/1 | 5,95 | 0,35 | 3,10 | 0,85 | 1,67 | Puits |
| Puits Séchir Z. Touhami Riabi | 7726/1 | 5,11 | 2,10 | 4,50 | T.N. | 1,42 | Puits |
| Puits de l'Estat (el Kunache) | 7727/1 | 19,81 | 2,60 | 3,00 | 0,80 | 1,16 | Puits |
| Elouam Ben Lakhdar | 7728/1 | 6,21 | 0,20 | 1,01,21 | T.N. | 4,50 | Trou |
| Smida Labidi | 7729/1 | 5,66 | 2,00 | 3,50 | 0,40 | 3,35 | Puits |
| " " | 7730/1 | 4,25 | 1,85 | 1,30 | T.N. | 4,28 | Puits |
| Youssef Ben Amor Ben Belgacem | 7731/1 | 5,91 | 2,00 | 5,00 | T.N. | 3,19 | Puits |
| Abrikis Ben Mohamed Salah Riabi | 7732/1 | 4,49 | 1,30 | 2,50 | T.N. | 2,50 | Puits |
| Alli Ben Hajida | 7733/1 | 3,81 | 1,95 | 4,20 | 0,20 | - | Puits |
| " " | 7734/1 | 2,81 | 4,70 | 3,00 | 0,35 | 4,55 | Puits |
| Salah Ben Amor Riabi | 7735/1 | 3,21 | 2,00 | 3,00 | T.N. | 2,37 | Puits |
| Séritiers chedli ben Othman Riabi | 7736/1 | 2,91 | 2,40 | 4,00 | T.N. | 4,86 | Puits |
| Othman Ben Madj Belgacem Riabi | 7737/1 | 2,80 | 3,50 | 4,00 | T.N. | 4,74 | Puits |
| Sadiq Ben Mohamed Ben Ismaïl | 7738/1 | 2,21 | 0,80 | 1,80 | T.N. | 1,31 | animaux |
| Alli et Rached Riabi | 7739/1 | 1,87 | 2,14 | 4,00 | T.N. | 3,36 | Puits |
| " " | 7740/1 | 2,66 | 2,75 | 1,00 | 0,50 | 4,74 | Puits |
| Othman Ben Ali Riabi | 7741/1 | 3,06 | 0,95 | 1,30 | 0,45 | 3,43 | Puits |
| Asser Ben Belgacem Riabi | 7742/1 | 3,11 | 0,20 | 1,50 | T.N. | 3,09 | Puits |
| Abdelmajid Ben Ali Riabi | 7743/1 | 2,96 | 0,70 | 3,00 | T.N. | 4,32 | Puits |
| Echris Ben Mohamed Ben Youssef Riabi | 7744/1 | 2,18 | 2,23 | 1,20 | 0,60 | 5,03 | Puits |
| Asser Ben Belgacem Riabi | 7745/1 | 2,96 | 4,05 | 3,50 | T.N. | 5,2 | Puits |
| Alli Ben Assara Riabi | 7746/1 | 3,41 | 3,30 | 1,00 | 0,50 | 2,31 | Trou |

| R.S. N°/1 | OBSERVATIONS |
|--------------|---|
| 7,14 | Puits maçonné standard. |
| 1,50 | Puit abandonné. |
| 1,61 | Puit en bon état, utilisé pour l'alimentation humaine et animale. |
| 1,34 | Puits en bon état, équipé d'un moteur à essence de 3CV irrigue 2,5 Ha. |
| 1,77 | Puits en bon état, équipé d'un groupe diesel de 6CV, destiné à l'irrigation de 4 Ha. |
| 1,18 | Puits maçonné, abandonné. |
| 1,51 | Puits maçonné, utilisé pour l'alimentation humaine et animale. |
| 1,65 | Puits très ancien, utilisé uniquement pour l'alimentation animale. |
| 1,25 | Puits maçonné, en bon état, utilisé pour l'alimentation animale. |
| 1,31 | Puits en bon état, équipé d'un moteur à essence de 6CV utilisé pour l'alimentation animale. |
| 1,18 | Puits partiellement maçonné, équipé d'un moteur de 6CV diesel, destiné à l'irrigation de 2 ha. |
| 1,35 | Puits maçonné abandonné actuellement. |
| 1,25 | Puits en bon état, équipé d'un moteur gaz-oil de 26CV utilisé pour l'alimentation H et A. |
| 1,61 | Puits maçonné, utilisé pour l'alimentation humaine et animale. |
| 1,63 | Puits abandonné. |
| 1,42 | Puits partiellement maçonné, équipé d'un moteur gaz-oil de 6CV, irrigue 4 Ha. |
| 1,16 | Puits public, utilisé pour l'alimentation des deuxse environs. |
| 4,98 | Trou d'eau en mauvais état, utilisé pour l'alimentation humaine et animale. |
| 3,36 | Puits en bon état, équipé d'un moteur diesel de 6CV destiné à l'irrigation de 7 ha. |
| 4,28 | Puits maçonné, utilisé uniquement pour l'arrosage. |
| 3,19 | Puits partiellement maçonné, équipé d'un moteur diesel de 6CV, destiné pour l'irrigation 2 Ha. |
| 2,50 | Puits partiellement maçonné en mauvais état, utilisé pour l'alimentation H et L. |
| - | Puits abandonné depuis longtemps dégazant une mauvaise odeur. |
| 4,55 | Puits en bon état, équipé d'un moteur gaz-oil de 6CV irrigue 2 Ha. |
| 2,37 | Puits partiellement maçonné équipé d'un diesel de 6CV utilisé pour l'alimentation humaine et animale et à l'irrigation. |
| 4,66 | " " " " " |
| 4,74 | Puits partiellement maçonné, en mauvais état, inutilisable actuellement. |
| 1,31 | Puits partiellement maçonné, équipé d'un diesel utilisé pour l'alimentation humaine et animale et à l'irrigation. |
| 3,36 | Puits partiellement maçonné, équipé d'un groupe-set-pompe (gaz-oil) de 6CV transportable sur un chariot. |
| 4,74 | Puits en bon état équipé d'une pompe à main, utilisé pour l'alimentation humaine. |
| 3,43 | Puits maçonné utilisé pour l'alimentation humaine et animale. |
| 3,89 | Puits partiellement maçonné en mauvais état, utilisé pour l'alimentation H et L. |
| 4,32 | Puits partiellement maçonné, utilisé uniquement pour l'arrosage. |
| 5,03 | Puits maçonné, utilisé pour l'alimentation humaine et animale. |
| 5,2 | Puits partiellement maçonné en mauvais état, équipé d'un diesel de 6CV irrigue 9 Ha. |
| 2,31 | Trou d'eau maçonné, utilisé pour l'alimentation humaine et animale. |

| nom des propriétaires | N° 3.1.3.5 | V | H | A | M | R.S. €/1 |
|---------------------------------------|------------|------|------|---------|------|-------------|
| Benahmed Ben Youssef Riahi | 7747/1 | 4,05 | 3,10 | 3,70 | 0,20 | 1,33 |
| Puits de l'Etat | 7748/1 | 4,51 | 2,43 | 3,00 | 1,00 | 2,17 |
| Benahmed Ben Ahmed Riahi | 7749/1 | 1,61 | 3,70 | 4,50 | T.N. | 3,09 |
| * | * | * | * | * | * | * |
| * | 7750/1 | 2,53 | 2,93 | 5,00 | 0,20 | 3,75 |
| Tafet Ben Hammoud Riahi | 7751/1 | 4,11 | 1,60 | 4,50 | T.N. | 2,77 |
| Aleya Ben Hammoud Riahi | 7752/1 | 3,21 | 1,95 | 3,50 | 0,75 | - |
| Soumnia Ben Brahim Ben Ali Riahi | 7753/1 | 4,31 | 1,00 | 2,70 | T.N. | 2,29 |
| Puits de n° 6 (Béchir Riahi) | 7754/1 | 3,11 | 0,80 | 0,80 | 0,85 | 2,04 |
| Abid Ben M'hamed | 7755/1 | 2,91 | 1,85 | 1,50 | 0,50 | 2,43 |
| Ali Ben M'hamed Riahi | 7756/1 | 2,06 | 1,95 | 1,25 | 0,70 | 1,77 |
| Benahmed Ben Alioua Riahi | 7757/1 | 4,11 | 1,25 | 0,90 | 0,40 | 3,23 |
| Abou "el Hadj Ali Riahi | 7758/1 | 3,30 | 0,65 | 1,20 | T.N. | 3,30 |
| Khadija Ben Mohamed Riahi | 7759/1 | 3,36 | 1,60 | 0,90 | 0,30 | 4,98 |
| Béchir Ben Alloui Riahi | 7760/1 | 3,01 | 0,30 | 0,90 | 0,20 | 5,20 |
| Yassine Ben Youssef Riahi | 7761/1 | 2,37 | 0,45 | 1,80 | T.N. | 3,23 |
| Haïssam Ben Mohamed Riahi | 7762/1 | 3,01 | 0,80 | 2,20 | T.N. | 3,69 |
| * | * | * | * | * | * | * |
| Salah et Mohamed S. Béchir Riahi | 7763/1 | 3,93 | 1,05 | 5,20 | T.N. | 2,72 |
| Ben Alioua et Mohamed S. Béchir Riahi | 7764/1 | 4,01 | 2,20 | 3,70 | T.N. | 2,17 |
| Ismahi Ben Alioua Riahi | 7765/1 | 2,86 | 2,03 | 4,00 | T.N. | 3,10 |
| Abdelouahab Riahi | 7766/1 | 1,90 | 1,50 | 4,50 | T.N. | 4,08 |
| Abdelouahab Riahi | 7767/1 | 1,96 | 1,10 | 1,10 | T.N. | 5,14 |
| Younes Ben Hafid Bouzid | 7768/1 | 2,05 | 2,05 | 3,50 | 0,20 | 5,35 |
| Ali Ben Hassan Tarkhani | 7769/1 | 3,36 | 3,30 | 3,50 | 0,40 | 5,74 |
| Mohamed Ben Youness Tarkhani | 7770/1 | 2,50 | 2,10 | 3,50 | T.N. | 9,52 |
| Puits de l'Etat (C.F.D. El Kerdja) | 7771/1 | 1,61 | 2,43 | 2,50 | 0,50 | - |
| Puits de l'Etat (El Kerdja 1) | 7772/1 | 4,20 | 1,93 | 1,00 | 0,40 | 1,44 |
| * | * | * | * | * | * | * |
| Puits de l'Etat (G.T.D.) | 7773/1 | 3,16 | 0,45 | 0,720,6 | T.N. | - |
| Mohamed Ben Brahim Souadji | 7774/1 | 2,61 | 2,40 | 2,00 | 0,50 | 1,71 |
| Chaffi Ben Farhat | 7775/1 | 1,96 | 0,60 | 2,50 | 0,30 | 4,41 |
| Ali Ben Othmane | 7776/1 | 1,31 | 1,00 | 2,30 | T.N. | 3,12 |
| C.F.D. El Kerdja | 7777/1 | 3,21 | 3,25 | 3,20 | 0,50 | 1,66 |
| El Maghrib C.F.D. El Kerdja | 7778/1 | 7,01 | 2,75 | 2,40 | 0,30 | 1,91 |
| Abi Ben Serdjane | 7779/1 | 0,00 | 5,00 | 3,00 | 0,00 | 1,44 |
| C.F.D. El Kerdja | 7780/1 | 2,60 | 3,40 | 3,50 | T.N. | 1,36 |
| * | * | * | * | * | * | * |
| Yassine et Fekri | 7781/1 | 3,36 | 1,55 | 1,10 | 0,35 | - |
| * | * | * | * | * | * | * |
| Yassine et Fekri | 7782/1 | 2,11 | 3,30 | 4,00 | T.N. | 6,29 |

R.H.
8/1

OBSERVATIONS

- 1,35 Puits maçonné, utilisé uniquement que pour l'abreuvement.
- 2,17 Puits maçonné, utilisé pour l'alimentation humaine et animale.
- 3,09 Puits maçonné, équipé d'un moteur gaz-oil de 3CV, destiné pour l'alimentation humaine et l'irrigation.
- 3,75 Puits en bon état, inutilisable actuellement.
- 2,77 Puits partiellement maçonné, équipé d'un groupe moto-pompe de 6CV utilisé pour l'irrig.
- Puits maçonné, abandonné.
- 2,29 Trou d'eau, maçonné et utilisé pour l'alimentation humaine et animale.
- 2,01 Trou d'eau, maçonné et utilisé pour l'alimentation humaine.
- 2,43 " "
- 1,77 Puits très ancien, utilisé pour l'alimentation humaine et animale.
- 3,23 Trou d'eau non maçonné utilisé pour " "
- 3,30 Trou d'eau partiellement maçonné utilisé " "
- 4,42 " maçonné, utilisé pour l'alimentation "
- 5,20 " " "
- 3,23 Trou d'eau partiellement maçonné utilisé " "
- 3,69 " " " "
- 2,72 Puits partiellement maçonné, équipé d'un gaz-oil de 6CV, irrigue 2,5 Ha.
- 2,17 " " " " irrigue 2 Ha.
- 3,10 Puits partiellement maçonné " " " irrigue 4 Ha.
- 4,08 Puits non totalement creusé, destiné à l'irrigation.
- 5,14 Trou d'eau, destiné à l'alimentation humaine et animale.
- 6,35 Puits maçonné et abandonné.
- 3,74 Puits maçonné en bon état, inutilisable actuellement.
- 9,52 Puits partiellement maçonné, en mauvais état actuellement.
- Puits abandonné, dégagent une mauvaise odeur.
- 1,44 Puits très ancien, utilisé pour l'alimentation humaine et animale.
- Puits très ancien, abandonné.
- 1,71 Puits en bon état, inutilisable actuellement (ex. n° 6377/1).
- 4,41 Puits très ancien, utilisé pour l'alimentation animale et pour l'irrigation.
- 3,12 Puits en cours d'exécution, partiellement maçonné, destiné à l'irrigation.
- 1,66 Puits en bon état, équipé d'un moteur à essence de 3CV, irrigue 2 Ha.
- 1,91 Puits équipé d'un moteur électrique, utilisé pour l'alimentation et l'irrigation.
- 1,44 Puits maçonné, arrivé à 1 m utilisée pour l'alimentation animale.
- 1,36 Puits maçonné, équipé d'un moteur gaz-oil 6CV, irrigue 1 Ha.
- 1,71 Puits équipé d'un moteur électrique, utilisé pour l'alimentation et pour l'irrigation
- 6,29 Puits en cours d'exécution, équipé d'un gaz-oil de 6 CV destiné à l'irrigation.

| NUM DES PROPRIÉTAIRES | BP S.I.R.H | H | N | S | n | R.S €/1 |
|----------------------------------|------------|-------|------|------|------|------------|
| Puits de l'Ecole El Koudia | 7784/1 | 15,60 | 3,20 | 3,00 | *,00 | 1,97 |
| Mohamed Radhouani | 7785/1 | 4,39 | 2,30 | 3,20 | 0,70 | 1,94 |
| Tehrizi Radhouani | 7786/1 | 7,91 | 1,80 | 4,20 | 0,90 | 1,44 |
| Abdelvahab Radhouani | 7787/1 | 11,06 | 0,95 | 5,00 | 0,80 | 1,43 |
| Ali Chiboub | 7788/1 | 3,43 | 1,14 | 0,53 | 0,50 | 2,04 |
| - | 7789/1 | 2,61 | 2,00 | 3,00 | 2,3. | - |
| - | 7790/1 | 3,60 | 3,20 | 3,00 | 2,3. | 4,55 |
| Azzouz El Arfaoui | 7791/1 | 2,01 | 1,30 | 2,10 | 0,60 | - |
| Farhat Ben Salah El Meknoui | 7792/1 | 2,36 | 1,75 | 2,80 | T.N. | 3,89 |
| Salah El Meknoui | 7793/1 | 2,50 | 2,00 | 3,20 | T.N. | 7,37 |
| Tijani Ben Mohamed Salah Mezghid | 7794/1 | 4,76 | 1,75 | 3,00 | 0,20 | - |
| Ali Ben Hadj Kamel Meknoui | 7795/1 | 5,01 | 2,13 | 3,20 | T.N. | 2,17 |
| Bir el M'hamed | 7796/1 | 2,90 | 3,75 | 2,70 | 0,50 | 2,04 |
| Salem El Kouiri | 7797/1 | 3,30 | 4,95 | 2,50 | 0,60 | 5,01 |
| Ahmed Ben Ali Ben Aissa | 7798/1 | 4,35 | 0,35 | 3,20 | 1,00 | 3,43 |
| Puits Public | 5212/3 | 1,50 | 2,33 | 1,50 | T.N. | 0,56 |
| - | 5213/3 | 0,93 | 3,20 | 1,50 | T.N. | 0,70 |
| Béchir Ben Sellami | 5214/3 | 3,81 | 2,77 | 1,80 | 0,15 | 0,47 |

OBSERVATIONS

- 1.37 : Puits en bon état, alimente les deux ensembles.
- 1.38 : Puits usagé, abandonné.
- 1.39 : Puits usagé, dépassé d'un doigt, irrigue 2 ha.
- 1.40 : Puits particulièrement usagé, et souffre d'usure due à un gas-oil de SCV.
- 1.41 : Puits à eau moyenne utilisée pour l'alimentation humaine et animale.
- 1.42 : Puits usagé, abandonné.
- 1.43 : * * *
- 1.44 : Puits en bon état, équipé d'un gas-oil de 9 CV, irrigue 1 ha.
- 1.45 : Puits usagé, utilisé pour l'abreuvoirs seulement.
- 1.46 : Puits usagé, utilisé actuellement.
- 1.47 : Puits en bon état, alimente les deux ensembles.
- 1.48 : * * *
- 1.49 : Puits usagé, dépassé d'un doigt à cause de SCV, utilisé pour l'irrigation seulement.
- 1.50 : Puits usagé, destiné à l'irrigation.
- 1.51 : Puits abandonné actuellement (353,16 m).
- 1.52 : * * * (353,22 m).
- 1.53 : Puits usagé en bon état, utilisé pour l'alimentation humaine et animale (359,47 m).

A. ANALYSE DES FRUITS

| N° IRAN | MILLERANGS PAR LITRE | | | | | | | | D.H. |
|---------|----------------------|-----|------|----|------|------|-----|------|------|
| | Ce | Ré | 100 | K | 30% | G1 | 003 | P.B. | |
| 545/1 | 195 | 53 | 322 | 0 | 326 | 511 | 194 | 1620 | 68 |
| 546/1 | 230 | 48 | 159 | 0 | 342 | 213 | 190 | 1339 | 74 |
| 2341/1 | 230 | 132 | 748 | 66 | 298 | 1136 | 516 | 3146 | 108 |
| 2928/1 | 232 | 62 | 239 | 4 | 581 | 391 | 134 | 1646 | 82 |
| 3614/1 | 260 | 54 | 644 | 12 | 562 | 1065 | 123 | 2720 | 84 |
| 5273/1 | 104 | 41 | 32 | - | 134 | 43 | 168 | 760 | 43 |
| 5274/1 | 436 | 170 | 790 | - | 1960 | 213 | 204 | 3800 | 174 |
| 5630/1 | 126 | 36 | 116 | - | 154 | 183 | 163 | 960 | 46 |
| 5662/1 | 120 | 61 | 644 | 12 | 159 | 1136 | 137 | 2249 | 53 |
| 5483/1 | 189 | 62 | 828 | 12 | 506 | 1207 | 192 | 2996 | 70 |
| 5685/1 | 317 | 29 | 1156 | 4 | 974 | 1562 | 123 | 4259 | 86 |
| 5772/1 | 200 | 122 | 425 | - | 211 | 1207 | 54 | 3060 | 100 |
| 5992/1 | 224 | 112 | 121 | - | 691 | 213 | 174 | 1700 | 102 |
| 5993/1 | 330 | 114 | 173 | 8 | 931 | 337 | 144 | 2037 | 125 |
| 6075/1 | 180 | 30 | 166 | 36 | 394 | 249 | 162 | 1217 | 55 |
| 6878/1 | 166 | 154 | 230 | 4 | 962 | 302 | 111 | 1949 | 106 |
| 6879/1 | 236 | 81 | 94 | 4 | 593 | 249 | 102 | 2359 | 89 |
| 5888/1 | 90 | 30 | 163 | 20 | 168 | 178 | 180 | 829 | 34 |
| 6933/1 | 260 | 77 | 92 | - | 790 | 302 | 159 | 1800 | 130 |

| | | | | | | | | | |
|--------|-----|-----|-----|---|------|-----|-----|------|-----|
| 6937/1 | 56 | 92 | 50 | - | 142 | 121 | 171 | 700 | 52 |
| 6938/1 | 152 | 68 | 72 | - | 850 | 248 | 105 | 1600 | 97 |
| 6939/1 | 248 | 117 | 196 | - | 960 | 213 | 129 | 2000 | 110 |
| 6941/1 | 168 | 63 | 127 | - | 267 | 355 | 144 | 1390 | 76 |
| 6942/1 | 168 | 92 | 156 | - | 307 | 295 | 150 | 1250 | 50 |
| 6944/1 | 148 | 5 | 39 | - | 86 | 57 | 180 | 540 | 39 |
| 6945/1 | 112 | 39 | 33 | - | 125 | 57 | 174 | 590 | 44 |
| 6946/1 | 136 | 61 | 123 | - | 317 | 199 | 144 | 1000 | 59 |
| 6950/1 | 208 | 126 | 217 | - | 614 | 461 | 144 | 1900 | 104 |
| 6951/1 | 126 | 97 | 111 | - | 422 | 213 | 177 | 1320 | 72 |
| 6952/1 | 128 | 122 | 135 | - | 403 | 248 | 186 | 1450 | 82 |
| 6953/1 | 152 | 107 | 122 | - | 461 | 248 | 165 | 2510 | 82 |
| 6954/1 | 248 | 83 | 152 | - | 438 | 302 | 168 | 1640 | 56 |
| 6955/1 | 184 | 53 | 108 | - | 355 | 177 | 168 | 1200 | 66 |
| 6956/1 | 176 | 53 | 111 | - | 365 | 156 | 171 | 1140 | 66 |
| 6957/1 | 152 | 44 | 72 | - | 220 | 170 | 150 | 910 | 56 |
| 6958/1 | 176 | 58 | 117 | - | 374 | 170 | 171 | 1070 | 66 |
| 6959/1 | 92 | 29 | 25 | - | 134 | 57 | 123 | 570 | 35 |
| 6960/1 | 390 | 160 | 80 | - | 1190 | 213 | 186 | 2360 | 164 |
| 6961/1 | 156 | 73 | 174 | - | 758 | 99 | 106 | 1140 | 69 |
| 6962/1 | 256 | 73 | 119 | - | 710 | 177 | 120 | 1650 | 94 |

| | | | | | | | | | |
|--------|-----|-----|------|----|------|------|-----|------|-----|
| 6966/1 | 328 | 117 | 116 | - | 864 | 355 | 120 | 2000 | 130 |
| 6965/1 | 120 | 49 | 200 | - | 106 | 426 | 136 | 1039 | 50 |
| 6966/1 | 92 | 34 | 116 | - | 125 | 199 | 129 | 730 | 37 |
| 6967/1 | 68 | 56 | 250 | - | 136 | 298 | 219 | 1110 | 40 |
| 6968/1 | 224 | 92 | 270 | - | 518 | 461 | 132 | 2000 | 94 |
| 7127/1 | 500 | 216 | 2126 | 52 | 1363 | 1392 | 132 | 8083 | 206 |
| 7128/1 | 223 | 37 | 150 | 0 | 427 | 266 | 146 | 1259 | 71 |
| 7130/1 | 181 | 70 | 187 | 4 | 535 | 231 | 164 | 1372 | 71 |
| 7316/1 | 776 | 150 | 840 | 0 | 2530 | 1118 | 108 | 5522 | 246 |
| 7681/1 | 450 | 234 | 1771 | 32 | 1637 | 2893 | 126 | 7143 | 202 |
| 7682/1 | 640 | 396 | 702 | 8 | 2616 | 1296 | 141 | 5799 | 312 |
| 7683/1 | 140 | 78 | 322 | 0 | 412 | 497 | 129 | 1608 | 65 |
| 7684/1 | 120 | 84 | 225 | 0 | 432 | 408 | 59 | 1338 | 62 |
| 7685/1 | 180 | 72 | 299 | 4 | 523 | 408 | 171 | 1657 | 72 |
| 7692/1 | 210 | 60 | 177 | 12 | 396 | 320 | 160 | 1363 | 74 |
| 7693/1 | 160 | 60 | 189 | 0 | 418 | 284 | 135 | 1246 | 62 |
| 7694/1 | 210 | 102 | 189 | 0 | 669 | 320 | 129 | 1617 | 91 |
| 7695/1 | 160 | 72 | 377 | 60 | 0 | 444 | 513 | 1626 | 67 |
| 7725/1 | 150 | 48 | 299 | 0 | 322 | 426 | 174 | 1417 | 55 |
| 7726/1 | 120 | 78 | 184 | 0 | 302 | 355 | 126 | 1165 | 60 |
| 7728/1 | 330 | 84 | 1369 | 4 | 1042 | 1986 | 162 | 4879 | 113 |

| | | | | | | | | | |
|--------|-----|-----|------|-----|------|------|-----|------|-----|
| 7731/1 | 210 | 42 | 386 | 5 | 792 | 1065 | 116 | 3189 | 67 |
| 7735/1 | 160 | 48 | 863 | 4 | 672 | 1047 | 183 | 2977 | 59 |
| 7736/1 | 279 | 120 | 1288 | 8 | 994 | 1899 | 159 | 4658 | 113 |
| 7743/1 | 40 | 96 | 1001 | 220 | 1008 | 1385 | 174 | 4324 | 96 |
| 7744/1 | 222 | 55 | 1564 | 4 | 650 | 2095 | 242 | 5032 | 75 |
| 7747/1 | 113 | 43 | 271 | 56 | 305 | 408 | 137 | 1333 | 44 |
| 7749/1 | 115 | 92 | 909 | 4 | 595 | 1225 | 159 | 3089 | 60 |
| 7753/1 | 115 | 43 | 271 | 56 | 305 | 408 | 137 | 1333 | 44 |
| 7756/1 | 156 | 55 | 380 | 62 | 297 | 639 | 179 | 1766 | 59 |
| 7763/1 | 157 | 79 | 725 | 12 | 545 | 994 | 226 | 2718 | 69 |
| 7764/1 | 136 | 49 | 587 | 26 | 317 | 870 | 182 | 2169 | 52 |
| 7768/1 | 245 | 119 | 1863 | 28 | 996 | 2947 | 153 | 6351 | 106 |
| 7770/1 | 339 | 163 | 2818 | 16 | 2702 | 3248 | 219 | 9525 | 155 |
| 7772/1 | 163 | 100 | 161 | 0 | 586 | 284 | 123 | 1437 | 79 |
| 7776/1 | 189 | 128 | 696 | 12 | 1178 | 888 | 32 | 3122 | 96 |
| 7777/1 | 184 | 89 | 258 | 0 | 643 | 355 | 134 | 1663 | 80 |
| 7780/1 | 229 | 50 | 187 | 0 | 331 | 377 | 221 | 1355 | 75 |
| 7783/1 | 672 | 224 | 1196 | 8 | 1970 | 2059 | 162 | 6291 | 251 |

/

| | | | | | | | | | |
|--------|-----|-----|------|----|------|------|-----|------|-----|
| 7787/1 | 139 | 89 | 230 | 0 | 521 | 302 | 152 | 1433 | 69 |
| 7790/1 | 270 | 55 | 239 | 8 | 566 | 106 | 162 | 1706 | 87 |
| 7793/1 | 103 | 327 | 1116 | 4 | 2201 | 2485 | 149 | 7375 | 369 |
| 7795/1 | 329 | 69 | 306 | 4 | 751 | 497 | 209 | 2167 | 107 |
| 7798/1 | 177 | 130 | 605 | 20 | 131 | 959 | 23 | 3429 | 54 |
| 5212/3 | 104 | 19 | 53 | - | 154 | 112 | 54 | 560 | 34 |
| 5213/3 | 140 | 15 | 47 | - | 173 | 156 | 87 | 700 | 41 |
| 5214/3 | 112 | 15 | - | - | 71 | 99 | 108 | 470 | 34 |

BOUCHE D'ARROS I

6680/1

EMPLACEMENT

Latitude : $40^{\circ} 54' 45''$
 Longitude : $2^{\circ} 52' 30''$
 Altitude : 335 m
 Carte au 1/50000 n° 30
 Zone H. Arce

CLIQUE

0 - 2 m
 2 - 7
 7 - 11
 11 - 14
 14 - 15
 15 - 19
 19 - 23

LITHOLOGIES

Terre végétale
 Argile légèrement sablonneuse
 Grès
 Argile sablonneuse
 Grès
 Argile sablonneuse
 Argile sablonneuse avec
 Passages griseux

FAISCEAU

Enfouissement : SSE
 Appareil : Hayduca 1000 n° 2
 Commencé le 4 - 7 - 1968
 Terminé le 6 - 11 - 1968
 Enregistrement électrique en date du 4-7-68 à 18 - 49

23 - 29
 29 - 32
 32 - 40
 42 - 46
 46 - 48
 49 - 55

Argile
 Galets
 Sable argileux
 galets
 argile avec galets
 argile
 argile sablonneuse
 galets

CHARACTERISTIQUES

Profondeur : 173 m
 Maximum capteur : 60 à 65 m
 E.D. : 5,80 m

55 - 57
 57 - 62
 62 - 64

galets
 argile sablonneuse
 galets
 argile avec galets
 galets
 sable, gravier avec passages
 calcaires

E.S. : 2 1/2 n = 41,05 m
 Enseuil de réception

64 - 67
 67 - 68
 68 - 69
 69 - 74
 74 - 77
 77 - 83
 83 - 84
 84 - 88
 88 - 89
 89 - 95
 95 - 113

argile sablonneuse
 calcaire avec passages sablonneux
 argile sablonneuse
 calcaire
 argile
 argile sablonneuse
 calcaire
 argile

Caractéristiques de la nappe

113 - 116
 116 - 128
 128 - 130
 130 - 136
 136 - 141
 141 - 145
 145 - 151
 151 - 153

argile avec passages griseux
 argile sablonneuse avec galets
 galets et argile
 Sable argileux
 galets et argile
 calcaire
 argile sablonneuse
 calcaire

$\delta_{\text{S}, \text{E}} \cdot 10^{-5} < T < 3,1 \cdot 10^{-5} \text{ x}^2 / \text{s}$

.../...

153 - 159,5 argile sablonneuse
159,5-169 calcaire avec argile
169 - 173 argile sablonneuse

| Eléments | Ca | Mg | Na | SO ₄ | Cl | CO ₃ | R.S. | |
|----------|-----|----|----|-----------------|----|-----------------|------|---|
| 6890/1 | 112 | 97 | 59 | 346 | 71 | 144 | 800 | : |

Document(s) :

note : Essais de débits sur le forage TELLIER I
n° 6890/1 - 1970 - J.L. TEISSIER

153 - 159,5 argile sablonneuse
159,5-169 calcaire avec argile
169 - 173 argile sablonneuse

| Éléments: | Ca : | Mg : | Na : | SO ₄ : | Cl : | CO ₃ : | R.S. : | : |
|-----------|-------|------|------|-------------------|------|-------------------|--------|---|
| 6890/1 | : 112 | : 97 | : 59 | : 346 | : 71 | : 144 | : 800 | : |

Document(s) :

Note : Essais de débits sur le forage THIBAR I
n° 6890/1 - 1970 - J.L. TRASSIER

ESSAI DE RECETION DU FUTS 1930/1

Le 10-7-71 à 17^H au 12-7-71 à 16^H30

1er Palier Q = 16,55 l/s

| t en s | s en m | s/q en m ³ /s |
|--------|--------|--------------------------|
| 10 | 0,10 | 6,0 |
| 20 | 0,14 | 6,4 |
| 30 | 0,15 | 9,0 |
| 40 | 0,15 | " |
| 50 | 0,15 | " |
| 60 | 0,16 | 9,6 |
| 70 | 0,16 | " |
| 80 | 0,16 | " |
| 90 | 0,18 | 10,6 |
| 100 | 0,18 | " |
| 120 | 0,19 | 11,4 |
| 150 | 0,20 | 12,0 |
| 160 | 0,22 | 12,2 |
| 210 | 0,23 | 13,8 |
| 240 | 0,24 | 14,5 |
| 270 | 0,26 | 15,7 |
| 300 | 0,27 | 16,3 |
| 330 | 0,27 | " |
| 360 | 0,28 | 16,9 |
| 420 | 0,30 | 18,1 |
| 450 | 0,31 | 18,7 |
| 540 | 0,31 | " |
| 630 | 0,31 | " |
| 660 | 0,33 | 19,9 |
| 720 | 0,34 | 20,5 |
| 810 | 0,35 | 21,1 |
| 900 | 0,37 | 22,3 |
| 1050 | 0,39 | 23,5 |
| 1200 | 0,42 | 25,3 |
| 1350 | 0,45 | 27,1 |
| 1500 | 0,45 | " |
| 1600 | 0,48 | 29,0 |
| 2100 | 0,52 | 31,4 |
| 2200 | 0,54 | 32,6 |
| 2700 | 0,56 | 33,8 |
| 3000 | 0,57 | 34,4 |
| 3300 | 0,57 | " |
| 3600 | 0,58 | 35,0 |
| 4200 | 0,58 | " |
| 4800 | 0,58 | " |
| 5400 | 0,58 | " |
| 6000 | 0,58 | 33,6 |
| 6600 | 0,54 | 32,6 |
| 7200 | 0,54 | " |
| 8100 | 0,54 | " |
| 9000 | 0,54 | " |
| 9900 | 0,54 | " |
| 10800 | 0,54 | " |
| 12600 | 0,54 | " |
| 14400 | 0,5 | " |

2e Palier

| t en s | s en m | Q en l/s | s/q en m^{-3}/s |
|--------|--------|----------|-------------------|
| 14460 | 0,54 | 34,24 | 15,7 |
| 15030 | 1,31 | " | 38,2 |
| 16500 | 1,86 | 34,34 | 54,1 |
| 17100 | 1,97 | " | 57,3 |
| 18000 | 2,04 | " | 59,2 |
| 19600 | 2,14 | 34,26 | 62,4 |
| 21000 | 2,23 | " | 65,0 |
| 22500 | 2,27 | " | 66,2 |
| 24300 | 2,31 | " | 67,4 |
| 27000 | 2,35 | " | 58,5 |
| 28600 | 2,38 | " | 69,4 |
| 32400 | 2,42 | 31,82 | 76,3 |
| 36000 | 2,45 | 33,05 | 74,2 |
| 39600 | 2,53 | 33,46 | 75,6 |
| 43200 | 2,65 | 33,51 | 79,0 |
| 46800 | 2,69 | 32,38 | 83,0 |
| 51400 | 2,69 | 32,18 | 83,6 |
| 61200 | 2,69 | 33,47 | 80,5 |
| 68400 | 2,95 | " | 88,1 |
| 75600 | " | " | 88,1 |
| 82800 | " | " | 88,1 |
| 90000 | " | " | 88,1 |

3e Palier

| t en s | s en m | Q en l/s | s/q en m^{-3}/s |
|--------|--------|----------|-------------------|
| 97200 | 3,62 | 37,71 | 95,9 |
| 104400 | 3,56 | 37,36 | 95,2 |
| 111600 | 3,68 | " | 98,5 |
| 118800 | 3,81 | " | 103,9 |
| 126000 | 3,94 | 40,67 | 96,4 |
| 133200 | 3,68 | 34,04 | 113,9 |
| 140400 | 4,90 | 38,16 | 126,4 |
| 147600 | 4,76 | 38,47 | 123,7 |
| 154800 | " | 36,72 | 129,6 |

LE SSAY SUR LE PUITS 5992/1

Le 13-7-74 de 0^h45 à 13^h45Q_s = 9,4 l/s

Niveau statique : 4,64 m

Profondeur totale : 6,87 m

| ABAISSEMENT | | REMONTEE | |
|-------------|--------|----------|---------|
| Tout' en s | s en m | s | s' en m |
| 60 | 0,01 | 0,04 | |
| 120 | 0,02 | 0,07 | |
| 180 | 0,05 | 0,10 | |
| 240 | 0,06 | 0,13 | |
| 300 | 0,08 | 0,16 | |
| 360 | 0,10 | 0,19 | |
| 420 | 0,12 | 0,22 | |
| 480 | 0,15 | 0,24 | |
| 540 | 0,17 | 0,26 | |
| 600 | 0,18 | 0,29 | |
| 660 | 0,20 | 0,32 | |
| 720 | 0,22 | 0,34 | |
| 780 | 0,24 | 0,37 | |
| 840 | 0,25 | 0,39 | |
| 900 | 0,27 | 0,41 | |
| 1020 | 0,29 | 0,45 | |
| 1140 | 0,32 | 0,50 | |
| 1260 | 0,35 | 0,55 | |
| 1380 | 0,37 | 0,59 | |
| 1500 | 0,40 | 0,63 | |
| 1620 | 0,42 | 0,66 | |
| 1800 | 0,46 | 0,72 | |
| 1980 | 0,50 | 0,76 | |
| 2160 | 0,53 | 0,83 | |
| 2340 | 0,56 | 0,88 | |
| 2520 | 0,59 | 0,93 | |
| 2700 | 0,61 | 0,97 | |
| 3000 | 0,66 | 1,03 | |
| 3600 | 0,73 | 1,16 | |
| 3900 | - | 1,20 | |
| 4200 | 0,80 | | |
| 4800 | 0,84 | | |
| 5400 | 0,89 | | |
| 6000 | 0,94 | | |
| 6600 | 0,98 | | |
| 7200 | 1,01 | | |
| 8100 | 1,05 | | |
| 9000 | 1,07 | | |
| 9900 | 1,10 | | |
| 10800 | 1,11 | | |
| 12000 | 1,13 | | |
| 13200 | 1,15 | | |
| 14400 | 1,16 | | |
| 15200 | 1,18 | | |
| 16000 | 1,20 | | |

DONNÉES DU FUIT 6578/1

| T en m | a' en m |
|--------------------|---------|
| 0 | 0,00 |
| 1' | 0,01 |
| 2' | 0,02 |
| 3' | 0,03 |
| 4' | " |
| 5' | 0,04 |
| 6' | " |
| 7' | " |
| 8' | 0,05 |
| 9' | " |
| 10' | 0,06 |
| 11' | " |
| 12' | " |
| 13' | 0,07 |
| 14' | " |
| 15' | 0,08 |
| 17' | 0,09 |
| 19' | 0,10 |
| 21' | 0,11 |
| 23' | 0,12 |
| 25' | 0,13 |
| 27' | " |
| 30' | 0,14 |
| 35' | 0,16 |
| 40' | 0,19 |
| 50' | 0,23 |
| 1 ^h 00 | 0,25 |
| 15' | 0,31 |
| 30' | 0,38 |
| 45' | 0,43 |
| 2 ^h 00' | 0,49 |
| 20' | 0,56 |
| 40' | 0,64 |
| 3 ^h 00' | 0,70 |
| 30' | 0,79 |
| 4 ^h 00' | 0,88 |

pompage pour l'alimentation humaine et animale
la remontée ne peut être poursuivie.-

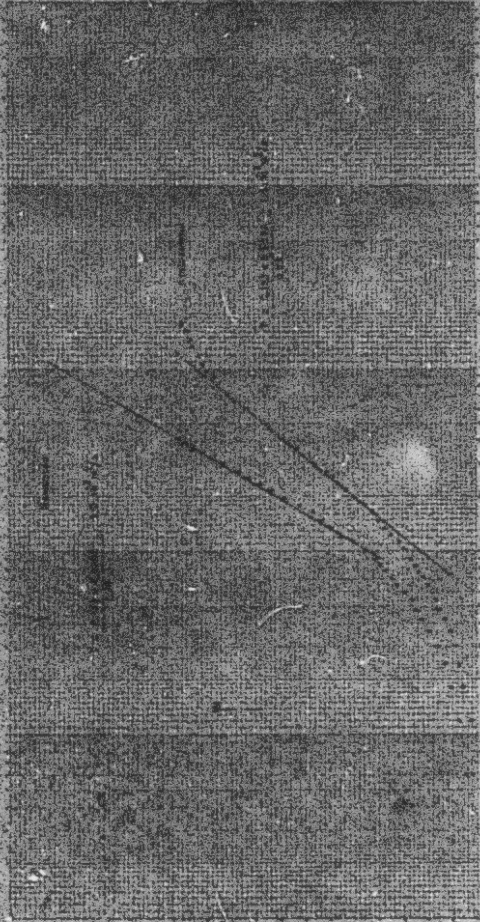
REDE DE TELEG

REDE

REDE

REDE

PLAINE DE THIBAR
GOUVERNEMENT DU
PLANS SEP/1
O.M. - 2 1/2



ESSAI SUR LA FUITE 6878/1

Niveau statique : 3,40 m
Profondeur totale: 10,11 m

| T en °sn | s en a | z | Q en l/s |
|---------------------------------|--------|---|----------|
| 0 | 0,00 | 1 | " |
| 1° | 0,01 | " | 6,8 |
| 2° | 0,03 | " | " |
| 3° | 0,04 | " | " |
| 4° | 0,05 | " | 2,7 |
| 5° | " | " | " |
| 6° | " | " | " |
| 7° | " | " | " |
| 8° | 0,06 | " | " |
| 9° | " | " | " |
| 10° | 0,07 | " | " |
| 11° | " | " | " |
| 12° | " | " | " |
| 13° | 0,08 | " | " |
| 14° | " | " | " |
| 15° | 0,09 | " | " |
| 17° | 0,10 | " | " |
| 19° | 0,12 | " | 6,0 |
| 21° | 0,17 | " | " |
| 23° | 0,20 | " | 2,9 |
| 25° | 0,21 | " | " |
| 27° | 0,22 | " | " |
| 30° | " | " | " |
| 33° | 0,28 | " | 6,8 |
| 36° | 0,36 | " | " |
| 39° | 0,44 | " | " |
| 42 | 0,46 | " | 4,9 |
| 45° | " | " | " |
| 50° | 0,57 | " | 6,8 |
| 1 H ₂ O | 0,76 | " | " |
| 210° | 0,77 | " | 2,9 |
| 20° | 0,79 | " | " |
| 30° | 0,82 | " | " |
| 40° | 0,84 | " | " |
| H ₂ O ^{50°} | 0,86 | " | " |
| 2 H ₂ O | 0,88 | " | " |
| 15° | 0,91 | " | " |
| 30° | 0,97 | " | " |
| 45° | 1,14 | " | 4,7 |
| 3 H ₂ O | 1,17 | " | " |
| 20° | 1,30 | " | 6,8 |
| 40° | 1,44 | " | " |
| H ₂ O | 1,48 | " | 2,0 |

The man is not seen.

PLAIN DE THAL

卷之三

卷之三

卷之三

卷之三

PLAINE DE THEBAK

89561 DU PONT 51261

000 x 6 9 1/4

LE RÉSEAU SUR LE FUITÉ 6917/1
le 23 - 6 - 74 de 0H à 8H20

Niveau statique = 7,76 m
Profondeur totale = 15,30 m

ébaissement

| T en min | S en a | Q en l/s |
|----------|--------|----------|
| 0 | 0 | 0 |
| 1* | 0,03 | 15 |
| 2* | 0,08 | " |
| 3* | 0,13 | " |
| 4* | 0,16 | " |
| 5* | 0,20 | " |
| 6* | 0,23 | " |
| 7* | 0,28 | " |
| 8* | 0,31 | " |
| 9* | 0,35 | " |
| 10* | 0,39 | " |
| 11* | 0,42 | " |
| 12* | 0,45 | " |
| 13* | 0,49 | " |
| 14* | 0,53 | " |
| 15* | 0,58 | " |
| 17* | 0,66 | " |
| 19* | 0,72 | " |
| 21* | 0,79 | " |
| 23* | 0,85 | " |
| 25* | 0,92 | " |
| 27* | 0,98 | " |
| 30* | 1,07 | " |
| 33* | 1,16 | " |
| 36* | 1,24 | " |
| 39* | 1,32 | 10,6 |
| 42* | 1,40 | " |
| 45* | 1,49 | " |
| 50* | 1,61 | 9,4 |
| 1* | 1,90 | " |
| 15* | 2,19 | " |
| 30* | 2,52 | 8,3 |
| 45* | 2,82 | " |
| 20* | 3,10 | " |
| | 3,45 | 7,5 |

 ENCONTRE DU PUITS 6937/1

| T en mn | s en m |
|-------------------|--------|
| 0 | 0 |
| 1 ⁺ | 0,01 |
| 2 ⁺ | " |
| 3 ⁺ | 0,02 |
| 4 ⁺ | " |
| 5 ⁺ | " |
| 6 ⁺ | 0,03 |
| 7 ⁺ | " |
| 8 ⁺ | 0,04 |
| 9 ⁺ | " |
| 10 ⁺ | 0,05 |
| 11 ⁺ | " |
| 12 ⁺ | 0,06 |
| 13 ⁺ | " |
| 14 ⁺ | 0,07 |
| 15 ⁺ | 0,08 |
| 17 ⁺ | 0,09 |
| 19 ⁺ | 0,10 |
| 21 ⁺ | " |
| 23 ⁺ | 0,11 |
| 25 ⁺ | " |
| 27 ⁺ | 0,12 |
| 30 ⁺ | 0,13 |
| 40 ⁺ | 0,17 |
| 50 ⁺ | 0,22 |
| 1 ^H 00 | 0,28 |
| 20 ⁺ | 0,37 |
| 40 ⁺ | 0,46 |
| 2 ^H 00 | 0,57 |
| 30 | 0,73 |
| 3 ^H 00 | 0,85 |
| 4 ^H 00 | 1,00 |
| 5 ^H 00 | 1,23 |
| 30 | 1,30 |
| 7 ^H 00 | 1,36 |

 ENCONTRE DU PUITS 6937/1

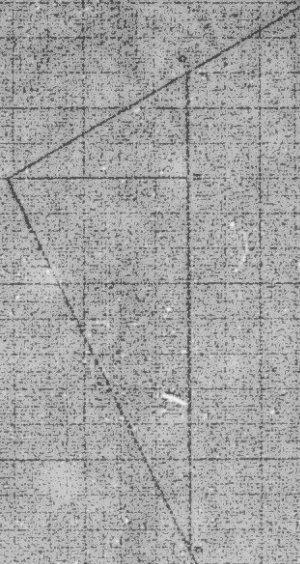
| T en mn | s en m |
|-------------------|--------|
| 0 | 0 |
| 1 ⁺ | 0,01 |
| 2 ⁺ | " |
| 3 ⁺ | 0,02 |
| 4 ⁺ | " |
| 5 ⁺ | " |
| 6 ⁺ | 0,03 |
| 7 ⁺ | " |
| 8 ⁺ | 0,04 |
| 9 ⁺ | " |
| 10 ⁺ | 0,05 |
| 11 ⁺ | " |
| 12 ⁺ | 0,06 |
| 13 ⁺ | " |
| 14 ⁺ | 0,07 |
| 15 ⁺ | 0,08 |
| 17 ⁺ | 0,09 |
| 19 ⁺ | 0,10 |
| 21 ⁺ | " |
| 23 ⁺ | 0,11 |
| 25 ⁺ | " |
| 27 ⁺ | 0,12 |
| 30 ⁺ | 0,13 |
| 40 ⁺ | 0,17 |
| 50 ⁺ | 0,22 |
| 1 ^H 00 | 0,28 |
| 20 ⁺ | 0,37 |
| 40 ⁺ | 0,46 |
| 2 ^H 00 | 0,57 |
| 30 | 0,73 |
| 3 ^H 00 | 0,85 |
| 4 ^H 00 | 1,00 |
| 5 ^H 00 | 1,23 |
| 30 | 1,30 |
| 7 ^H 00 | 1,36 |

PLATE LF SHEAR

Expt. No. 1 Part 1-11-61/1

14.234-5.2-60.6 (6.2)

Date 8/5/8



A scale 2:100

$\frac{0.234}{10} = 0.0234$

P INVENTAIRE DU PLATEAU S2N7/1

| T | ON | OFF | R | ON | OFF | R |
|------|----|-----|------|----|-----|---|
| 1° | 0 | 0 | 0,01 | 0 | 0 | 0 |
| 2° | + | + | 0,02 | + | + | 0 |
| 3° | + | + | 0,03 | + | + | 0 |
| 4° | + | + | 0,04 | + | + | 0 |
| 5° | + | + | 0,05 | + | + | 0 |
| 6° | + | + | 0,06 | + | + | 0 |
| 7° | + | + | 0,07 | + | + | 0 |
| 8° | + | + | 0,08 | + | + | 0 |
| 9° | + | + | 0,09 | + | + | 0 |
| 10° | + | + | 0,10 | + | + | 0 |
| 11° | + | + | 0,11 | + | + | 0 |
| 12° | + | + | 0,12 | + | + | 0 |
| 13° | + | + | 0,13 | + | + | 0 |
| 14° | + | + | 0,14 | + | + | 0 |
| 15° | + | + | 0,15 | + | + | 0 |
| 16° | + | + | 0,16 | + | + | 0 |
| 17° | + | + | 0,17 | + | + | 0 |
| 18° | + | + | 0,18 | + | + | 0 |
| 19° | + | + | 0,19 | + | + | 0 |
| 20° | + | + | 0,20 | + | + | 0 |
| 21° | + | + | 0,21 | + | + | 0 |
| 22° | + | + | 0,22 | + | + | 0 |
| 23° | + | + | 0,23 | + | + | 0 |
| 24° | + | + | 0,24 | + | + | 0 |
| 25° | + | + | 0,25 | + | + | 0 |
| 26° | + | + | 0,26 | + | + | 0 |
| 27° | + | + | 0,27 | + | + | 0 |
| 28° | + | + | 0,28 | + | + | 0 |
| 29° | + | + | 0,29 | + | + | 0 |
| 30° | + | + | 0,30 | + | + | 0 |
| 31° | + | + | 0,31 | + | + | 0 |
| 32° | + | + | 0,32 | + | + | 0 |
| 33° | + | + | 0,33 | + | + | 0 |
| 34° | + | + | 0,34 | + | + | 0 |
| 35° | + | + | 0,35 | + | + | 0 |
| 36° | + | + | 0,36 | + | + | 0 |
| 37° | + | + | 0,37 | + | + | 0 |
| 38° | + | + | 0,38 | + | + | 0 |
| 39° | + | + | 0,39 | + | + | 0 |
| 40° | + | + | 0,40 | + | + | 0 |
| 41° | + | + | 0,41 | + | + | 0 |
| 42° | + | + | 0,42 | + | + | 0 |
| 43° | + | + | 0,43 | + | + | 0 |
| 44° | + | + | 0,44 | + | + | 0 |
| 45° | + | + | 0,45 | + | + | 0 |
| 46° | + | + | 0,46 | + | + | 0 |
| 47° | + | + | 0,47 | + | + | 0 |
| 48° | + | + | 0,48 | + | + | 0 |
| 49° | + | + | 0,49 | + | + | 0 |
| 50° | + | + | 0,50 | + | + | 0 |
| 51° | + | + | 0,51 | + | + | 0 |
| 52° | + | + | 0,52 | + | + | 0 |
| 53° | + | + | 0,53 | + | + | 0 |
| 54° | + | + | 0,54 | + | + | 0 |
| 55° | + | + | 0,55 | + | + | 0 |
| 56° | + | + | 0,56 | + | + | 0 |
| 57° | + | + | 0,57 | + | + | 0 |
| 58° | + | + | 0,58 | + | + | 0 |
| 59° | + | + | 0,59 | + | + | 0 |
| 60° | + | + | 0,60 | + | + | 0 |
| 61° | + | + | 0,61 | + | + | 0 |
| 62° | + | + | 0,62 | + | + | 0 |
| 63° | + | + | 0,63 | + | + | 0 |
| 64° | + | + | 0,64 | + | + | 0 |
| 65° | + | + | 0,65 | + | + | 0 |
| 66° | + | + | 0,66 | + | + | 0 |
| 67° | + | + | 0,67 | + | + | 0 |
| 68° | + | + | 0,68 | + | + | 0 |
| 69° | + | + | 0,69 | + | + | 0 |
| 70° | + | + | 0,70 | + | + | 0 |
| 71° | + | + | 0,71 | + | + | 0 |
| 72° | + | + | 0,72 | + | + | 0 |
| 73° | + | + | 0,73 | + | + | 0 |
| 74° | + | + | 0,74 | + | + | 0 |
| 75° | + | + | 0,75 | + | + | 0 |
| 76° | + | + | 0,76 | + | + | 0 |
| 77° | + | + | 0,77 | + | + | 0 |
| 78° | + | + | 0,78 | + | + | 0 |
| 79° | + | + | 0,79 | + | + | 0 |
| 80° | + | + | 0,80 | + | + | 0 |
| 81° | + | + | 0,81 | + | + | 0 |
| 82° | + | + | 0,82 | + | + | 0 |
| 83° | + | + | 0,83 | + | + | 0 |
| 84° | + | + | 0,84 | + | + | 0 |
| 85° | + | + | 0,85 | + | + | 0 |
| 86° | + | + | 0,86 | + | + | 0 |
| 87° | + | + | 0,87 | + | + | 0 |
| 88° | + | + | 0,88 | + | + | 0 |
| 89° | + | + | 0,89 | + | + | 0 |
| 90° | + | + | 0,90 | + | + | 0 |
| 91° | + | + | 0,91 | + | + | 0 |
| 92° | + | + | 0,92 | + | + | 0 |
| 93° | + | + | 0,93 | + | + | 0 |
| 94° | + | + | 0,94 | + | + | 0 |
| 95° | + | + | 0,95 | + | + | 0 |
| 96° | + | + | 0,96 | + | + | 0 |
| 97° | + | + | 0,97 | + | + | 0 |
| 98° | + | + | 0,98 | + | + | 0 |
| 99° | + | + | 0,99 | + | + | 0 |
| 100° | + | + | 1,00 | + | + | 0 |

ESSAI SUR LE PUIT 6944/1
le 22 - 6 - 74 de 7^H₃₀ à 11^H₃₀

$$Q_{\text{in}} = 10,7 \text{ l/s}$$

Niveau statique : 5,10 m
Profondeur totale: 10,30 m

| T en m | s en m |
|-------------------|--------|
| 0° | 0,00 |
| 1° | 0,02 |
| 2° | 0,03 |
| 3° | 0,04 |
| 4° | 0,05 |
| 5° | 0,06 |
| 6° | 0,07 |
| 7° | 0,08 |
| 8° | 0,09 |
| 9° | 0,10 |
| 10° | 0,11 |
| 11° | 0,12 |
| 12° | " |
| 13° | 0,13 |
| 14° | " |
| 15° | 0,14 |
| 17° | 0,15 |
| 19° | 0,16 |
| 21° | 0,17 |
| 23° | 0,18 |
| 25° | 0,19 |
| 27° | 0,20 |
| 30° | 0,21 |
| 33° | 0,22 |
| 36° | 0,23 |
| 39° | 0,24 |
| 42° | 0,25 |
| 45° | 0,26 |
| 50° | 0,27 |
| 1 ^H 00 | 0,29 |
| 10° | 0,31 |
| 20° | 0,33 |
| 30° | 0,35 |
| 40° | 0,37 |
| 50° | 0,38 |
| 2 ^H 00 | 0,39 |
| 15° | 0,43 |
| 30° | 0,46 |
| 45° | 0,49 |
| 3 ^H 00 | 0,52 |
| 30° | 0,58 |
| 4 ^H 00 | 0,65 |



EMONTE DU PUIT 6944/1

| T en s | s ² en m |
|--------|---------------------|
| 0 | 0,00 |
| 60 | 0,02 |
| 120 | 0,03 |
| 180 | 0,04 |
| 240 | 0,06 |
| 300 | 0,07 |
| 360 | 0,08 |
| 420 | 0,09 |
| 480 | 0,10 |
| 540 | 0,11 |
| 600 | 0,12 |
| 660 | 0,13 |
| 720 | 0,14 |
| 780 | 0,15 |
| 840 | 0,16 |
| 900 | 0,17 |
| 1020 | 0,18 |
| 1140 | 0,19 |
| 1260 | 0,20 |
| 1380 | 0,21 |
| 1500 | 0,22 |
| 1620 | 0,23 |
| 1800 | 0,24 |
| 2100 | 0,27 |
| 2400 | 0,29 |
| 3000 | 0,31 |
| 3600 | 0,32 |
| 4200 | 0,33 |
| 4800 | 0,35 |
| 5400 | 0,37 |
| 6300 | 0,39 |
| 7200 | 0,40 |
| 8400 | " |
| 9600 | 0,42 |
| 10800 | 0,43 |
| 12600 | 0,44 |
| 14400 | 0,45 |
| 18000 | 0,47 |
| 21600 | 0,48 |
| 28800 | 0,49 |
| 36000 | 0,50 |
| 43200 | 0,51 |

PLATE 11
FIGURE 1

1000
800
600
400
200
0

1000
800
600
400
200
0

1000
800
600
400
200
0

1000
800
600
400
200
0

1000
800
600
400
200
0

1000
800
600
400
200
0

1000
800
600
400
200
0

1000
800
600
400
200
0

1000
800
600
400
200
0

1000
800
600
400
200
0

1000
800
600
400
200
0

1000
800
600
400
200
0

1000
800
600
400
200
0

1000
800
600
400
200
0

PLANE DE THIBAR

CHARTER DE LA MONTAGNE DU PUY DE DOME

D'après la

PLANE DE THIBAR

CHARTER DE LA MONTAGNE DU PUY DE DOME

D'après la

ESSAI SUR LE PUITS 6943/1

Le 11-7-74 de 7^H à 11^H 30'

Q = 10,7 l/s

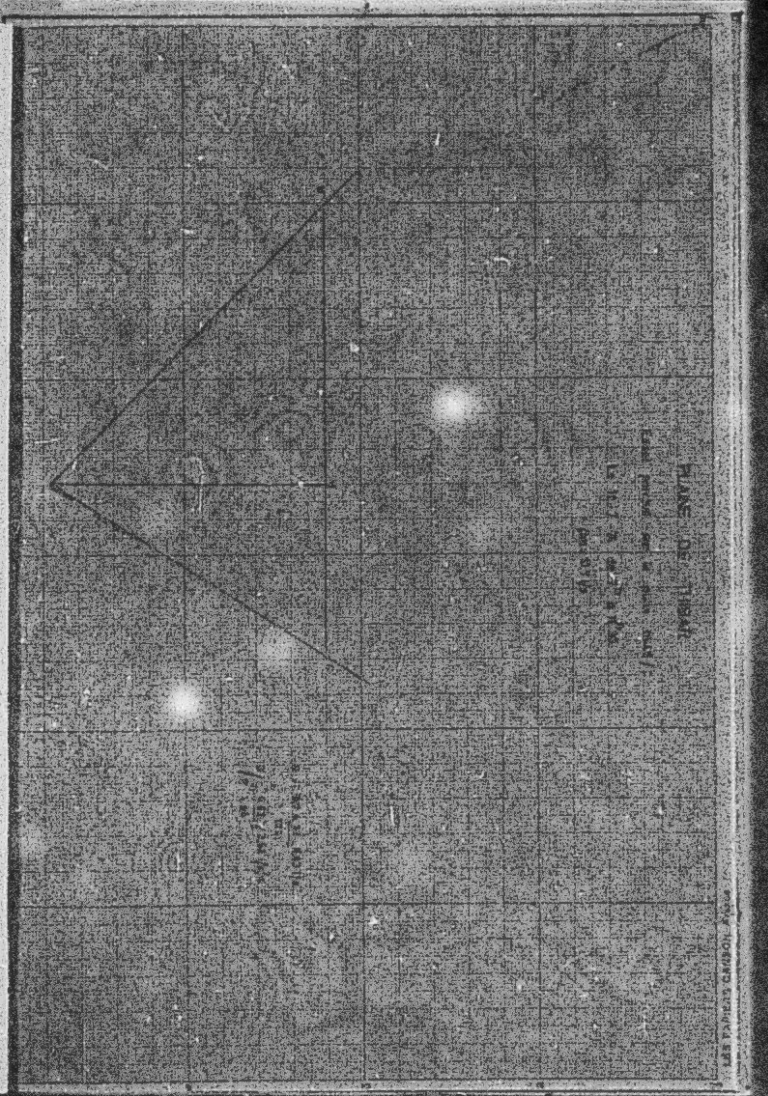
Niveau statique = 4,65 =

Profondeur totale = 10,79 =

| T en mn | S en m |
|-------------------|--------|
| 0' | 0,00 |
| 1' | 0,02 |
| 2' | 0,04 |
| 3' | 0,05 |
| 4' | 0,07 |
| 5' | 0,09 |
| 6' | 0,10 |
| 7' | 0,11 |
| 8' | 0,12 |
| 9' | 0,13 |
| 10' | 0,14 |
| 11' | " |
| 12' | 0,15 |
| 13' | 0,16 |
| 14' | 0,17 |
| 15' | 0,18 |
| 17' | 0,20 |
| 19' | 0,22 |
| 21' | 0,24 |
| 23' | 0,27 |
| 25' | 0,28 |
| 27' | 0,30 |
| 30' | 0,33 |
| 33' | 0,36 |
| 36' | 0,39 |
| 39' | 0,42 |
| 42' | 0,43 |
| 45' | 0,45 |
| 50' | 0,49 |
| 1 ^H 00 | 0,56 |
| 10' | 0,64 |
| 20' | 0,70 |
| 30' | 0,79 |
| 40' | 0,89 |
| 50' | 0,96 |
| 2 ^H 00 | 1,01 |
| 15' | 1,15 |
| 30' | 1,25 |
| 45' | 1,36 |
| 3 ^H 00 | 1,45 |
| 20' | 1,56 |
| 40' | 1,69 |
| 4 ^H 00 | 1,76 |
| 20' | 1,88 |

MONTE DU PUITS 6945/1

| t en s | a ¹ en m |
|--------|---------------------|
| 0 | 0,00 |
| 60 | 0,01 |
| 120 | " |
| 180 | 0,02 |
| 240 | 0,03 |
| 300 | 0,04 |
| 360 | 0,05 |
| 420 | 0,06 |
| 480 | 0,07 |
| 540 | " |
| 600 | 0,08 |
| 660 | 0,09 |
| 720 | 0,10 |
| 780 | " |
| 840 | 0,11 |
| 900 | 0,12 |
| 1020 | 0,13 |
| 1140 | 0,14 |
| 1260 | 0,16 |
| 1380 | 0,18 |
| 1500 | 0,19 |
| 1620 | 0,21 |
| 1800 | 0,23 |
| 2100 | 0,25 |
| 2400 | 0,28 |
| 3000 | 0,40 |
| 3600 | 0,54 |
| 4500 | 0,61 |
| 5400 | 0,64 |
| 6300 | 0,73 |
| 7200 | 0,82 |
| 9000 | 1,00 |
| 10800 | 1,13 |
| 12600 | 1,24 |
| 14400 | 1,36 |
| 18000 | 1,44 |
| 21600 | 1,53 |
| 25200 | 1,65 |



PLUME DE THOMAS

DE LA MONQUETTE DU RUE 425/1

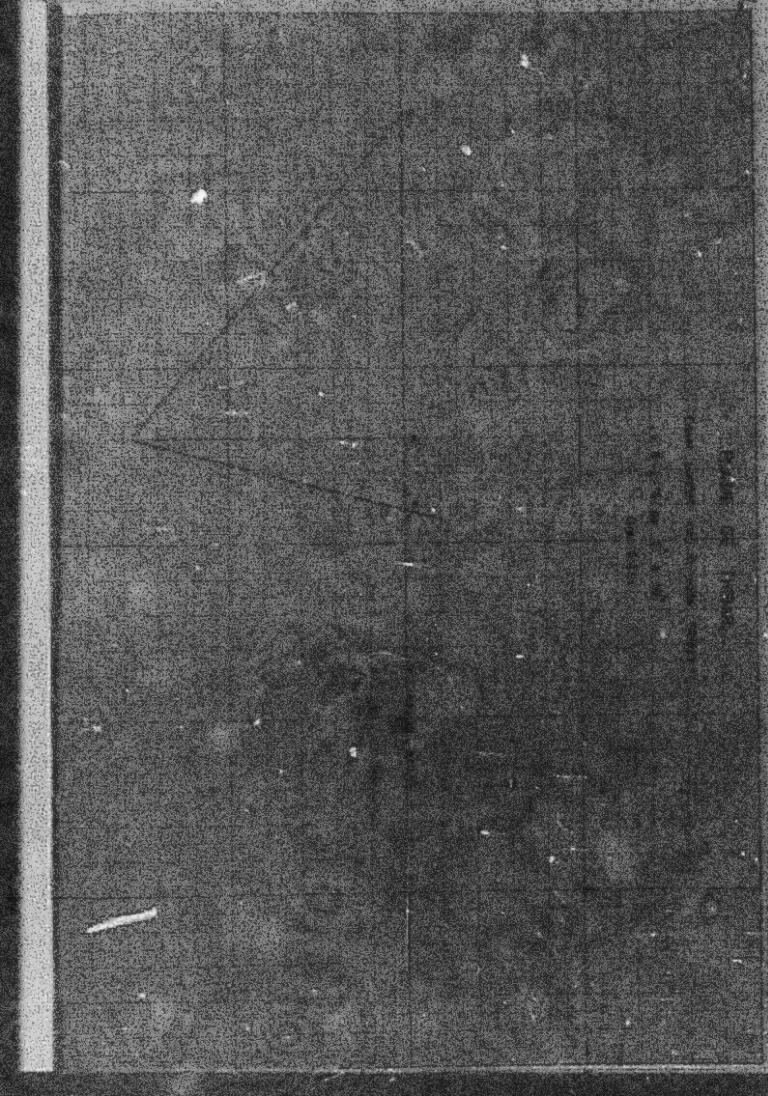
OS 2 12/12

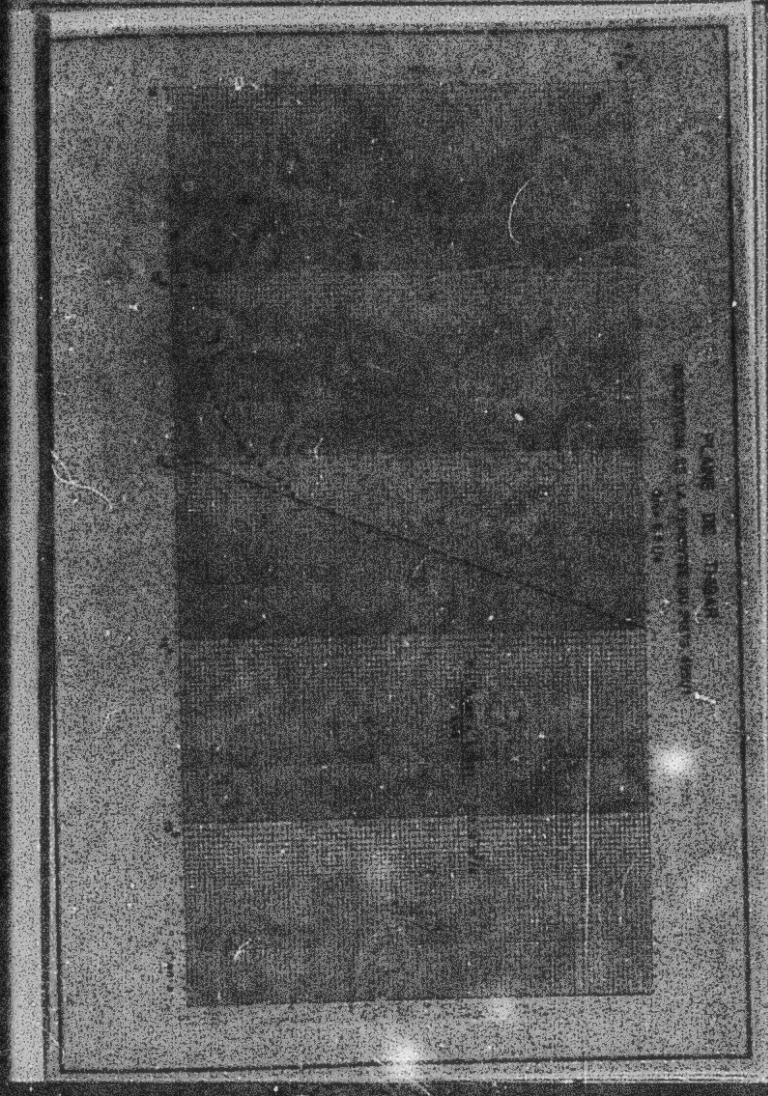
ESAI SUR LE FUITS 6951/1
 1-6-7-74 10 6 7 10
 Q = 6,8 l/s

Niveau statique : 7,77 m
 Profondeur totale 9,61 m

| T en mn | s en m |
|-------------------|--------|
| 0 | 0,00 |
| 1 | 0,01 |
| 2 | 0,03 |
| 3 | 0,04 |
| 4 | 0,05 |
| 5 | 0,06 |
| 6 | 0,08 |
| 7 | 0,10 |
| 8 | 0,11 |
| 9 | 0,12 |
| 10 | 0,13 |
| 11 | 0,15 |
| 12 | 0,16 |
| 13 | 0,18 |
| 14 | 0,19 |
| 15 | 0,20 |
| 17 | 0,22 |
| 19 | 0,25 |
| 21 | 0,27 |
| 23 | 0,29 |
| 25 | 0,32 |
| 27 | 0,34 |
| 30 | 0,38 |
| 33 | 0,42 |
| 36 | 0,46 |
| 39 | 0,48 |
| 42 | 0,51 |
| 45 | 0,54 |
| 50 | 0,58 |
| 1 ^H 00 | 0,69 |
| 10 | 0,78 |
| 20 | 0,86 |
| 30 | 0,96 |
| 40 | 1,03 |
| 50 | 1,12 |
| 2 ^H 00 | 1,17 |
| 15 | 1,26 |
| 30 | 1,35 |
| 45 | 1,45 |
| 3 ^H 00 | 1,51 |
| 20 | 1,59 |
| 40 | 1,70 |
| 4 ^H 00 | 1,77 |

| <i>H</i> | <i>E</i> | <i>T</i> | <i>S</i> | <i>R</i> | <i>A</i> |
|----------|----------|----------|----------|----------|----------|
| 0 | 0 | 0 | 0 | 0,00 | 0 |
| 120 | 0 | 0 | 0 | 0,02 | 0 |
| 130 | 0 | 0 | 0 | 0,04 | 0 |
| 140 | 0 | 0 | 0 | 0,06 | 0 |
| 150 | 0 | 0 | 0 | 0,08 | 0 |
| 160 | 0 | 0 | 0 | 0,10 | 0 |
| 170 | 0 | 0 | 0 | 0,12 | 0 |
| 180 | 0 | 0 | 0 | 0,14 | 0 |
| 190 | 0 | 0 | 0 | 0,15 | 0 |
| 200 | 0 | 0 | 0 | 0,17 | 0 |
| 210 | 0 | 0 | 0 | 0,18 | 0 |
| 220 | 0 | 0 | 0 | 0,21 | 0 |
| 230 | 0 | 0 | 0 | 0,23 | 0 |
| 240 | 0 | 0 | 0 | 0,25 | 0 |
| 250 | 0 | 0 | 0 | 0,26 | 0 |
| 260 | 0 | 0 | 0 | 0,28 | 0 |
| 1000 | 0 | 0 | 0 | 0,32 | 0 |
| 1100 | 0 | 0 | 0 | 0,35 | 0 |
| 1200 | 0 | 0 | 0 | 0,38 | 0 |
| 1300 | 0 | 0 | 0 | 0,42 | 0 |
| 1400 | 0 | 0 | 0 | 0,45 | 0 |
| 1500 | 0 | 0 | 0 | 0,47 | 0 |
| 1600 | 0 | 0 | 0 | 0,50 | 0 |
| 1700 | 0 | 0 | 0 | 0,53 | 0 |
| 1800 | 0 | 0 | 0 | 0,57 | 0 |
| 1900 | 0 | 0 | 0 | 0,60 | 0 |
| 2000 | 0 | 0 | 0 | 0,63 | 0 |
| 2100 | 0 | 0 | 0 | 0,72 | 0 |
| 2200 | 0 | 0 | 0 | 0,76 | 0 |
| 2300 | 0 | 0 | 0 | 0,86 | 0 |
| 1800 | 0 | 0 | 0 | 1,03 | 0 |
| 4000 | 0 | 0 | 0 | 1,18 | 0 |
| 4500 | 0 | 0 | 0 | 1,31 | 0 |
| 5000 | 0 | 0 | 0 | 1,43 | 0 |
| 6000 | 0 | 0 | 0 | 1,50 | 0 |
| 7000 | 0 | 0 | 0 | 1,67 | 0 |
| 8000 | 0 | 0 | 0 | 1,77 | 0 |





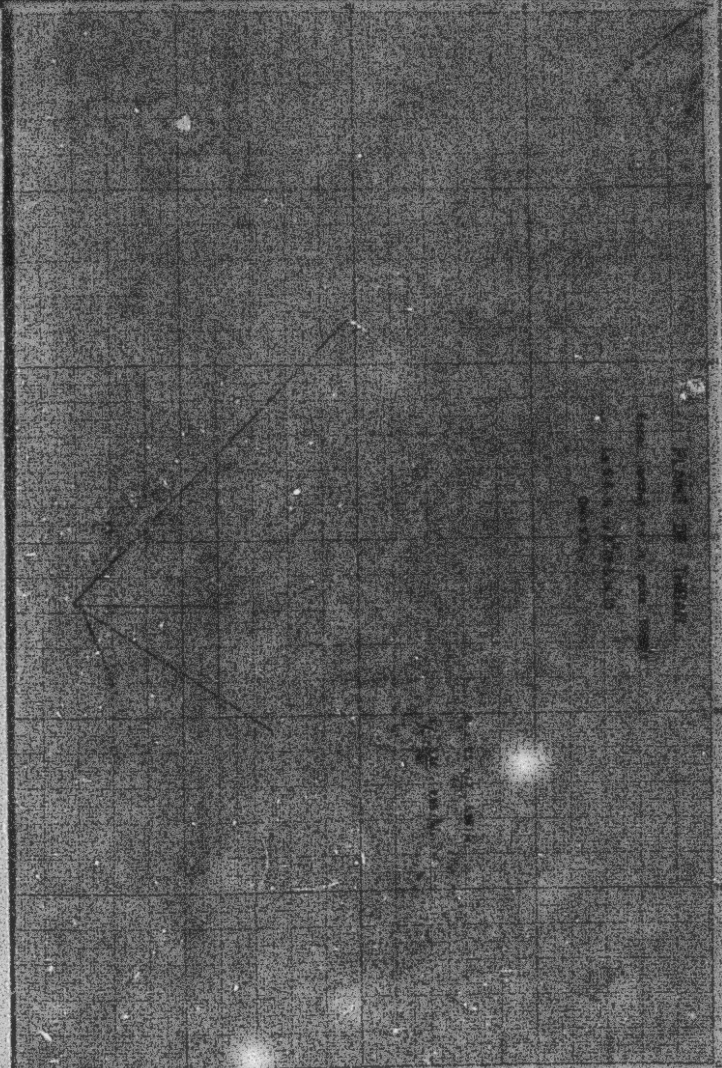
E SOI SUR LE MITS 6959/1

Le 6-11-62 de 6^h42 à 18^h20

Q = 9,5 l/s

Niveau statique : 2,75 m
Profondeur totale : 3,33,54 m

| ABAISSEMENT | | | ELEVATION | | |
|-------------------------|----------------|--------|----------------|------|--|
| tout ^e en mm | s ^e | e en z | s ^e | en z | |
| 0 | | 0 | | 0 | |
| 1° | | 0,04 | | 0,02 | |
| 2° | | 0,07 | | 0,06 | |
| 3° | | 0,10 | | 0,09 | |
| 4° | | 0,15 | | 0,10 | |
| 5° | | 0,17 | | 0,11 | |
| 6° | | 0,20 | | 0,12 | |
| 7° | | 0,25 | | 0,13 | |
| 8° | | 0,28 | | 0,14 | |
| 9° | | 0,33 | | 0,15 | |
| 10° | | 0,35 | | 0,17 | |
| 11° | | 0,36 | | 0,18 | |
| 12° | | 0,41 | | 0,19 | |
| 13° | | 0,44 | | 0,20 | |
| 14° | | 0,48 | | 0,21 | |
| 15° | | 0,51 | | 0,22 | |
| 17° | | 0,57 | | 0,24 | |
| 19° | | 0,62 | | 0,26 | |
| 21° | | 0,69 | | 0,28 | |
| 23° | | 0,75 | | 0,31 | |
| 25° | | 0,81 | | 0,33 | |
| 27° | | 0,86 | | 0,36 | |
| 30° | | 0,97 | | 0,39 | |
| 33° | | 1,06 | | 0,41 | |
| 36° | | 1,15 | | 0,43 | |
| 39° | | 1,23 | | 0,46 | |
| 42° | | 1,31 | | 0,50 | |
| 45° | | 1,40 | | 0,52 | |
| 50° | | 1,65 | | 0,58 | |
| 1° | | 1,83 | | 0,68 | |
| 10° | | 2,11 | | 0,76 | |
| 20° | | 2,37 | | 0,85 | |
| 30° | | 2,63 | | 0,94 | |
| 40° | | 2,99 | | 1,03 | |
| 50° | | 3,13 | | 1,10 | |
| 200° | | 3,43 | | 1,19 | |
| 15° | | 3,86 | | 1,36 | |
| 30° | | 4,24 | | 1,48 | |
| 45° | | 4,65 | | 1,61 | |
| 3° | | 5,01 | | 1,76 | |
| 20° | | 5,51 | | 1,95 | |
| 200° | | 6,23 | | 2,11 | |
| 4° | | 6,74 | | 2,29 | |
| 30° | | 7,44 | | | |
| 50° | | 8,14 | | | |
| 35° | | 9,01 | | | |



NAME DE THIRAN

ESSAI N° PLATE 6196 /
On 11/12/

LE TERRAIN DES 12 Puits (6401/1)
Le 22-7-74 de 6^h40 à 8^h30
Qs = 7,5 l/s

Niveau statique
 Profondeur totale

| ABALESSMENT | | | PROFONDEUR | | |
|---------------------|------|--|---------------------|------|--|
| t ou z ^h | en m | | t ou z ^h | en m | |
| 0 | 0,00 | | 0 | 0,00 | |
| 60 | 0,05 | | 60 | 0,11 | |
| 120 | 0,10 | | 120 | 0,14 | |
| 180 | 0,12 | | 180 | 0,16 | |
| 240 | 0,16 | | 240 | 0,19 | |
| 300 | 0,19 | | 300 | 0,21 | |
| 360 | 0,23 | | 360 | 0,23 | |
| 420 | 0,25 | | 420 | 0,24 | |
| 480 | 0,24 | | 480 | " | |
| 540 | 0,25 | | 540 | " | |
| 600 | 0,26 | | 600 | " | |
| 660 | 0,27 | | 660 | " | |
| 720 | 0,28 | | 720 | 0,26 | |
| 780 | 0,30 | | 780 | 0,26 | |
| 840 | 0,31 | | 840 | 0,27 | |
| 900 | " | | 900 | 0,28 | |
| 1020 | 0,33 | | 1020 | 0,31 | |
| 1140 | 0,35 | | 1140 | 0,33 | |
| 1260 | 0,36 | | 1260 | 0,35 | |
| 1380 | 0,37 | | 1380 | 0,37 | |
| 1500 | 0,38 | | 1500 | " | |
| 1620 | 0,39 | | 1620 | 0,38 | |
| 1800 | 0,40 | | 1800 | 0,39 | |
| 1990 | 0,41 | | 1990 | 0,40 | |
| 2160 | 0,42 | | 2160 | " | |
| 2340 | 0,43 | | 2340 | 0,41 | |
| 2520 | 0,44 | | 2520 | 0,42 | |
| 2700 | 0,44 | | 2700 | 0,43 | |
| 3000 | 0,45 | | 3000 | 0,44 | |
| 3600 | 0,47 | | 3600 | 0,45 | |
| 4200 | 0,51 | | 4200 | 0,48 | |
| 4800 | 0,56 | | 4800 | 0,52 | |
| 5400 | 0,59 | | 5400 | 0,55 | |

100% COTTON

PLAINE DE THIBAR

OBSERVATION DU PUPS 6961/1

Om = 75.1

LE SNAIL TUN LE FRUIT 6466/1
Le 8-7-74 à 7'35" ± 12'95

Qn = 4,7 3/5

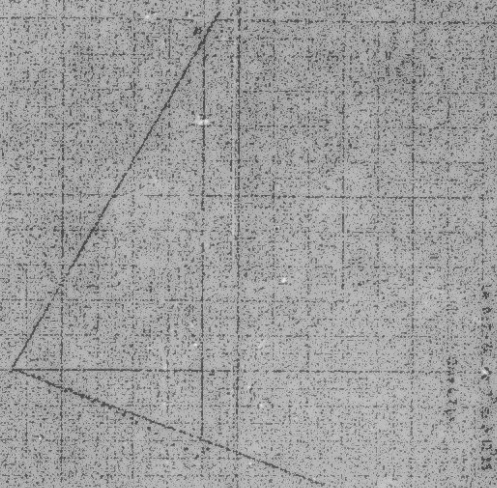
Niveau statique : 7,26 m

Profondeur totale: 14,73 m

| ABAISSEMENT | | | REMONTÉE | | |
|-------------------|---|--------|----------|--------|--|
| T en mn. | ± | m cm m | ± | m cm m | |
| 0 | ± | 0 | ± | 0 | |
| 1° | ± | 0,01 | ± | 0,03 | |
| 2° | ± | 0,02 | ± | 0,04 | |
| 3° | ± | 0,03 | ± | 0,06 | |
| 4° | ± | 0,04 | ± | 0,06 | |
| 5° | ± | 0,05 | ± | 0,09 | |
| 6° | ± | 0,06 | ± | 0,10 | |
| 7° | ± | 0,07 | ± | 0,11 | |
| 8° | ± | 0,07 | ± | 0,12 | |
| 9° | ± | 0,08 | ± | 0,13 | |
| 10° | ± | 0,09 | ± | 0,14 | |
| 11° | ± | 0,10 | ± | 0,15 | |
| 12° | ± | " | ± | 0,16 | |
| 13° | ± | 0,11 | ± | 0,18 | |
| 14° | ± | " | ± | 0,20 | |
| 15° | ± | 0,12 | ± | 0,22 | |
| 17° | ± | 0,13 | ± | 0,23 | |
| 19° | ± | 0,14 | ± | 0,26 | |
| 20° | ± | 0,15 | ± | 0,28 | |
| 23° | ± | 0,16 | ± | 0,30 | |
| 25° | ± | 0,17 | ± | 0,32 | |
| 27° | ± | 0,20 | ± | 0,34 | |
| 30° | ± | 0,21 | ± | 0,36 | |
| 33° | ± | 0,23 | ± | 0,39 | |
| 36° | ± | 0,24 | ± | 0,41 | |
| 39° | ± | 0,26 | ± | 0,43 | |
| 42° | ± | 0,26 | ± | 0,46 | |
| 45° | ± | 0,29 | ± | 0,50 | |
| 50° | ± | 0,30 | ± | 0,53 | |
| 1 ^H 00 | ± | 0,40 | ± | 0,64 | |
| 10° | ± | 0,44 | ± | 0,71 | |
| 20° | ± | 0,48 | ± | 0,78 | |
| 30° | ± | 0,50 | ± | 0,86 | |
| 40° | ± | 0,53 | ± | - | |
| 45° | ± | - | ± | 0,93 | |
| 50° | ± | 0,56 | ± | - | |
| 2 ^H 00 | ± | 0,60 | ± | 1,04 | |
| 15° | ± | 0,64 | ± | - | |
| 20° | ± | - | ± | 1,14 | |
| 30° | ± | 0,70 | ± | - | |
| 45° | ± | 0,73 | ± | - | |
| 3 ^H 00 | ± | 0,78 | ± | - | |
| 30° | ± | 0,85 | ± | - | |
| 40° | ± | 0,90 | ± | - | |
| 4 ^H 00 | ± | 0,95 | ± | - | |
| 30° | ± | 1,04 | ± | - | |
| 5 ^H 00 | ± | 1,14 | ± | - | |

PLAINE DE
TROIS RIVIÈRES
et environs

Éditions de la Société historique de Trois-Rivières



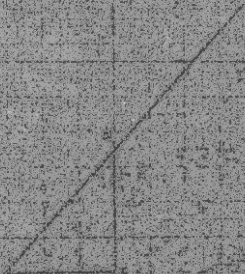
Graph of $y = \sqrt{x}$
and $y = -x + 3.5$

Profondeur totale = 19,27 m

| Sample | Depth (m) | Conc. (ppm) |
|--------|-----------|-------------|
| 1 | 0-10 | 0.01 |
| 2 | 10-20 | 0.02 |
| 3 | 20-30 | 0.03 |
| 4 | 30-40 | 0.04 |
| 5 | 40-50 | 0.05 |
| 6 | 50-60 | 0.06 |
| 7 | 60-70 | 0.07 |
| 8 | 70-80 | 0.08 |
| 9 | 80-90 | 0.09 |
| 10 | 90-100 | 0.10 |
| 11 | 100-110 | 0.11 |
| 12 | 110-120 | 0.12 |
| 13 | 120-130 | 0.13 |
| 14 | 130-140 | 0.14 |
| 15 | 140-150 | 0.15 |
| 16 | 150-160 | 0.16 |
| 17 | 160-170 | 0.17 |
| 18 | 170-180 | 0.18 |
| 19 | 180-190 | 0.19 |
| 20 | 190-200 | 0.20 |
| 21 | 200-210 | 0.21 |
| 22 | 210-220 | 0.22 |
| 23 | 220-230 | 0.23 |
| 24 | 230-240 | 0.24 |
| 25 | 240-250 | 0.25 |
| 26 | 250-260 | 0.26 |
| 27 | 260-270 | 0.27 |
| 28 | 270-280 | 0.28 |
| 29 | 280-290 | 0.29 |
| 30 | 290-300 | 0.30 |
| 31 | 300-310 | 0.31 |
| 32 | 310-320 | 0.32 |
| 33 | 320-330 | 0.33 |
| 34 | 330-340 | 0.34 |
| 35 | 340-350 | 0.35 |
| 36 | 350-360 | 0.36 |
| 37 | 360-370 | 0.37 |
| 38 | 370-380 | 0.38 |
| 39 | 380-390 | 0.39 |
| 40 | 390-400 | 0.40 |
| 41 | 400-410 | 0.41 |
| 42 | 410-420 | 0.42 |
| 43 | 420-430 | 0.43 |
| 44 | 430-440 | 0.44 |
| 45 | 440-450 | 0.45 |
| 46 | 450-460 | 0.46 |
| 47 | 460-470 | 0.47 |
| 48 | 470-480 | 0.48 |
| 49 | 480-490 | 0.49 |
| 50 | 490-500 | 0.50 |
| 51 | 500-510 | 0.51 |
| 52 | 510-520 | 0.52 |
| 53 | 520-530 | 0.53 |
| 54 | 530-540 | 0.54 |
| 55 | 540-550 | 0.55 |
| 56 | 550-560 | 0.56 |
| 57 | 560-570 | 0.57 |
| 58 | 570-580 | 0.58 |
| 59 | 580-590 | 0.59 |
| 60 | 590-600 | 0.60 |
| 61 | 600-610 | 0.61 |
| 62 | 610-620 | 0.62 |
| 63 | 620-630 | 0.63 |
| 64 | 630-640 | 0.64 |
| 65 | 640-650 | 0.65 |
| 66 | 650-660 | 0.66 |
| 67 | 660-670 | 0.67 |
| 68 | 670-680 | 0.68 |
| 69 | 680-690 | 0.69 |
| 70 | 690-700 | 0.70 |
| 71 | 700-710 | 0.71 |
| 72 | 710-720 | 0.72 |
| 73 | 720-730 | 0.73 |
| 74 | 730-740 | 0.74 |
| 75 | 740-750 | 0.75 |
| 76 | 750-760 | 0.76 |
| 77 | 760-770 | 0.77 |
| 78 | 770-780 | 0.78 |
| 79 | 780-790 | 0.79 |
| 80 | 790-800 | 0.80 |
| 81 | 800-810 | 0.81 |
| 82 | 810-820 | 0.82 |
| 83 | 820-830 | 0.83 |
| 84 | 830-840 | 0.84 |
| 85 | 840-850 | 0.85 |
| 86 | 850-860 | 0.86 |
| 87 | 860-870 | 0.87 |
| 88 | 870-880 | 0.88 |
| 89 | 880-890 | 0.89 |
| 90 | 890-900 | 0.90 |
| 91 | 900-910 | 0.91 |
| 92 | 910-920 | 0.92 |
| 93 | 920-930 | 0.93 |
| 94 | 930-940 | 0.94 |
| 95 | 940-950 | 0.95 |
| 96 | 950-960 | 0.96 |
| 97 | 960-970 | 0.97 |
| 98 | 970-980 | 0.98 |
| 99 | 980-990 | 0.99 |
| 100 | 990-1000 | 1.00 |

PLATE 24 FIG. A

SECTION
SOUTH
1627 ft. 0.81 ft.
6113 ft.

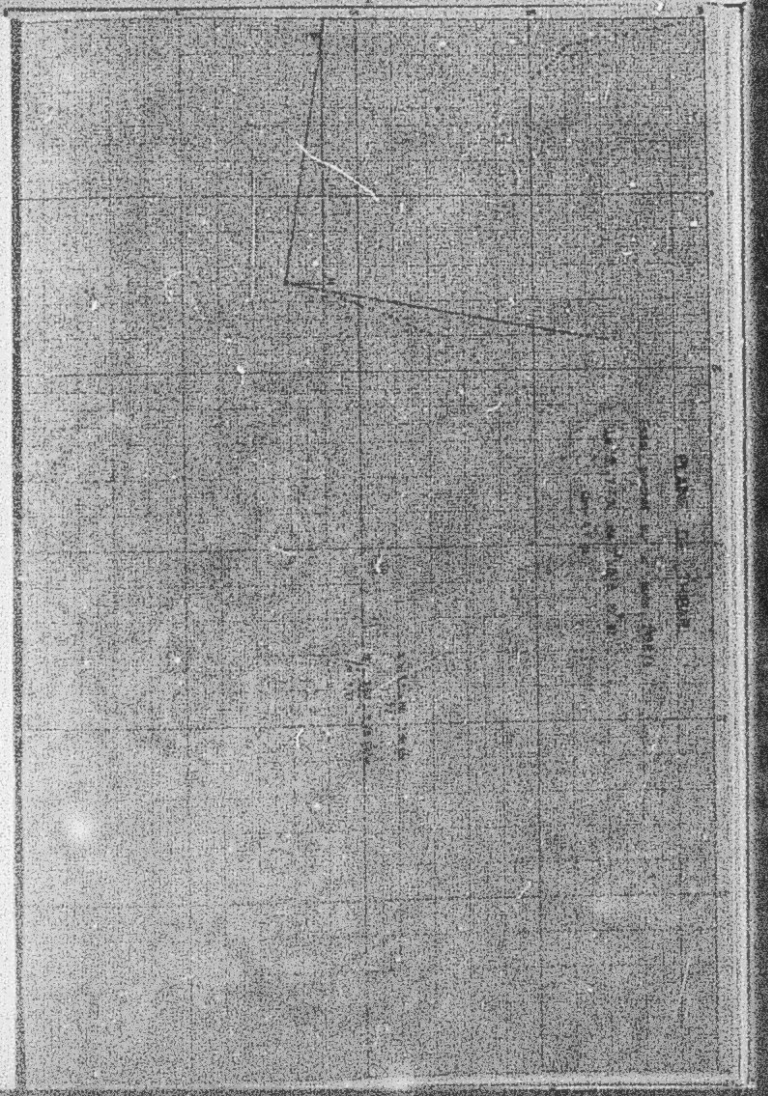


LE SENS SUR LE POINTS TIREZ

Niveau statique : 6,52 m
Profondeur totale : 6,91 m

| T en mm | S en m | Q en l/s |
|---------|--------|----------|
| 0 | 0,00 | |
| 1° | 0,03 | 4,7 |
| 2° | 0,07 | " |
| 3° | 0,09 | " |
| 4° | 0,11 | " |
| 5° | 0,14 | " |
| 6° | 0,16 | " |
| 7° | 0,19 | " |
| 8° | 0,22 | " |
| 9° | 0,25 | " |
| 10° | 0,28 | " |
| 11° | 0,32 | " |
| 12° | 0,33 | " |
| 13° | 0,36 | " |
| 14° | 0,38 | " |
| 15° | 0,39 | 4,0 |
| 16° | 0,43 | " |
| 17° | 0,41 | " |
| 18° | 0,42 | " |
| 19° | 0,43 | " |
| 20° | 0,44 | " |
| 21° | 0,45 | " |
| 22° | 0,47 | " |
| 23° | 0,49 | " |
| 24° | 0,54 | " |
| 25° | 0,59 | " |
| 26° | 0,64 | " |
| 27° | 0,69 | " |
| 28° | 0,76 | " |
| 29° | 0,80 | " |
| 30° | 0,87 | " |
| 31° | 1,03 | " |
| 32° | 1,09 | " |
| 33° | 1,14 | " |
| 34° | 1,16 | " |
| 35° | 1,19 | " |
| 36° | 1,20 | " |
| 37° | 1,21 | " |

| T en s | z en m |
|--------|--------|
| 0 | 0,00 |
| 60 | 0,04 |
| 120 | 0,07 |
| 180 | 0,09 |
| 240 | 0,11 |
| 300 | 0,13 |
| 360 | 0,14 |
| 420 | 0,16 |
| 480 | " |
| 540 | 0,17 |
| 600 | 0,19 |
| 660 | 0,20 |
| 720 | 0,21 |
| 780 | 0,22 |
| 840 | 0,24 |
| 900 | 0,25 |
| 1020 | 0,28 |
| 1140 | 0,30 |
| 1260 | 0,32 |
| 1380 | 0,35 |
| 1500 | 0,37 |
| 1620 | 0,39 |
| 1680 | 0,42 |
| 1980 | 0,44 |
| 2160 | 0,48 |
| 2340 | 0,51 |
| 2520 | 0,54 |
| 2700 | 0,55 |
| 3000 | 0,60 |
| 3600 | 0,69 |
| 4200 | 0,75 |
| 4800 | 0,79 |
| 5400 | 0,84 |
| 6000 | 0,88 |
| 6600 | 0,92 |
| 7200 | 0,94 |
| 8100 | 0,96 |
| 9000 | 1,04 |
| 9900 | 1,06 |
| 10800 | 1,08 |
| 12000 | 1,11 |
| 13200 | 1,13 |
| 14500 | 1,15 |
| 16200 | 1,18 |
| 18000 | 1,21 |



PLAINE DE TIBAR

OBSERVATION DE LA REPONTEE DU FURS 71251

6m 211/2

EE SSAI 504 11 FWT9 7129/1

16:26 (at 7h 16^H30' & 13^H30')

On 11-5-02 2/5

11-1965-12 023044 C720

Profondur totale : 11,31 m

| ABAISSEMENT | | REMONTÉE | |
|-------------|--------|----------|--------|
| t en s | s en m | t en s | s en m |
| 60 | 0,01 | 60 | 0,01 |
| 120 | 0,02 | 120 | 0,03 |
| 180 | 0,03 | 180 | 0,05 |
| 240 | 0,05 | 240 | 0,06 |
| 300 | 0,07 | 300 | 0,08 |
| 360 | 0,08 | 360 | 0,10 |
| 420 | 0,09 | 420 | 0,12 |
| 480 | 0,11 | 480 | 0,13 |
| 540 | 0,13 | 540 | 0,15 |
| 600 | 0,14 | 600 | 0,17 |
| 660 | 0,15 | 660 | 0,18 |
| 720 | 0,16 | 720 | 0,20 |
| 780 | 0,18 | 780 | 0,22 |
| 840 | 0,20 | 840 | 0,23 |
| 900 | 0,22 | 900 | 0,25 |
| 1020 | 0,26 | 1020 | 0,28 |
| 1140 | 0,29 | 1140 | 0,32 |
| 1260 | 0,32 | 1260 | 0,35 |
| 1380 | 0,34 | 1380 | 0,38 |
| 1500 | 0,35 | 1500 | 0,41 |
| 1620 | 0,37 | 1620 | 0,44 |
| 1800 | 0,38 | 1800 | 0,47 |
| 1980 | 0,40 | 1980 | 0,51 |
| 2160 | 0,43 | 2160 | 0,55 |
| 2340 | 0,45 | 2340 | 0,59 |
| 2520 | 0,48 | 2520 | 0,62 |
| 2700 | 0,50 | 2700 | 0,65 |
| 3000 | 0,55 | 3000 | 0,69 |
| 3600 | 0,63 | 3600 | 0,74 |
| 4200 | 0,67 | 4200 | 0,83 |
| 4800 | 0,71 | 4800 | 0,86 |
| 5400 | 0,75 | 5400 | 0,92 |
| 6000 | 0,79 | 6000 | 0,97 |
| 6600 | 0,82 | 6600 | 0,99 |
| 7200 | 0,84 | 7200 | 1,04 |
| 8400 | 0,87 | 8400 | 1,08 |
| 9600 | 0,91 | | |
| 10800 | 0,95 | | |
| 12600 | 0,97 | | |
| 14400 | 0,99 | | |
| 16200 | 1,01 | | |
| 18000 | 1,03 | | |
| 21600 | 1,08 | | |

EE SSAI 504 11 FWT9 7129/1

16:26 (at 7h 16^H30' & 13^H30')

On 11-5-02 2/5

11-1965-12 023044 C720

Profondur totale : 11,31 m

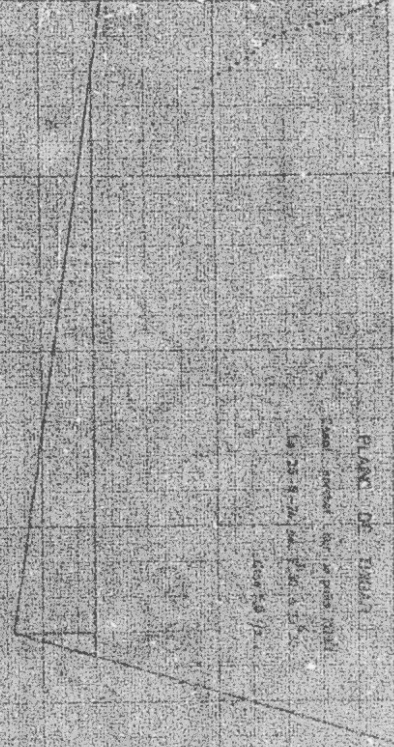
| ABAISSEMENT | | REMONTÉE | |
|-------------|--------|----------|--------|
| t en s | s en m | t en s | s en m |
| 60 | 0,01 | 60 | 0,01 |
| 120 | 0,02 | 120 | 0,03 |
| 180 | 0,03 | 180 | 0,05 |
| 240 | 0,05 | 240 | 0,06 |
| 300 | 0,07 | 300 | 0,08 |
| 360 | 0,08 | 360 | 0,10 |
| 420 | 0,09 | 420 | 0,12 |
| 480 | 0,11 | 480 | 0,13 |
| 540 | 0,13 | 540 | 0,15 |
| 600 | 0,14 | 600 | 0,17 |
| 660 | 0,15 | 660 | 0,18 |
| 720 | 0,16 | 720 | 0,20 |
| 780 | 0,18 | 780 | 0,22 |
| 840 | 0,20 | 840 | 0,23 |
| 900 | 0,22 | 900 | 0,25 |
| 1020 | 0,26 | 1020 | 0,28 |
| 1140 | 0,29 | 1140 | 0,32 |
| 1260 | 0,32 | 1260 | 0,35 |
| 1380 | 0,34 | 1380 | 0,38 |
| 1500 | 0,35 | 1500 | 0,41 |
| 1620 | 0,37 | 1620 | 0,44 |
| 1800 | 0,38 | 1800 | 0,47 |
| 1980 | 0,40 | 1980 | 0,51 |
| 2160 | 0,43 | 2160 | 0,55 |
| 2340 | 0,45 | 2340 | 0,59 |
| 2520 | 0,48 | 2520 | 0,62 |
| 2700 | 0,50 | 2700 | 0,65 |
| 3000 | 0,55 | 3000 | 0,69 |
| 3600 | 0,63 | 3600 | 0,74 |
| 4200 | 0,67 | 4200 | 0,83 |
| 4800 | 0,71 | 4800 | 0,86 |
| 5400 | 0,75 | 5400 | 0,92 |
| 6000 | 0,79 | 6000 | 0,97 |
| 6600 | 0,82 | 6600 | 0,99 |
| 7200 | 0,84 | 7200 | 1,04 |
| 8400 | 0,87 | 8400 | 1,08 |
| 9600 | 0,91 | | |
| 10800 | 0,95 | | |
| 12600 | 0,97 | | |
| 14400 | 0,99 | | |
| 16200 | 1,01 | | |
| 18000 | 1,03 | | |
| 21600 | 1,08 | | |

PLATEAU DE MONTAIGNE

Hauteur : 600 mètres. Alt.

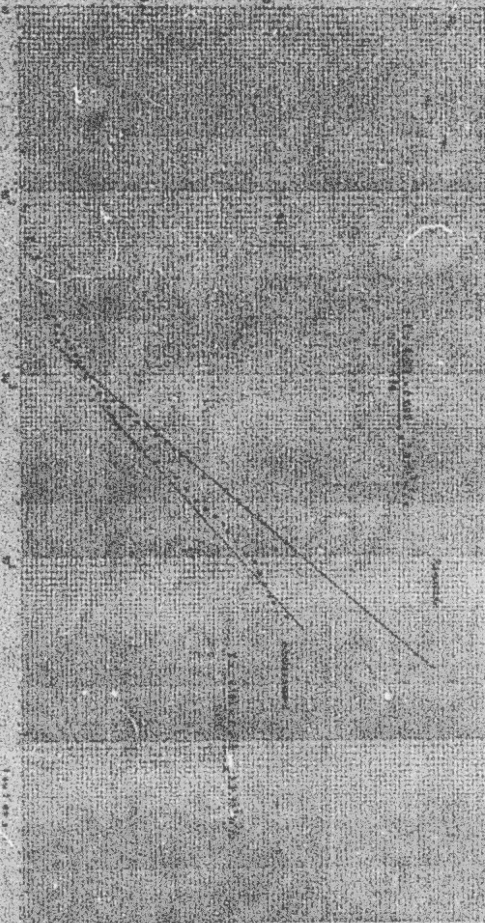
Longueur : 3 km. Lat. : 1,2 km.

Surface : 1,2



PLANE DE TERRAIN
OBSERVATION DU PLEIN AIR

DATE X-19-46



~~16,25 + 6 = 22,25~~

~~16,25 + 6 = 22,25~~

$$Q = 5,5 \text{ l/s}$$

Niveau statique : 6,35 m
Profondeur totale : 12,00 m

| T en m | s en m |
|--------|--------|
| 2,0 | 0,01 |
| 2,5 | 0,04 |
| 3,0 | 0,05 |
| 3,5 | 0,08 |
| 4,0 | 0,10 |
| 4,5 | 0,13 |
| 5,0 | 0,15 |
| 5,5 | 0,17 |
| 6,0 | 0,19 |
| 6,5 | 0,22 |
| 7,0 | 0,23 |
| 7,5 | 0,25 |
| 8,0 | 0,28 |
| 8,5 | 0,30 |
| 9,0 | 0,32 |
| 9,5 | 0,37 |
| 10,0 | 0,42 |
| 10,5 | 0,45 |
| 11,0 | 0,47 |
| 11,5 | 0,50 |
| 12,0 | 0,54 |
| 12,5 | 0,57 |
| 13,0 | 0,61 |
| 13,5 | 0,65 |
| 14,0 | 0,68 |
| 14,5 | 0,72 |
| 15,0 | 0,76 |
| 15,5 | 0,83 |
| 16,0 | 0,87 |
| 16,5 | 0,93 |
| 17,0 | 1,00 |
| 17,5 | 1,07 |
| 18,0 | 1,15 |
| 18,5 | 1,21 |
| 19,0 | 1,26 |
| 19,5 | 1,30 |
| 20,0 | 1,35 |
| 20,5 | 1,40 |
| 21,0 | 1,45 |
| 21,5 | 1,50 |
| 22,0 | 1,52 |

P
ÉGOUTTE DU FUITÉ 7130/1

| T en °C | p' en hPa |
|---------|-----------|
| 1° | 0,02 |
| 2° | 0,03 |
| 3° | 0,04 |
| 4° | 0,05 |
| 5° | 0,06 |
| 6° | 0,07 |
| 7° | 0,09 |
| 8° | 0,10 |
| 9° | 0,12 |
| 10° | 0,13 |
| 11° | 0,14 |
| 12° | 0,15 |
| 13° | 0,16 |
| 14° | 0,18 |
| 15° | 0,19 |
| 17° | 0,21 |
| 19° | 0,24 |
| 21° | 0,26 |
| 23° | 0,28 |
| 25° | 0,32 |
| 27° | 0,33 |
| 30° | 0,36 |
| 33° | 0,38 |
| 36° | 0,41 |
| 39° | 0,44 |
| 42° | 0,47 |
| 45° | 0,51 |
| 48° | 0,55 |
| 1° 00' | 0,64 |
| 10° | 0,73 |
| 20° | 0,81 |
| 30° | 0,90 |
| 40° | 0,97 |
| 50° | 1,07 |
| 2° 00' | 1,16 |
| 15° | 1,25 |
| 30° | 1,34 |
| 45° | 1,44 |
| 3° 00' | 1,56 |
| 20° | 1,62 |
| 40° | 1,74 |
| 4° 00' | 1,81 |

SUITE EN

F

2



MICROFICHE N°

00210

République Tunisienne

MINISTÈRE DE L'AGRICULTURE

CENTRE NATIONAL DE

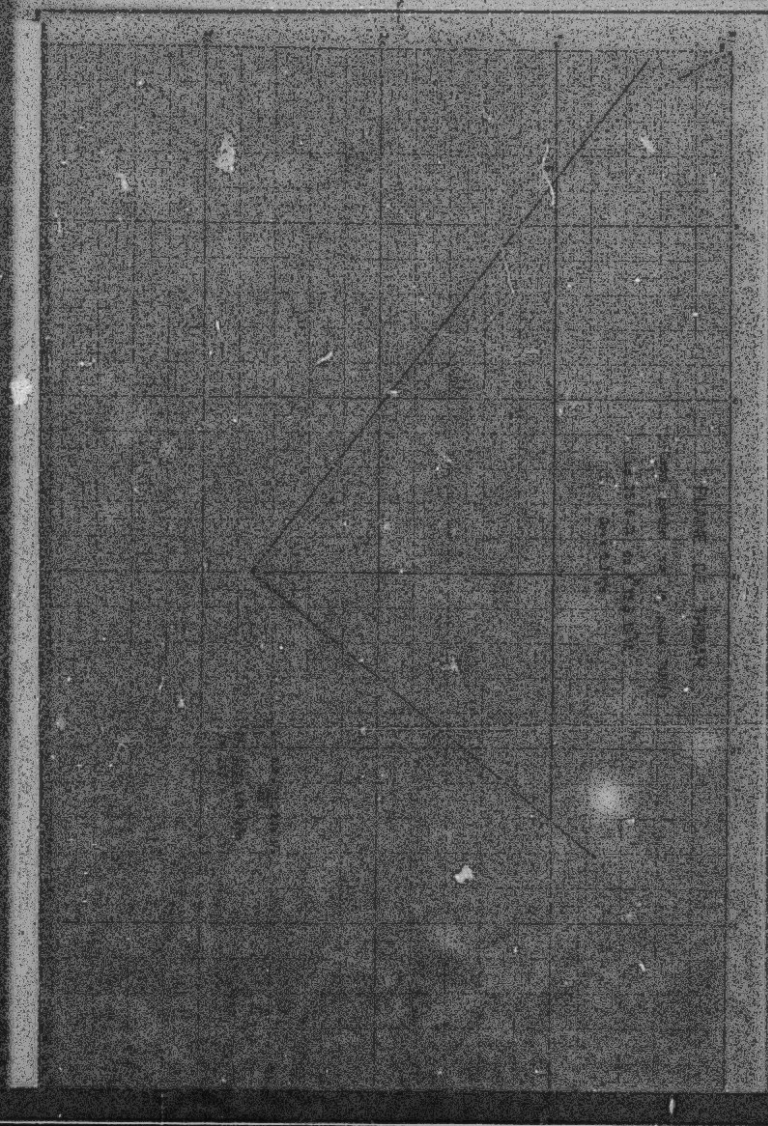
DOCUMENTATION AGRICOLE

TUNIS

الجمهورية التونسية
وزارة الفلاحة

اطركزا القوحي
للسويق الفلاحي
تونس

F 3



1940-1941

1940-1941

1940-1941

EXONTEE DU PUFFIS 7131

| T en s | s en m |
|--------|--------|
| 0 | 0,00 |
| 60 | 0,02 |
| 120 | 0,03 |
| 180 | 0,05 |
| 240 | 0,08 |
| 300 | 0,10 |
| 360 | 0,11 |
| 420 | 0,12 |
| 480 | 0,13 |
| 540 | 0,15 |
| 600 | 0,17 |
| 660 | 0,19 |
| 720 | 0,21 |
| 780 | 0,23 |
| 840 | 0,25 |
| 900 | 0,26 |
| 1020 | 0,28 |
| 1140 | 0,32 |
| 1260 | 0,34 |
| 1380 | 0,36 |
| 1500 | 0,40 |
| 1620 | 0,45 |
| 1680 | 0,50 |
| 1980 | 0,53 |
| 2100 | 0,55 |
| 2400 | 0,62 |
| 2700 | 0,69 |
| 3000 | 0,75 |
| 3600 | 0,87 |
| 4500 | 1,06 |
| 5000 | 1,20 |
| 6300 | 1,35 |
| 7200 | 1,48 |
| 8400 | 1,65 |
| 9600 | 1,77 |
| 10800 | 1,92 |
| 12600 | 2,05 |
| 14400 | 2,18 |
| 16200 | 2,27 |

ESSAI SUR LA FUENTE 7131/1
Le 3-7-74 de 7^H45 à 10^H45

Qm = 9,4 l/s

Niveau statique : 7,95 m
Profondeur totale : 11,31 m

| T en mn | s en m |
|-------------------|--------|
| 0 ¹ | 0,00 |
| 1 ¹ | 0,02 |
| 2 ¹ | 0,05 |
| 3 ¹ | 0,08 |
| 4 ¹ | 0,12 |
| 5 ¹ | 0,15 |
| 6 ¹ | 0,19 |
| 7 ¹ | 0,22 |
| 8 ¹ | 0,25 |
| 9 ¹ | 0,29 |
| 10 ¹ | 0,32 |
| 11 ¹ | 0,35 |
| 12 ¹ | 0,38 |
| 13 ¹ | 0,41 |
| 14 ¹ | 0,44 |
| 15 ¹ | 0,47 |
| 17 ¹ | 0,52 |
| 19 ¹ | 0,58 |
| 21 ¹ | 0,64 |
| 23 ¹ | 0,69 |
| 25 ¹ | 0,75 |
| 27 ¹ | 0,80 |
| 30 ¹ | 0,87 |
| 33 ¹ | 0,95 |
| 36 ¹ | 1,01 |
| 39 ¹ | 1,07 |
| 42 ¹ | 1,14 |
| 45 ¹ | 1,20 |
| 50 ¹ | 1,31 |
| 1 ^H 00 | 1,49 |
| 10 ¹ | 1,67 |
| 20 ¹ | 1,80 |
| 30 ¹ | 1,96 |
| 40 ¹ | 2,06 |
| 50 ¹ | 2,17 |
| 2 ^H 00 | 2,31 |
| 15 ¹ | 2,40 |
| 30 ¹ | 2,55 |
| 45 ¹ | 2,64 |
| 3 ^H 00 | 2,70 |

PLANE DE
THEAR

graph paper or in full size

1.172 -> 1.156 & 0.647
0.000

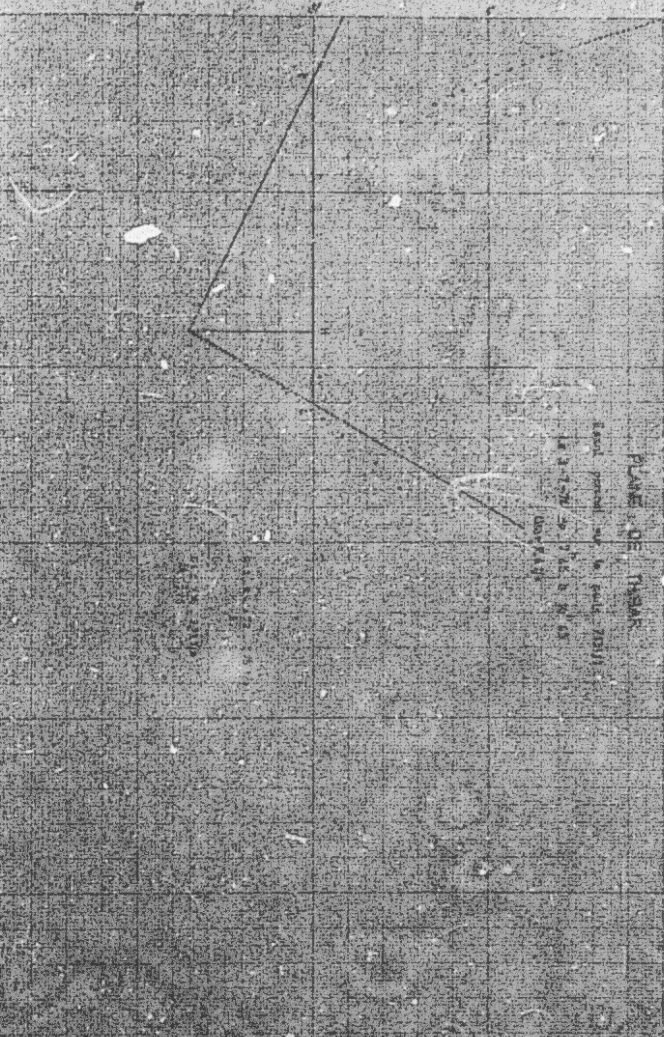


PLATE DE THIS VR

QUESTION OF LA PRESTATION DU TITRE D'ARTISTE

THE 1960

R

DETAILED DATA SHEET

| t | m | s | n | A' | m | w |
|-------|---|---|---|------|---|---|
| 0 | | | | 0 | | |
| 80 | | | | 0,03 | | |
| 120 | | | | 0,05 | | |
| 160 | | | | 0,06 | | |
| 200 | | | | 0,07 | | |
| 300 | | | | 0,09 | | |
| 360 | | | | 0,11 | | |
| 420 | | | | 0,12 | | |
| 540 | | | | 0,13 | | |
| 600 | | | | 0,15 | | |
| 560 | | | | 0,16 | | |
| 720 | | | | 0,17 | | |
| 780 | | | | 0,19 | | |
| 840 | | | | 0,20 | | |
| 900 | | | | 0,21 | | |
| 1080 | | | | 0,24 | | |
| 1140 | | | | 0,27 | | |
| 1280 | | | | 0,30 | | |
| 1380 | | | | 0,33 | | |
| 1500 | | | | 0,36 | | |
| 1520 | | | | 0,39 | | |
| 1600 | | | | 0,42 | | |
| 1980 | | | | 0,47 | | |
| 2160 | | | | 0,51 | | |
| 2340 | | | | 0,55 | | |
| 2520 | | | | 0,59 | | |
| 2700 | | | | 0,64 | | |
| 3000 | | | | 0,69 | | |
| 3600 | | | | 0,82 | | |
| 4200 | | | | 0,92 | | |
| 4800 | | | | 1,06 | | |
| 5400 | | | | 1,17 | | |
| 6000 | | | | 1,29 | | |
| 6600 | | | | 1,39 | | |
| 7200 | | | | 1,51 | | |
| 8100 | | | | 1,64 | | |
| 9000 | | | | 1,75 | | |
| 9600 | | | | 1,89 | | |
| 10800 | | | | 2,02 | | |
| 12000 | | | | 2,17 | | |
| 13200 | | | | 2,32 | | |
| 14400 | | | | 2,44 | | |
| 15200 | | | | 2,52 | | |
| 18000 | | | | 2,78 | | |
| 21600 | | | | 3,02 | | |
| 25200 | | | | 3,18 | | |

ESSAI SUR LE PUITS 7141/1
Le 24 - 6 - 71 de 6:10 à 11:30

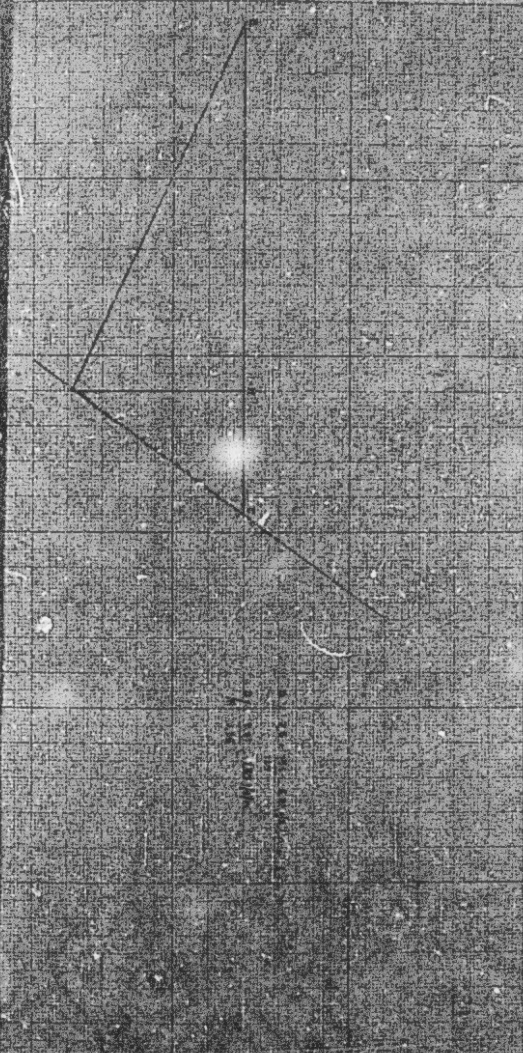
Niveau statique : 4,62 m
Profondeur totale : 8,41 m

| T en min | s en m | Q en l/s |
|----------------|--------|----------|
| 0 | 0,00 | |
| 1' | 0,03 | |
| 2' | 0,07 | 9,1 |
| 3' | 0,11 | " |
| 4' | 0,14 | " |
| 5' | 0,18 | " |
| 6' | 0,20 | " |
| 7' | 0,24 | " |
| 8' | 0,27 | " |
| 9' | 0,30 | " |
| 10' | 0,33 | " |
| 11' | 0,37 | " |
| 12' | 0,41 | " |
| 13' | 0,44 | " |
| 14' | 0,46 | " |
| 15' | 0,49 | " |
| 17' | 0,55 | " |
| 19' | 0,61 | " |
| 21' | 0,66 | " |
| 23' | 0,73 | " |
| 25' | 0,78 | " |
| 27' | 0,88 | " |
| 30' | 0,94 | " |
| 33' | 0,99 | " |
| 36' | 1,07 | " |
| 39' | 1,17 | " |
| 42' | 1,23 | " |
| 45' | 1,29 | 3,3 |
| 50' | 1,40 | " |
| 1 ^H | 1,63 | " |
| 10' | 1,64 | 7,5 |
| 20' | 2,03 | " |
| 40' | 2,40 | " |
| 2 ^H | 2,68 | 6,8 |
| 30' | 3,04 | " |
| 3 ^H | 3,38 | " |
| 20' | 3,56 | " |

PLANE DE
TIERRA

FECHA: 1988
DIA: 10
MES: MARZO
AÑO: 1988

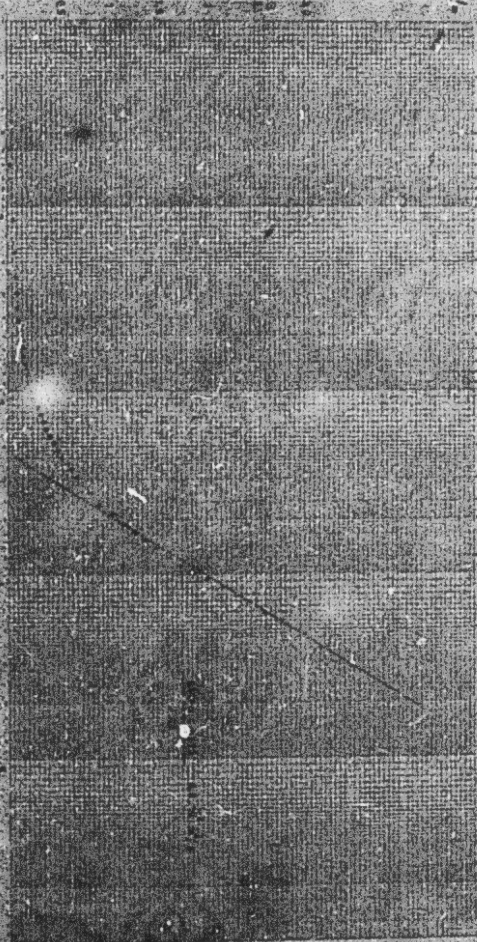
DIA: 10
MES: MARZO
AÑO: 1988



PLAINE DE THIBAR

OBSERVATION DE LA REPOINTÉE DU Puits Thibar

0m - 7,5 / s



ETUDE HYDROGEOLOGIQUE
ET
PROSPECTION ELECTRIQUE DE LA
REGION DE THIBAR

CARTE DES RESISTIVITES APPARENTES
EN LONGUEUR DE LIGNE AB800m

LEGENDE

- 8800/1 Forage et son numéro BRH.
- Vélocité électrique et son numéro.
- Valeur de la résistivité apparente en Ohm.m.
- Courte discontinuité apparente et sa vallée, en mètres.
- Axe résistant.
- Axe conducteur.
- Ligne d'extension de l'enquête de substitution, résistant non pas été
traversé, en mètres AB800m.
- Toute extension de substitution peu résistant.

ECHELLE : 1/50 000

ASSEMBLAGE DES CARTES TOPOGRAPHIQUES AU 1/50 000
DE BIR SALAY N°24, ZERGA N°24, JENDJERA N°32, TEGGERI N°33.



**ETUDE HYDROGEOLOGIQUE
ET
PROSPECTION ELECTRIQUE DE LA
REGION DE THIBAR**

CARTE DES RESULTATS GEOPHYSIQUES

LEGENDE

6599 ft

Forage et son numéro BIRH

12

Forage électrique et son numéro

2m

Cote du toit du substratum résistant en mètres



Courbe de niveau du toit du substratum résistant et sa valeur en mètres

Axe conducteur

D'après carte des résistivités

Axe résistant

apparentes PL. VII

Zone d'extension du substratum peu résistant

Axe de la dépression Est Ouest du toit du substratum résistant

Faille Géophysique

▲

Forage proposé

T

Très

c

Crétacé

e

Eocène

m.p.

Mio-Pliocène

Ad

Éboulis

F

Faille

ASSEMBLAGE DES CARTES TOPOGRAPHIQUES AU 1/50.000

DE BOU SALEM N°25 - OZERGA N°24 - JENDOURA N°32 - TEBOURBOUK N°33.

1/50.000 1:50 000



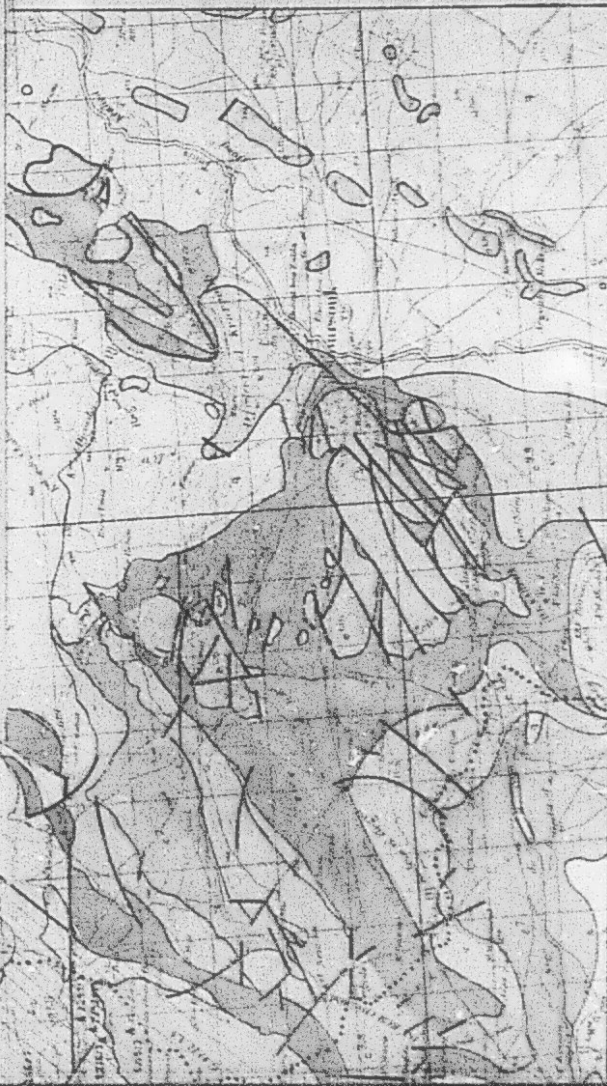
ÉTUDE HYDROGEOLOGIQUE

ET PROSPECTION ELECTRIQUE DE LA REGION DE THIBAR

CARTE GÉOLOGIQUE
PLAN DE SITUATION

—LEGENDE—

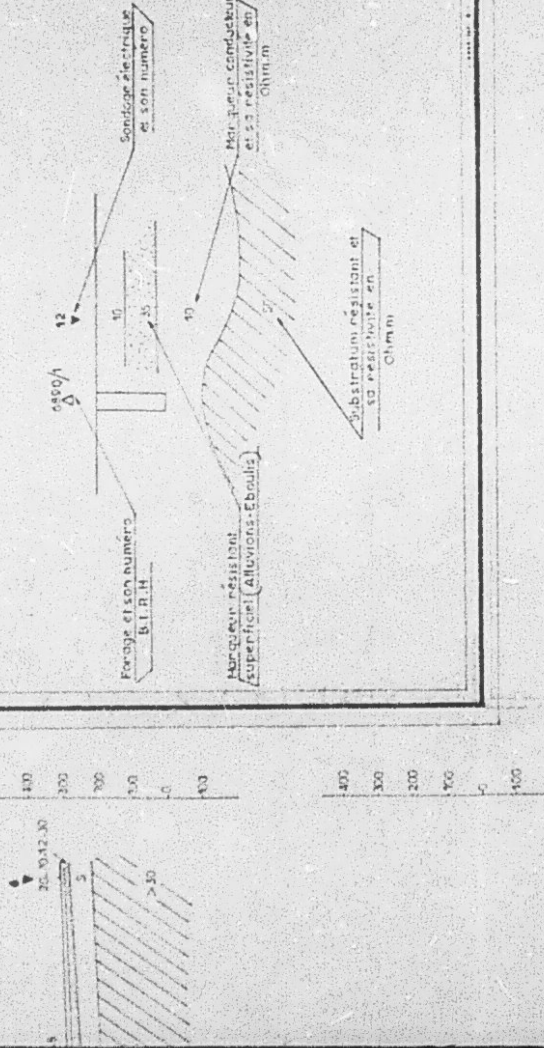
Document consulté : Cartas de Tuna el año de 1720/2000
ASSISENAGE DES CARTES TOPOGRAPHIQUES AU 1:50000
DE BURGAL N°75. CEREDA N°5. ENFOURA N°32. TERCIUS/OK N°31.



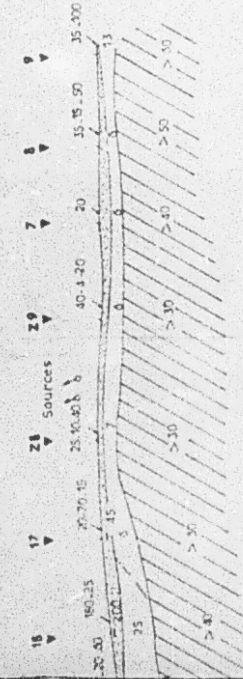
ETUDE HYDROGEOLOGIQUE
ET PROSPECTION ELECTRIQUE
DANS LA REGION DE THIBAR

(COUPES ELECTRIQUES)

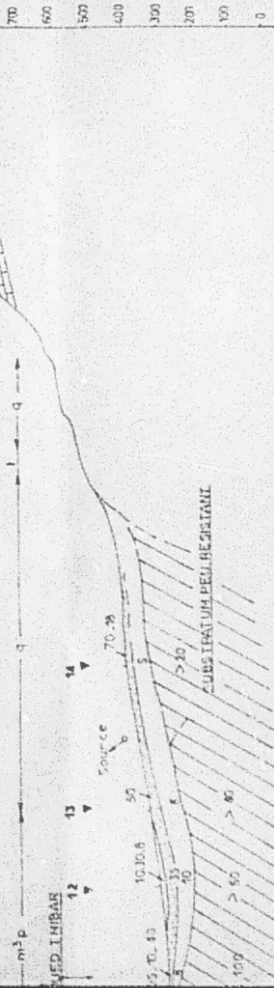
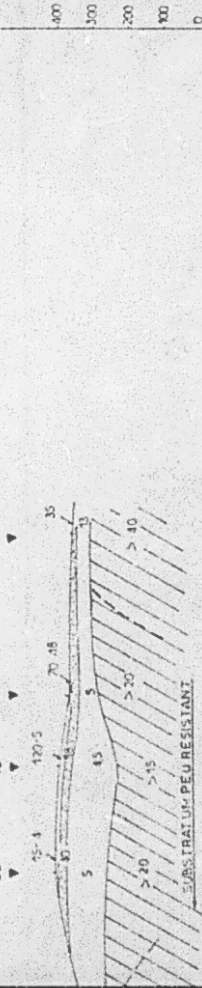
ECHELLES { HORIZONTALE 1/35.000
VERTICALE 1/10.000



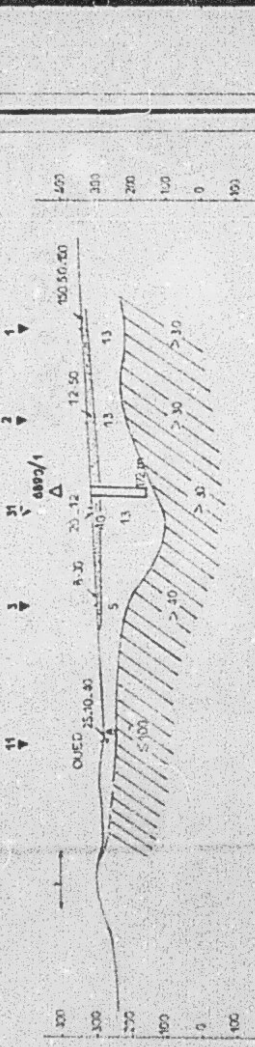
(COUPE 4)



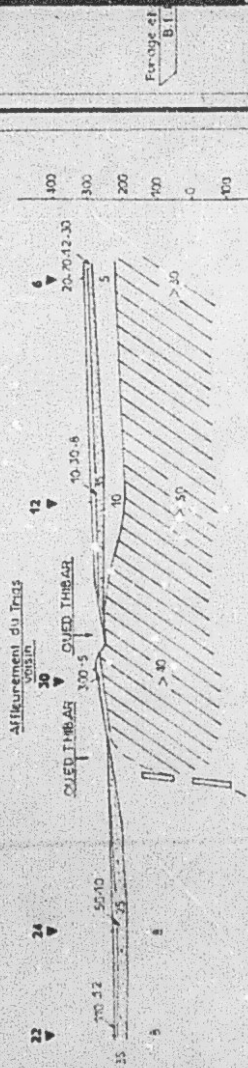
(COUPE 5)



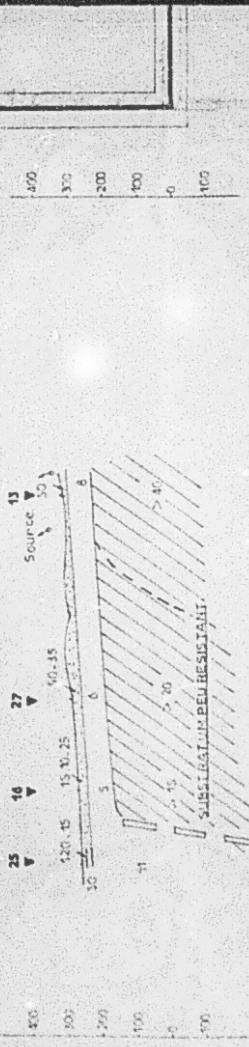
卷之二



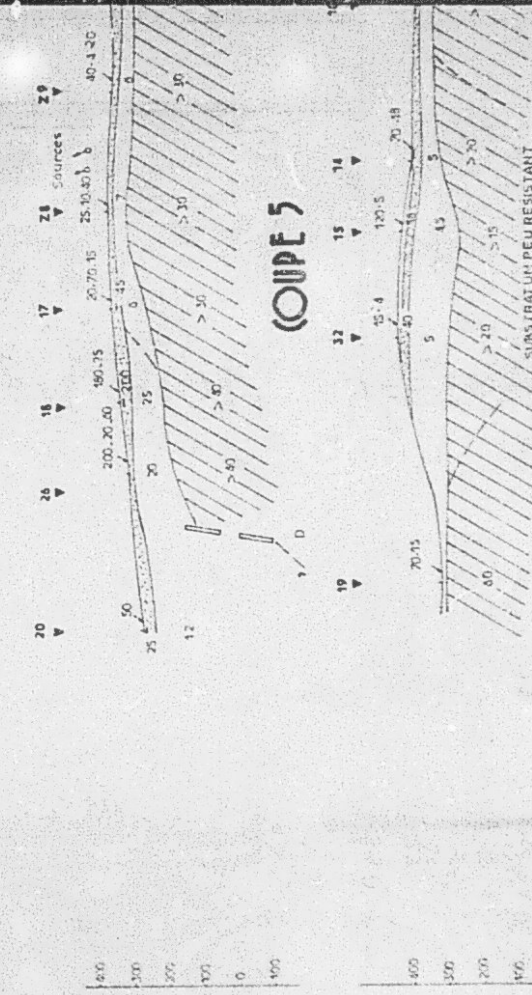
COUPÉ 2



(COUPÉ 3)



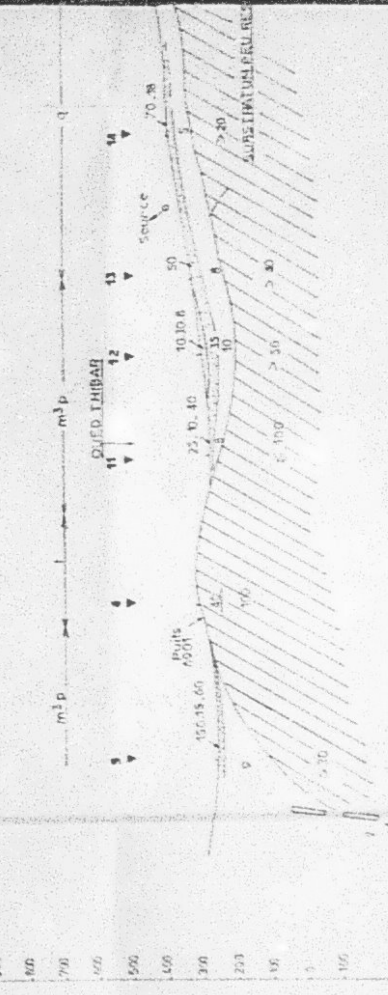
COUPÉ 4

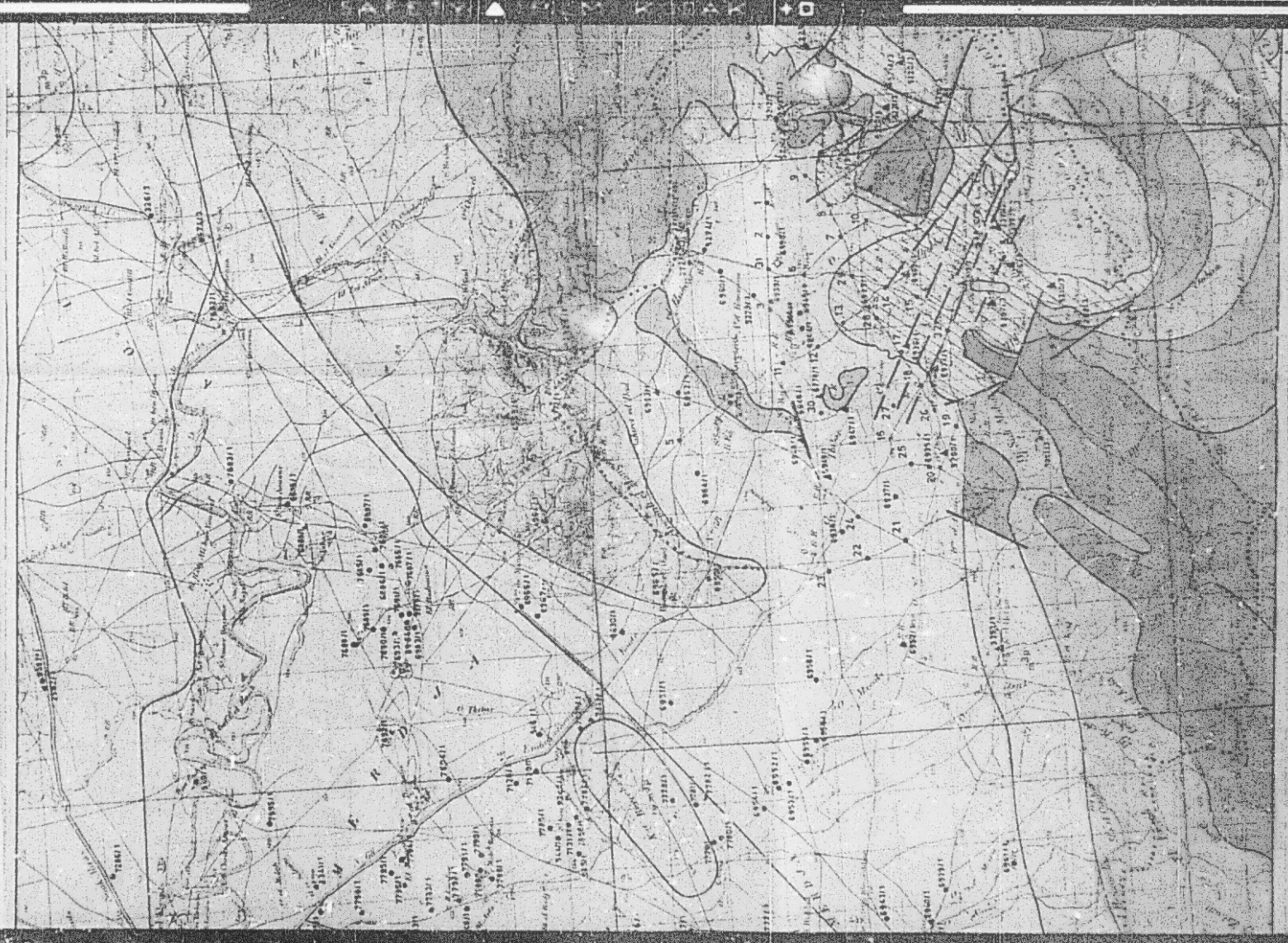


COUPÉ 5



COUPE 6







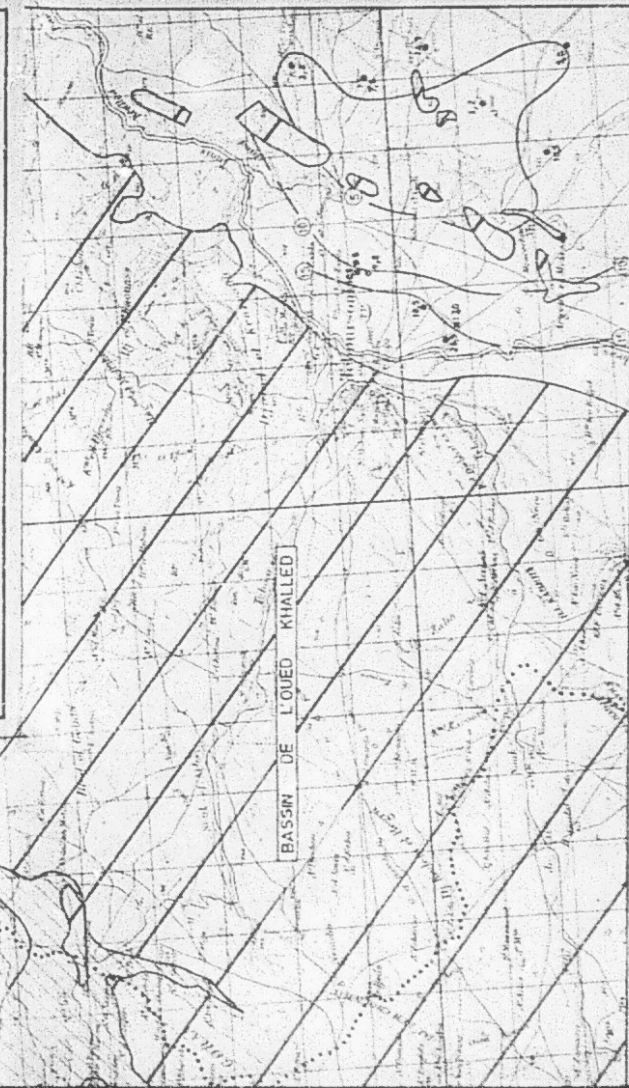
**ETUDE HYDROGEOLOGIQUE
ET
PROSPECTION ELECTRIQUE DE LA
REGION DE THIBAR**

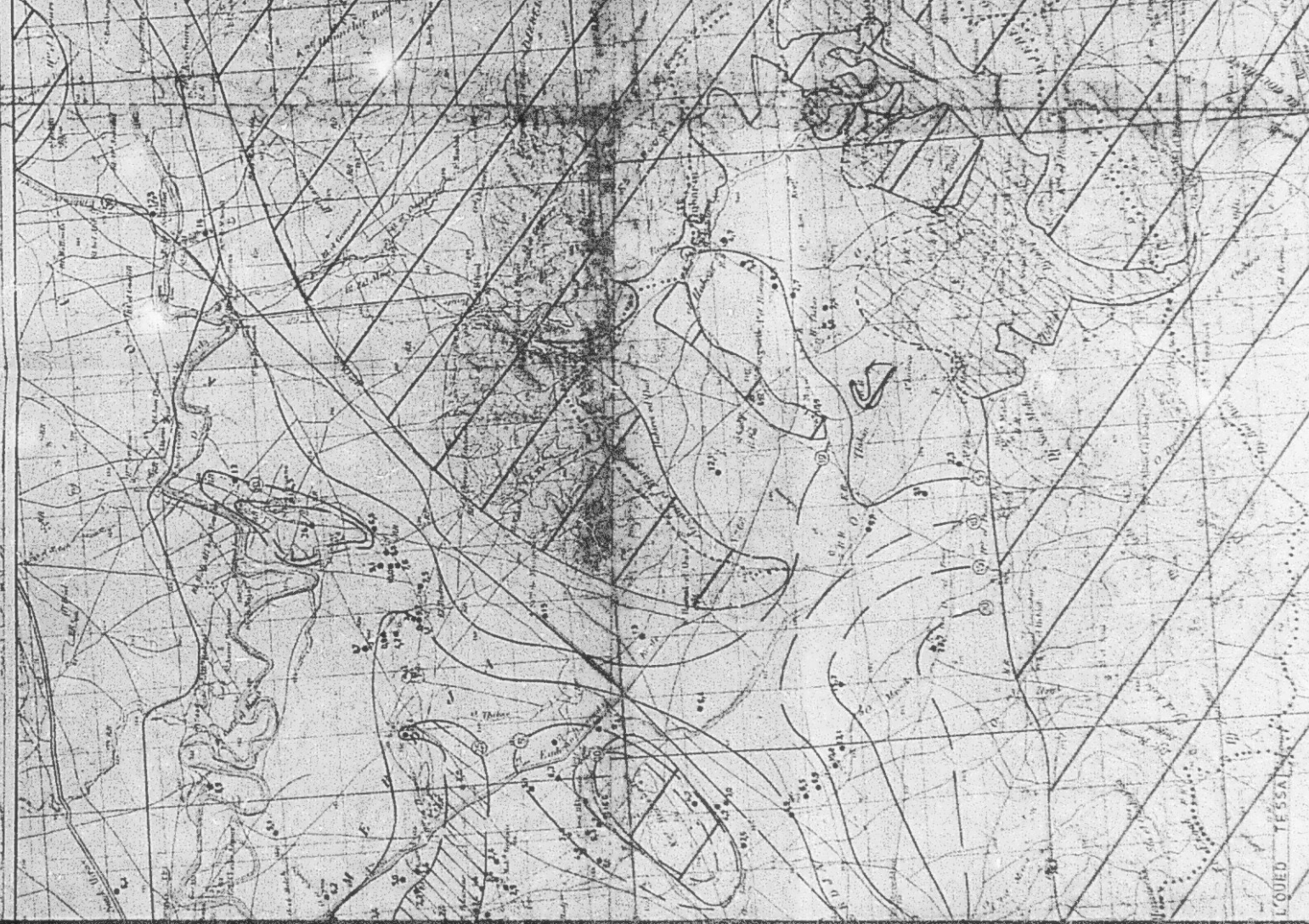
CARTE DES PROFONDEURS DU PLAN D'EAU

—LEGENDE—

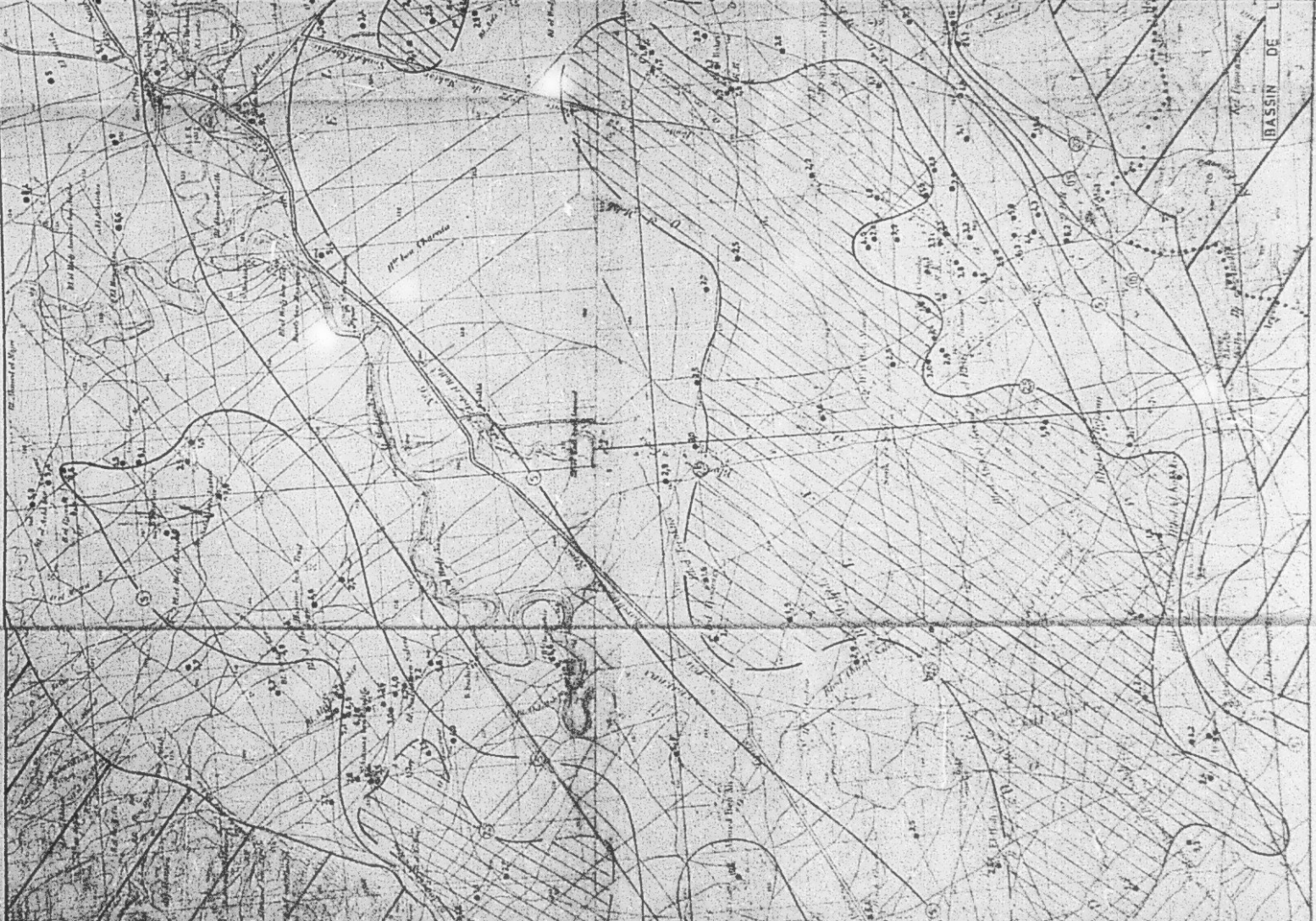
- Puits et profondeur du plan d'eau par rapport au terrain naturel.
- 5 Courte d'égale profondeur du plan d'eau.
- Zone où le niveau du plan d'eau est inférieur à 25 m.
- Sous-sol instable.
- Erosion.

ASSEMBLAGE DES CARTES TOPOGRAPHIQUES AU 1/100000
DE GRALAH N°25 - TIZGIKA N°26 - JENJOURA N°27 - TEBUDJIA N°28.





BASSIN DE L



**ETUDE HYDROGEOLOGIQUE
ET
PROSPECTION ELECTRIQUE DE LA
REGION DE THIBAR**

CARTE PIÉZOMÉTRIQUE

LEGENDE



Courte érigée contre un plan d'eau

Light of the Church

Substratum indifference

Eboutiq

ASSEMBLAGE DES CANTES D'ORCHAPHOCUS AU 17/09/2005
DES YU SALEM N°125 = QIZERKA N°127 - TENDUA N°11 - TENDUPSAUK N°117











ETUDE HYDROGEOLOGIQUE
ET
PROSPECTION ELECTRIQUE DE LA
REGION DE THIBAR

CARTE DES SALINITES

LEGENDE

• Limite de bassin versant

• Puits et valeur de son résidu sec

△ Source et valeur de son résidu sec

○ Courbe d'osmolalité et sa valeur.

1 Courbe d'osmolalité intermédiaire et sa valeur.

Résidu sec intérieur à 1,5 g/l.

Résidu sec allant de 1,5 à 3 g/l.

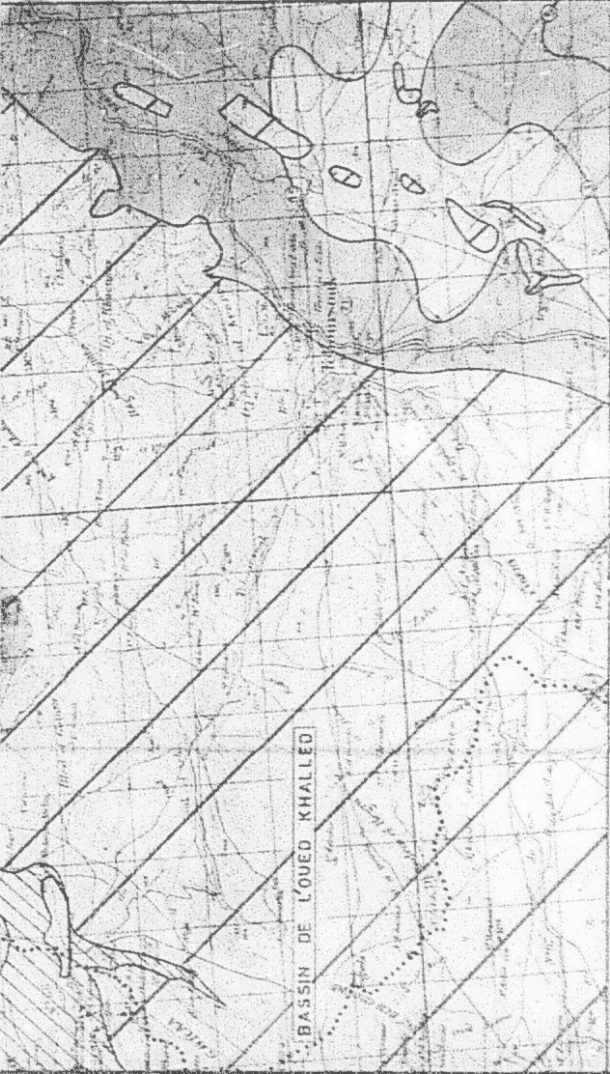
Résidu sec élevé de 3 à 5 g/l.

Résidu sec supérieur à 5 g/l.

Substratum indifférent

Éboulis.

ASSEMBLAGE DES CARTES TÉTOGRAPHIQUES AU 1/100000
DE RUE SAHÉN N°25 - O-ZERGA N°25 - JENDOUA N°37 - TERRASSON N°33.

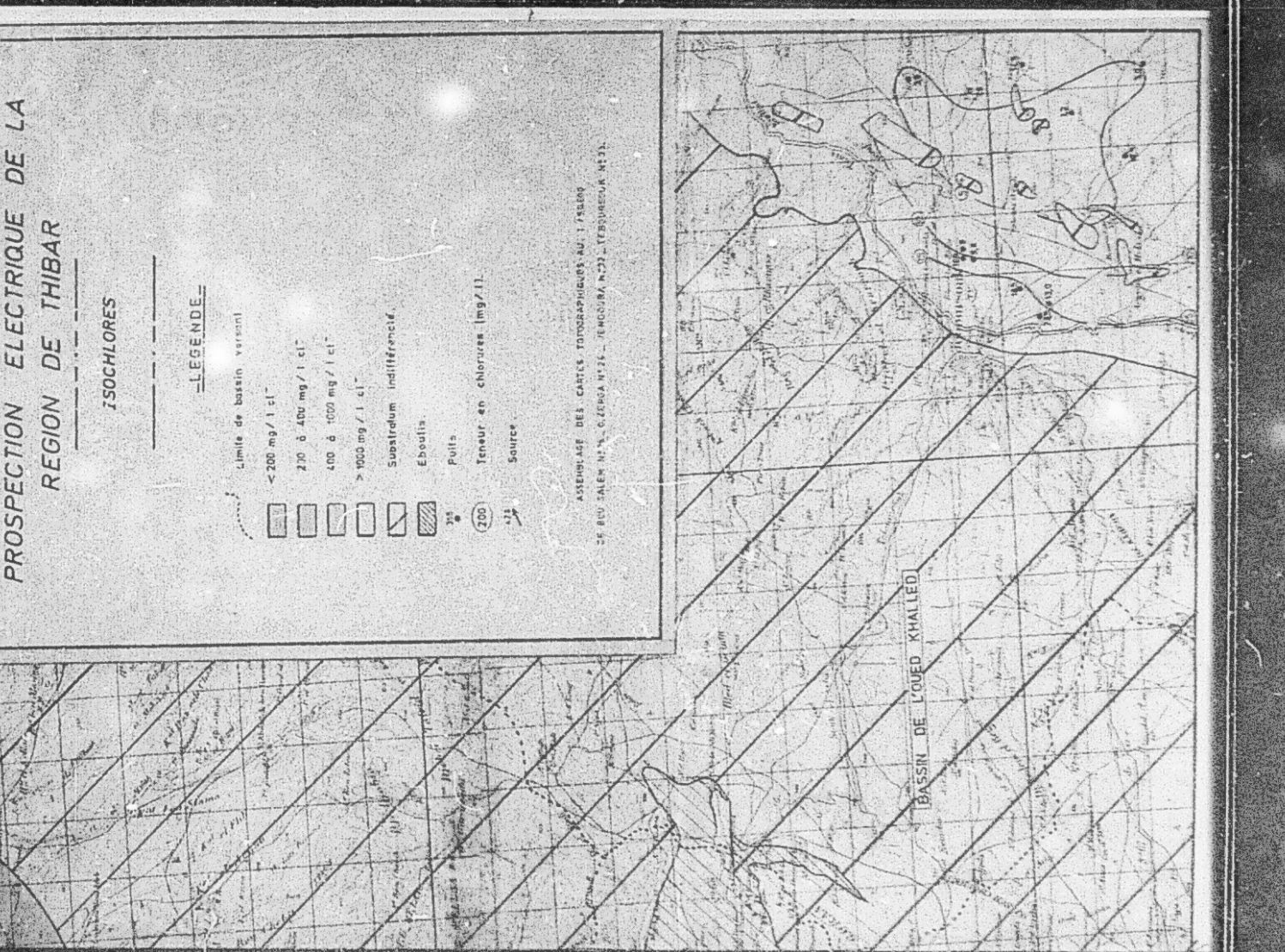
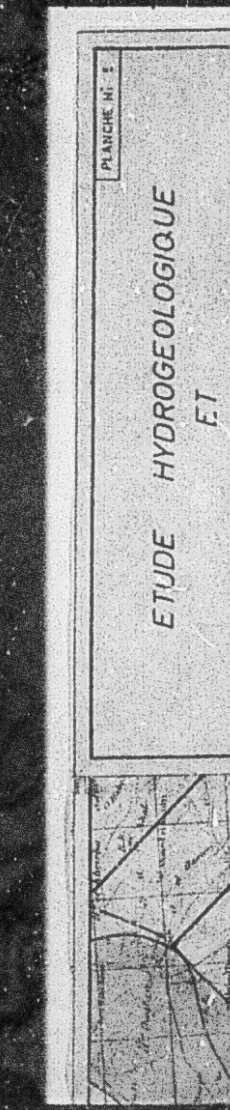
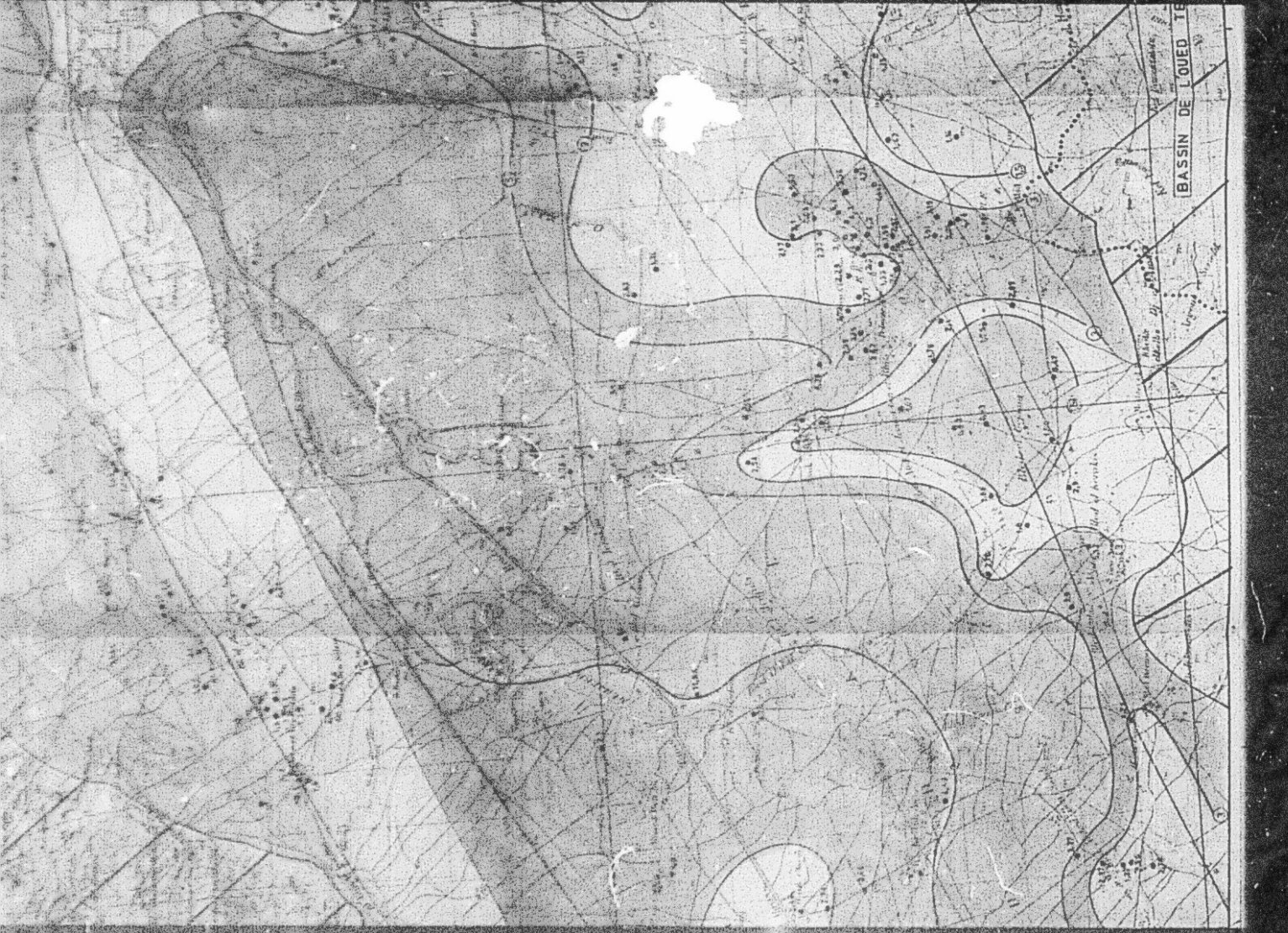






BASSIN DE LOUED





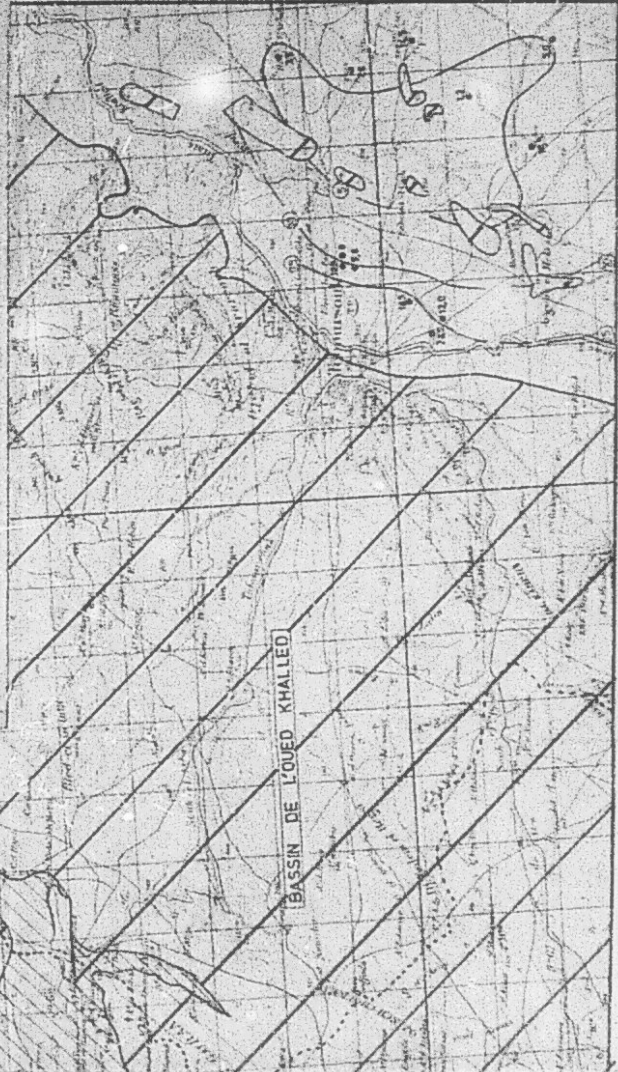
ETUDE HYDROGEOLOGIQUE
ET
PROSPECTION ELECTRIQUE DE LA
REGION DE THIBAR

ISOCHLORES

LEGENDE

- Limites de bassin versant
- < 200 mg / l ci⁻¹
- 200 à 400 mg / l ci⁻¹
- 400 à 1000 mg / l ci⁻¹
- > 1000 mg / l ci⁻¹
- Sous-solium indifférent
- Ebullia
- Puits
- Teneur en chlorures (mg/l)
- Source

ASSEMBLAGE DES CARTES TONOMAUGUES DU 1-100000
DE BÉI SALEM N° 5, OUFERGAN N° 1, THIBAR N° 221 - TÉPOURAT N° 1.



BASSIN DE L'OUEST TESSA





ETUDE HYDROGEOLOGIQUE

ET
PROSPECTION ELECTRIQUE DE LA
REGION DE THIBAR

ISOTENEURS EN SULFATES

LEGENDE:

- $t_d \geq 250 \text{ mg/l}$ $S \geq 4$ "
- $250 \leq t_d < 750 \text{ mg/l}$ $S \geq 4$ "
- $t_d > 750 \text{ mg/l}$ "
- Sulfates indifférentes
- Etouff.
- Puits.
- Teneur en sulfates (mg/l)
- Source

ANALYSE DE DES ELEMENS RELEVÉS DANS LA REGION DE THIBAR, SUD-OUEST DU TCHAD - Tchad, 1972





FIN

166

VUES